

จุฬาลงกรณ์มหาวิทยาลัย

ทุนวิจัยรัชดาภิเษกสมโภช

รายงานผลการวิจัย

การศึกษาการรับ-จ่ายโปรตรอนของสารประกอบโนเวลอะมิโนแอซิด

โดย

ศูนย์วิทยทรัพยากร
วิทยา เรื่องพรวิสุทธิ์
จุฬาลงกรณ์มหาวิทยาลัย

ตุลาคม 2538

กิตติกรรมประกาศ

ขอขอบคุณฝ่ายวิจัยจุฬาลงกรณ์มหาวิทยาลัยที่มอบทุนวิจัยรัชดาภิเษกสมโภชเพื่องานวิจัยครั้งนี้
ขอขอบคุณภาควิชาเคมี คณะวิทยาศาสตร์ จุฬาลงกรณ์มหาวิทยาลัยที่ให้การสนับสนุนด้านสถานที่ และ
ขอขอบคุณ รศ.ดร. อนันตสิน เตชะกำพูน ประธานกรรมการพิจารณาทุนวิจัยรัชดาภิเษกสมโภชที่ได้เสนอแนะ
และให้ข้อคิดเห็นที่เป็นประโยชน์ในเรื่องของทุนวิจัย

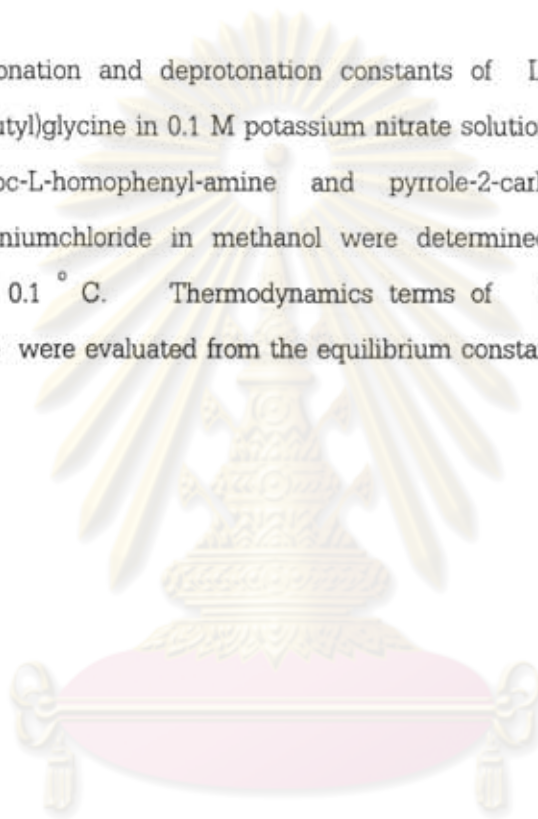


ศูนย์วิทยทรัพยากร
จุฬาลงกรณ์มหาวิทยาลัย

Project Title A Study of Protonation and Deprotonation of the Novel
 Amino Acids
Name of the Investigator Assoc.Prof. Dr. Vithaya Ruangpomvisuti
Year October 1995

Abstract

Protonation and deprotonation constants of L-4-hydroxyproline, L-pipecolic acid and L-2-(t-butyl)glycine in 0.1 M potassium nitrate solution and N-t-Boc-L-3-(2-naphthyl) alanine, N-t-Boc-L-homophenyl-amine and pyrrole-2-carboxylic acid in 0.01 M tetramethylammoniumchloride in methanol were determined by potentiometric titration method at 25 ± 0.1 °C. Thermodynamics terms of L-4-hydroxyproline in 0.1 M potassium nitrate were evaluated from the equilibrium constants at various temperatures.



ศูนย์วิทยทรัพยากร
จุฬาลงกรณ์มหาวิทยาลัย

สารบัญ

	หน้า
กิตติกรรมประกาศ	ii
บทคัดย่อภาษาไทย	iii
บทคัดย่อภาษาอังกฤษ	iv
สารบัญ	v
รายการตารางประกอบ	vii
รายการรูปภาพประกอบ	ix
บทที่ 1 : บทนำ	
1.1 โครงสร้างของสารประกอบอะมิโนแอซิด	1
1.2 สมดุลเคมีของสารละลายอะมิโนแอซิด	3
1.3 ธรรมชาติของลิแกนด์	4
1.4 สารละลายเบ็คควาร์ดอิเล็กโทรไลต์	5
1.5 โครงสร้างของสารประกอบโคเวเลนต์อะมิโนแอซิด	5
บทที่ 2 : ทฤษฎี	
2.1 ค่าคงที่สมดุลเคมี	8
2.1.1 ค่าคงที่สมดุลเคมีแบบขั้น	8
2.1.2 ค่าคงที่สมดุลเคมีแบบสะสม	8
2.2 เทอร์โมไดนามิกส์ของสมดุลเคมี	9
2.2.1 ค่าพลังงานอิสระ	9
2.2.2 ค่าเอนทัลปี	10
2.2.3 ค่าเอนโทรปี	11
2.3 การกระจายตัวของสปินส์และค่าคงที่สมดุลเคมี	11
บทที่ 3 : การทดลอง	
3.1 เครื่องมือการทดลอง	14
3.2 สารเคมี	15
3.3 การเตรียมสารละลาย	15
3.4 การไทเทรชัน	16
3.5 ผลการทดสอบการละลาย	17

บทที่ 4 : ผลการทดลอง	
4.1 การทดลองในระบบสารละลายน้ำ	18
4.2 การทดลองในระบบสารละลายเมทานอล	23
บทที่ 5 : ผลการวิจัยและการอภิปรายผล	29
บทที่ 6 : ข้อเสนอ	37
ข้อเสนอแนะสำหรับงานภายหน้า	42
เอกสารอ้างอิง	43
ภาคผนวก โปรแกรม Superquad	44
ประวัติและผลงานของผู้ทำวิจัย	72



ศูนย์วิทยทรัพยากร
จุฬาลงกรณ์มหาวิทยาลัย

รายการตารางประกอบ

ตารางที่	หน้า
2.1 แสดงค่าคงที่สมดุลเคมีการรวมตัวกับโปรตอนของสารประกอบ EDTA ในรูปแบบที่แตกตัวเป็นไอออนประจุลบ (Y^{4-}) ในสารละลาย 0.1 KNO_3 ณ.อุณหภูมิ 20 °C	12
4.1 แสดงช่วงการไทเทรชันที่อุณหภูมิ 293 °K	18
4.2 แสดงช่วงการไทเทรชันที่อุณหภูมิ 298 °K	18
4.3 แสดงช่วงการไทเทรชันที่อุณหภูมิ 303 °K	18
4.4 แสดงช่วงของการไทเทรชันของสารประกอบ L-pipecolic acid ณ.อุณหภูมิ 298 °K	19
4.5 แสดงช่วงของการไทเทรชันของสารประกอบ N-t-Boc-L-3(2-naphthyl)alanine ณ.อุณหภูมิ 298 °K	23
4.6 แสดงช่วงของการไทเทรชันของสารประกอบ N-t-Boc-L-homophenylalanine ณ.อุณหภูมิ 298 °K	23
4.7 แสดงช่วงของการไทเทรชันของสารประกอบ pyrrole-2-carboxylic acid ณ.อุณหภูมิ 298 °K	24
5.1 แสดงค่าคงที่ของการเกิดสมดุลของสารประกอบ L-4-hydroxyproline ค่าคงที่ของการแตกตัวของน้ำและค่า E° ในสารละลาย 0.1 M KNO_3 ณ.ที่อุณหภูมิต่าง ๆ	28
5.2 แสดงผลการคำนวณค่าทางเทอร์โมไดนามิกส์สำหรับปฏิกิริยาที่เกิดขึ้น ณ.อุณหภูมิ 298 °K	30
5.3 แสดงค่าคงที่ของการเกิดสมดุลของสารประกอบ L-pipecolic acid และ L-2-(t-butyl)glycine ในสารละลาย 0.1 M KNO_3 ณ.ที่อุณหภูมิ 298 °K	30
5.4 แสดงค่าคงที่ของการเกิดสมดุลของสารประกอบ N-t-Boc-L-3(2-naphthyl) alanine, N-t-Boc-L-homophenylalanine และ pyrrole-2-carboxylic acid ในสารละลาย 0.01 M Me_4NCl ณ.ที่อุณหภูมิ 298 °K	33
6.1 แสดงค่าคงที่ของการเกิดสมดุลของสารประกอบโนเวลอะมิโนแอซิด ในสารละลาย 0.1 M KNO_3 ณ.ที่อุณหภูมิ 298 °K	37

ตารางที่

6.2 แสดงค่าคงที่ของการเกิดสมดุลของสารประกอบโนเวลอะมิโนแอซิด ในสารละลายเมทานอล 0.01 M Me ₄ NCl ณ.ที่อุณหภูมิ 298 °K	37
6.3 แสดงค่าทางเทอร์โมไดนามิกส์สำหรับปฏิกิริยาที่เกิดขึ้น ณ.อุณหภูมิ 298 °K	41
6.4 แสดงสปีชีส์ต่าง ๆ ของสารประกอบโนเวลอะมิโนแอซิดที่เกิดขึ้นในสารละลาย 0.1 M KNO ₃ ภายใต้ค่าพีเอชของสารละลายที่แตกต่างกัน	41
6.5 แสดงสปีชีส์ต่าง ๆ ของสารประกอบโนเวลอะมิโนแอซิดที่เกิดขึ้นในสารละลาย 0.01 M Me ₄ NCl / MeOH ภายใต้ค่าพีเอชของสารละลายที่แตกต่างกัน	42



ศูนย์วิทยทรัพยากร
จุฬาลงกรณ์มหาวิทยาลัย

รายการรูปภาพประกอบ

รูปที่	หน้า
1.1 แสดงตำแหน่งโปรตอนการคบนสารประกอบอะมิโนแอซิด (ก) และตำแหน่งโปรตอนที่สามารถเกาะติดกับไนโตรเจน (ข) เมื่อ R เป็นไฮโดรเจนหรือกลุ่มอัลคิล	2
1.2 แสดงโครงสร้างของสารประกอบไกลซีนภายใต้สารละลายน้ำหรือสารละลายที่มีโปรตอน	2
1.3 แสดงโครงสร้างของอะมิโนแอซิดที่เกิดขึ้นในสารละลายโปรตอน	3
1.4 แสดงโครงสร้าง (ก) สารประกอบควาโนอีเธอร์ (ข) สารประกอบอะมีน และ (ค) สารประกอบไรโออีเธอร์	4
2.1 แสดงพลอตระหว่าง $\ln K$ กับ $1/T$	10
2.2 แสดงการกระจายตัวของสปีชีส์ต่าง ๆ ของสารประกอบ EDTA ที่เกิดขึ้นในสารละลาย 0.1 M KNO_3 ณ อุณหภูมิ 20 °C	13
3.1 แสดงการจัดวางและการเชื่อมต่อของเครื่องมือและอุปกรณ์ในการทดลอง	14
4.1 แสดงไทเทรชันเคอร์ฟระหว่างสารละลาย L-4-hydroxyproline กับสารละลาย NaOH ในสารละลาย 0.1 KNO_3 ในน้ำ ณ อุณหภูมิ 25 °C ภายใต้ความเข้มข้นเริ่มต้นของลิแกนด์และกรดไฮโดรคลอริก (L:H) ที่แตกต่างกัน	20
4.2 แสดงไทเทรชันเคอร์ฟระหว่างสารละลาย L-pipecolic acid กับสารละลาย NaOH ในสารละลาย 0.1 KNO_3 ในน้ำ ณ อุณหภูมิ 25 °C ภายใต้ความเข้มข้นเริ่มต้นของลิแกนด์และกรดไฮโดรคลอริก (L:H) ที่แตกต่างกัน	21
4.3 แสดงไทเทรชันเคอร์ฟระหว่างสารละลาย L-2-(t-butyl)glycine กับสารละลาย NaOH ในสารละลาย 0.1 KNO_3 ในน้ำ ณ อุณหภูมิ 25 °C ภายใต้ความเข้มข้นเริ่มต้นของลิแกนด์และกรดไฮโดรคลอริก (L:H) ที่แตกต่างกัน	22
4.4 แสดงไทเทรชันเคอร์ฟระหว่างสารละลาย N-t-Boc-L-3(2-naphthyl)alanine กับสารละลาย 0.025 M Me_4NOH ในสารละลาย 0.01 M Me_4NOH ใน MeOH ณ อุณหภูมิ 25 °C ภายใต้ความเข้มข้นเริ่มต้นของลิแกนด์ และกรดไฮโดรคลอริก (L:H) ที่แตกต่างกัน	25
4.5 แสดงไทเทรชันเคอร์ฟระหว่างสารละลาย N-t-Boc-L-homophenylalanine กับสารละลาย 0.025 M Me_4NOH ในสารละลาย 0.01 M Me_4NOH ใน MeOH ณ อุณหภูมิ 25 °C ภายใต้ความเข้มข้นเริ่มต้นของลิแกนด์ และกรดไฮโดรคลอริก (L:H) ที่แตกต่างกัน	26

รูปที่	หน้า
4.6 แสดงไทเทรชันแคอ์บระหว่างสารละลาย pyrrole-2-carboxylic acid กับสารละลาย 0.025 M Me ₄ NOH ในสารละลาย 0.01 M Me ₄ NOH ใน MeOH ณ อุณหภูมิ 25 °C ภายใต้ความเข้มข้นเริ่มต้นของลิแกนด์ และกรดไฮโดรคลอริก (L:H) ที่แตกต่างกัน	27
5.1 แสดงการกระจายตัวของสปีชีส์ต่าง ๆ ของสารประกอบ L-4-hydroxyproline ที่เกิดขึ้นในสารละลาย 0.1 M KNO ₃ ณ อุณหภูมิ 25 °C โดยมีความเข้มข้นของสารประกอบลิแกนด์ 1.9 X 10 ⁻³ M	29
5.2 แสดงการกระจายตัวของสปีชีส์ต่าง ๆ ของสารประกอบ L-pipecolic acid ที่เกิดขึ้นในสารละลาย 0.1 M KNO ₃ ณ อุณหภูมิ 25 °C โดยมีความเข้มข้นของสารประกอบลิแกนด์ 2.87 X 10 ⁻³ M	31
5.3 แสดงการกระจายตัวของสปีชีส์ต่าง ๆ ของสารประกอบ L-2-(t-butyl)glycine ที่เกิดขึ้นในสารละลาย 0.1 M KNO ₃ ณ อุณหภูมิ 25 °C โดยมีความเข้มข้นของสารประกอบลิแกนด์ 1.80 X 10 ⁻³ M	32
5.4 แสดงการกระจายตัวของสปีชีส์ต่าง ๆ ของสารประกอบ N-t-Boc-L-3 (2-naphthyl)alanine ที่เกิดขึ้นในสารละลาย 0.01 M Me ₄ NCl ใน MeOH ณ อุณหภูมิ 25 °C โดยมีความเข้มข้นของสารประกอบลิแกนด์ 1.423 X 10 ⁻³ M	34
5.5 แสดงการกระจายตัวของสปีชีส์ต่าง ๆ ของสารประกอบ N-t-Boc-L-homophenylalanine ที่เกิดขึ้นในสารละลาย 0.01 M Me ₄ NCl ใน MeOH ณ อุณหภูมิ 25 °C โดยมีความเข้มข้นของสารประกอบลิแกนด์ 5.86 X 10 ⁻⁴ M	35
5.6 แสดงการกระจายตัวของสปีชีส์ต่าง ๆ ของสารประกอบ pyrrole-2-carboxylic ที่เกิดขึ้นในสารละลาย 0.01 M Me ₄ NCl ใน MeOH ณ อุณหภูมิ 25 °C โดยมีความเข้มข้นของสารประกอบลิแกนด์ 5.86 X 10 ⁻⁴ M	36
6.1 แสดงปฏิกิริยาการรับ-จ่ายโปรตอนของสารประกอบ L-4-hydroxyproline ซึ่งสอดคล้องกับค่าคงที่สมดุลดังแสดงในตารางที่ 6.1	38
6.2 แสดงปฏิกิริยาการรับ-จ่ายโปรตอนของสารประกอบ L-pipecolic acid ซึ่งสอดคล้องกับค่าคงที่สมดุลดังแสดงในตารางที่ 6.1	38
6.3 แสดงปฏิกิริยาการรับ-จ่ายโปรตอนของสารประกอบ L-2-(t-butyl)glycine ซึ่งสอดคล้องกับค่าคงที่สมดุลดังแสดงในตารางที่ 6.1	39

รูปที่

- 6.4 แสดงปฏิกิริยาการรับ-จ่ายโปรตอนของสารประกอบ N-t-Boc-L-3-(2-naphthyl)alanine ซึ่งสอดคล้องกับค่าคงที่สมดุลดังแสดงในตารางที่ 6.2 39
- 6.5 แสดงปฏิกิริยาการรับ-จ่ายโปรตอนของสารประกอบ pyrrole-2-carboxylic ซึ่งสอดคล้องกับค่าคงที่สมดุลดังแสดงในตารางที่ 6.2 40
- 6.5 แสดงปฏิกิริยาการรับ-จ่ายโปรตอนของสารประกอบ N-t-Boc-L-homophenylalanine ซึ่งสอดคล้องกับค่าคงที่สมดุลดังแสดงในตารางที่ 6.2 40



ศูนย์วิทยทรัพยากร
จุฬาลงกรณ์มหาวิทยาลัย

บทที่ 1

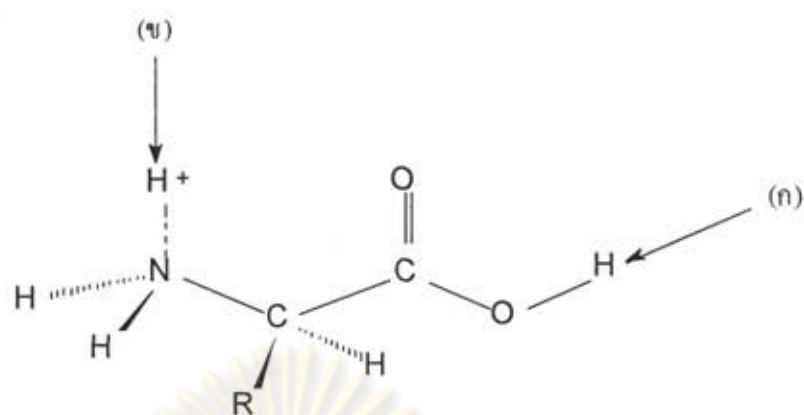
บทนำ

สารประกอบโนเวลอะมิโนแอซิด (novel amino acid) เป็นสารประกอบอะมิโนแอซิดชนิดใหม่โดยมากได้จากการสังเคราะห์ สารประกอบอะมิโนแอซิดที่เป็นสารประกอบธรรมชาติส่วนหนึ่งเป็นส่วนประกอบของโปรตีนซึ่งเป็นส่วนสำคัญของสิ่งมีชีวิต สารประกอบอะมิโนแอซิดอีกจำนวนมากเป็นสารประกอบสังเคราะห์ซึ่งสารประกอบเหล่านี้เป็นชนิดที่ละลายได้ในน้ำ และไม่ละลายน้ำ ดังนั้นการศึกษาการเกิดสมดุลเคมีเกี่ยวกับการรับและจ่ายโปรตอนจึงเป็นการศึกษาในระบบสารละลายที่สารประกอบอะมิโนแอซิดเหล่านี้สามารถละลายได้ในสารละลายนั้นๆ การศึกษาการเกิดสมดุลเคมีเกี่ยวกับการรับและจ่ายโปรตอนในสารละลายน้ำของสารประกอบอะมิโนแอซิด และ การเกิดสารประกอบเชิงซ้อนระหว่างสารประกอบอะมิโนแอซิดกับโลหะหลายชนิดได้มีการศึกษาวิจัยอย่างกว้างขวางภายใต้เทคนิคและวิธีต่าง ๆ (1 - 11) อย่างไรก็ตามสารประกอบอะมิโนแอซิดในสารละลายอื่นที่ไม่ใช่สารละลายในน้ำนั้นยังไม่พบว่าการศึกษาใด ๆ สาเหตุอาจเนื่องมาจากสารประกอบอะมิโนแอซิดที่ไม่ละลายน้ำไม่เป็นประโยชน์ต่อระบบสิ่งมีชีวิตมากนัก แต่เป็นประโยชน์ในทางวิชาการและงานประยุกต์อื่น ๆ เช่น งานทางด้านเคมีสิ่งแวดล้อม เป็นต้น

1.1 โครงสร้างของสารประกอบอะมิโนแอซิด

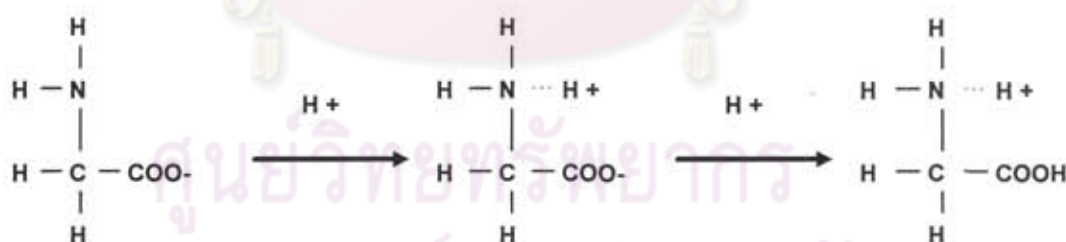
สารประกอบโนเวลอะมิโนแอซิดประกอบด้วยหมู่อะมิโน $-NH_2$ หรือ $-NH$ อยู่ในโมเลกุล ซึ่งหมู่อะมิโนสามารถอยู่เป็นส่วนหนึ่งของวงแหวนของโมเลกุลได้ สารประกอบที่มีไนโตรเจนเป็นองค์ประกอบเช่นนี้ทำให้โปรตอนสามารถเกาะติดกับโมเลกุลตรงตำแหน่งไนโตรเจน เนื่องจากไนโตรเจนเป็นอะตอมที่มีอิเล็กตรอนคู่อิสระ (electron pair) ดังนั้นโปรตอนในสารละลายกรดของสารประกอบโนเวลอะมิโนแอซิดจึงสามารถเกาะติดกับสารประกอบโนเวลอะมิโนแอซิดตรงตำแหน่งอะตอมของไนโตรเจนของหมู่อะมิโน ในทำนองกลับกันโปรตอนซึ่งทำหน้าที่เป็นกรด (acid proton หรือโปรตอนของหมู่ $-COOH$) สามารถแตกตัวออกจากสารประกอบอะมิโนแอซิด และเปลี่ยนเป็นโครงสร้างที่มีประจุลบตรงตำแหน่งอะตอมออกซิเจน ($-COO^-$) ด้วยเหตุนี้โมเลกุลของอะมิโนแอซิดจึงเป็นสารประกอบที่สามารถรับและจ่ายโปรตอนในสารละลายได้ ดังนั้นโครงสร้างของสารประกอบอะมิโนแอซิดจึงขึ้นกับจำนวนโปรตอนในสารละลาย หรือขึ้นกับค่าพีเอช (pH) ของสารละลาย สำหรับในสารละลายที่แตกตัวให้โปรตอนพบว่าโปรตอนที่เกี่ยวข้องกับการแตกตัวและการรวมตัวกับสารประกอบอะมิโนแอซิดนั้นสามารถทำให้เกิดเป็นโครงสร้างแบบสวิตเตอร์ไอออน (Zwitter ion) (12)

ลักษณะโครงสร้างของสารประกอบอะมิโนแอซิดประกอบด้วยหมู่อะมิโน และ หมู่คาร์บอกซาลิก ซึ่งเป็นส่วนแสดงความเป็นกรดของโมเลกุล ดังนั้นในสารละลายน้ำหรือสารละลายที่สามารถแตกตัวให้โปรตอน จึงพบว่าโปรตอนสามารถรวมตัวและเกาะติดกับอะตอมของไนโตรเจนในหมู่อะมิโนของสารประกอบอะมิโนแอซิด และโปรตอนกรดบนสารประกอบอะมิโนแอซิดสามารถแตกตัวให้โปรตอนอิสระได้ สำหรับตำแหน่งการรับ-จ่ายโปรตอนบนสารประกอบอะมิโนแอซิดดังกล่าวได้แสดงไว้ในรูปที่ 1.1



รูปที่ 1.1 แสดงตำแหน่งโปรตอนกรดบนสารประกอบอะมิโนแอซิด(ก) และตำแหน่งที่โปรตอนสามารถเกาะติดกับไนโตรเจน (ข) เมื่อ R เป็นไฮโดรเจนหรือกลุ่มอัลคิล

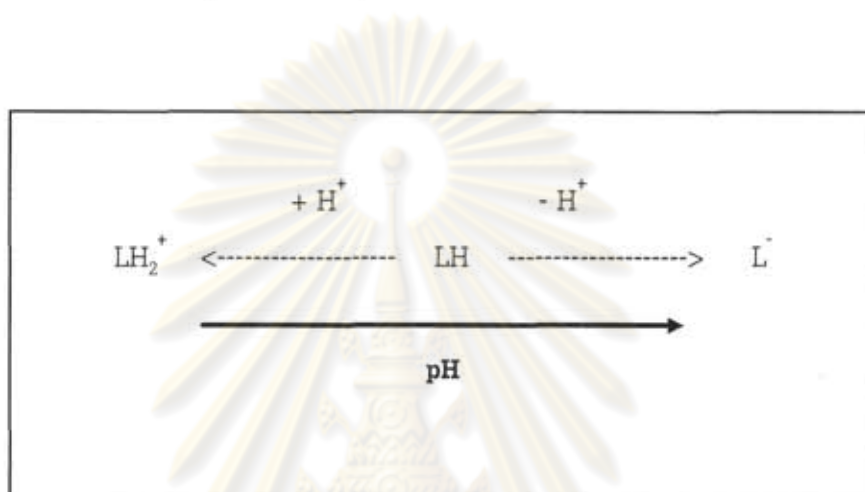
โมเลกุลของสารประกอบอะมิโนแอซิดที่ง่ายที่สุดคือ สารประกอบไกลซีน (glycine) ซึ่ง R ในรูปที่ 1.1 เป็นอะตอมของไฮโดรเจน ในสารละลายน้ำของสารประกอบไกลซีน ณ. ที่ค่าพีเอช (pH) ประมาณ 7 หรือสารละลายที่เป็นกลางนั้นพบว่าการเกิดสวิตเตอร์ไอออนขณะสมดุลเป็นดังรูปที่ 1.2



รูปที่ 1.2 แสดงโครงสร้างของสารประกอบไกลซีนภายใต้สารละลายน้ำหรือสารละลายที่มีโปรตอน

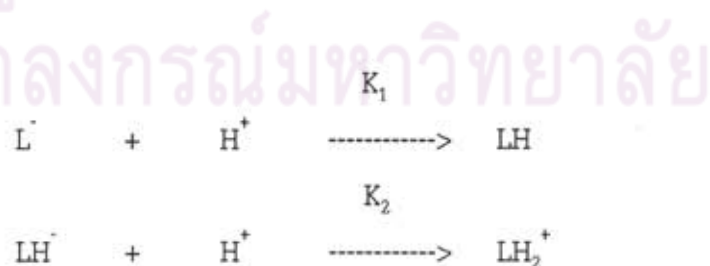
1.2 สมดุลเคมีของสารประกอบอะมิโนแอซิด

โครงสร้างของอะมิโนแอซิดในสารละลายน้ำหรือสารละลายที่มีโปรตอนขึ้นกับจำนวนโปรตอนในสารละลาย หรือ ขึ้นกับความเข้มข้นของโปรตอนโดยมักแสดงในรูปของค่าพีเอช โครงสร้างของการรวมตัวกับโปรตอนของอะมิโนแอซิดเมื่อ LH แทนโมเลกุลของอะมิโนแอซิด ดังนั้นโครงสร้างของอะมิโนแอซิดที่เกิดขึ้นในสารละลายโปรตอนจึงเป็นดังรูปที่แสดงไว้ในรูปที่ 1.3



รูปที่ 1.3 แสดงโครงสร้างของอะมิโนแอซิดที่เกิดขึ้นในสารละลายโปรตอน

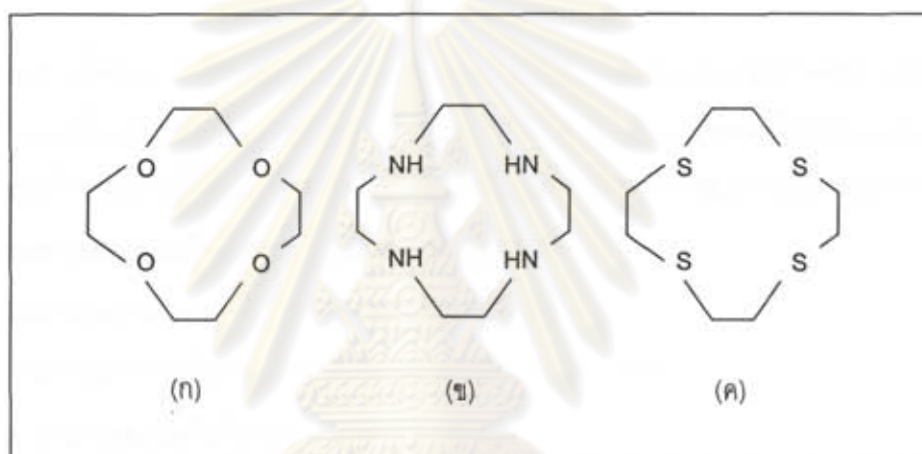
โครงสร้างของอะมิโนแอซิดที่เกิดขึ้นในสารละลายโปรตอนดังแสดงในรูปที่ 1.3 เป็นข้อยืนยันการเกิด โครงสร้างของอะมิโนแอซิดอย่างน้อย 3 แบบ คือ โครงสร้างของการจ่ายโปรตอน L^- , โครงสร้างแบบสวิตเตอร์ ไอออน LH และ โครงสร้างของการรับโปรตอน LH_2^+ การเกิดสมดุลเคมีของโครงสร้างของ สารประกอบ อะมิโนแอซิดในสารละลายโปรตอนจึงสามารถเขียนเป็นค่าคงที่ของการสมดุลได้ดังนี้



เมื่อ K_1 และ K_2 เป็นค่าคงที่สมดุลแบบขั้น (stepwise equilibrium constant) ของการเกิดสปีชีส์ LH และ LH_2^+ ตามลำดับ

1.3 ธรรมชาติของลิแกนด์

ลิแกนด์เป็นสารประกอบอะตอมที่มีอิเล็กตรอนคู่ (electron pair) หรือเรียกว่าอะตอมดอนเนอร์ (donner atom) อะตอมประเภทนี้ได้แก่ ไนโตรเจน ออกซิเจน และ ซัลเฟอร์ เป็นต้น ดังนั้นลิแกนด์จึงเป็นสารประกอบที่สามารถรวมตัวได้กับโปรตอน หรือสามารถรวมตัวกับแคทไอออนเกิดเป็นสารประกอบเชิงซ้อน สารประกอบประเภทนี้ได้แก่ สารประกอบคราวน์อีเธอร์ (crown ether) สารประกอบอะมีน (amine) สารประกอบไทโออีเธอร์ (thio ether) และสารประกอบอะมิโนแอซิด เป็นต้น สำหรับตัวอย่างโครงสร้างของสารประกอบลิแกนด์ชนิดต่าง ๆ ได้แสดงไว้ในรูปที่ 1.4



รูปที่ 1.4 แสดงโครงสร้าง (ก) สารประกอบคราวน์อีเธอร์ (ข) สารประกอบอะมีน และ (ค) สารประกอบไซโออีเธอร์

สารประกอบลิแกนด์ที่เป็นสารประกอบคีเลต (Chelating agent) สารประกอบชนิดนี้ประกอบด้วยอะตอมไนโตรเจนเป็นส่วนใหญ่ สารประกอบคีเลตที่มีอะตอมไนโตรเจนเป็นองค์ประกอบซึ่งได้แก่ สารประกอบ NTA (nitrilotriacetic acid) สารประกอบ EDTA (ethylenediaminetetraacetic acid) สารประกอบ N-(2-aminoethyl)ethylenediamine และ สารประกอบ en (ethylenediamine) เป็นต้น

สารประกอบคีเลตเป็นสารประกอบที่ประกอบด้วยอะตอมดอนเนอร์อย่างน้อยสองอะตอมในโมเลกุล สำหรับอะตอมดอนเนอร์เป็นอะตอมที่มีค่าอิเล็กโทรเนกาติวิตี (electronegativity) สูง ซึ่งเป็นอะตอมของธาตุในกลุ่มต่าง ๆ ดังนี้ กลุ่ม V อันได้แก่ อะตอมไนโตรเจน (N) ฟอสฟอรัส (P) อาร์เซนิก (As) และแอนติโมนี (Sb) กลุ่ม VI อันได้แก่ อะตอมออกซิเจน (O) ซัลเฟอร์ (S) เซเลเนียม (Se) และเทลลูเรียม (Te) สารประกอบคีเลตจึงเป็นสารประกอบที่สามารถรวมตัวกับแคทไอออน เกิดสารประกอบเชิงซ้อนชนิดต่าง ๆ และสามารถดูดกลืนแสงวิสิเบิล หรือแสงอัลตราไวโอเล็ต (UV-VIS) เป็นส่วนใหญ่ (13)

1.4 สารละลายบัฟเฟอร์อิเล็กโทรไลต์

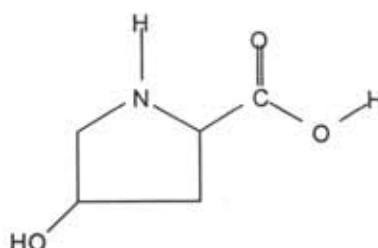
การศึกษาสมดุลเคมีในสารละลายของสารประกอบลิแกนด์ หรือสารประกอบเชิงซ้อนต่าง ๆ ทั้งในสารละลายน้ำและสารละลายเอทานอล ต้องมีการควบคุมความแรงของไอออน (ionic strength) ของสารละลายเพื่อให้เกิดปฏิกิริยาของสมดุลเคมี สารละลายที่เป็นตัวควบคุมความแรงของไอออนดังกล่าว ต้องเป็นสารที่เฉื่อยต่อปฏิกิริยาการเกิดสมดุล ดังนั้นสารละลายเช่นนี้จึงถูกเรียกว่า สารละลายเฉื่อย (Inert background solution) หรือสารละลายบัฟเฟอร์อิเล็กโทรไลต์ (Background electrolyte) (14) ซึ่งสารละลายดังกล่าวแบ่งออกได้เป็น สารละลายบัฟเฟอร์อิเล็กโทรไลต์ในระบบสารละลายน้ำ และสารละลายบัฟเฟอร์อิเล็กโทรไลต์ในระบบสารละลายที่ไม่ใช่น้ำในที่นี้หมายถึงสารละลายเอทานอล สารละลายดังกล่าวได้แก่

- สารละลายน้ำของสารประกอบเกลือโซเดียมของเปอร์คลอเรต (perchlorate) และไนเตรต (nitrate)
 - สารละลายน้ำของสารประกอบเกลือโปแตสเซียมของไนเตรต (nitrate) และคลอไรด์ (chloride)
- สารละลายบัฟเฟอร์อิเล็กโทรไลต์ในระบบสารละลายที่ไม่ใช่น้ำในได้แก่ สารละลายของสารประกอบต่อไปนี้
- สารประกอบเตตระเมทิลไนเตรต (tetramethyl nitrate)
 - สารประกอบเตตระเมทิลคลอไรด์ (tetramethyl chloride)
 - สารประกอบเตตระเมทิลเปอร์คลอเรต (tetramethyl perchlorate)
 - สารประกอบเตตระเอทิลไนเตรต (tetraethyl nitrate)
 - สารประกอบเตตระเอทิลคลอไรด์ (tetraethyl chloride)
 - สารประกอบเตตระเอทิลเปอร์คลอเรต (tetraethyl perchlorate)

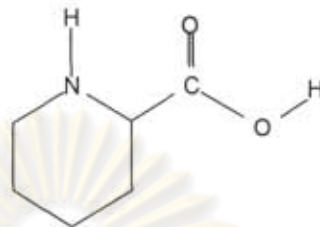
1.5 โครงสร้างของสารประกอบโนเวลอะมิโนแอซิด

สารประกอบโนเวลอะมิโนแอซิดสำหรับการทดลองในงานวิจัยครั้งนี้ ประกอบด้วยอะมิโนแอซิดจำนวน 6 สารประกอบ ซึ่งมีโครงสร้างดังต่อไปนี้

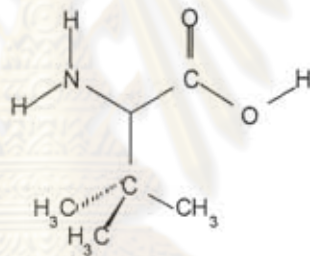
1. สารประกอบ L-4-hydroxyproline



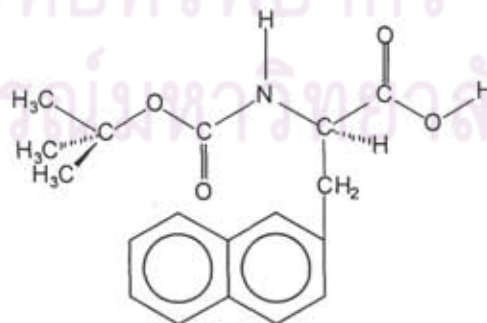
2. สารประกอบ L-pipecolic acid



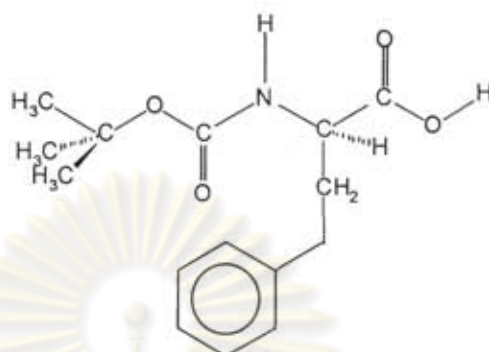
3. สารประกอบ L-2-(t-butyl)glycine



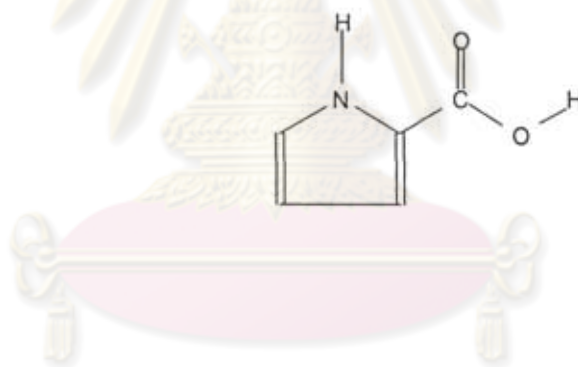
4. สารประกอบ N-t-Boc-L-3-(2-naphthyl)alanine



5. สารประกอบ N-t-Boc-L-homophenylalanine



6. สารประกอบ pyrrole-2-carboxylic acid



ศูนย์วิทยทรัพยากร
จุฬาลงกรณ์มหาวิทยาลัย

บทที่ 2

ทฤษฎี

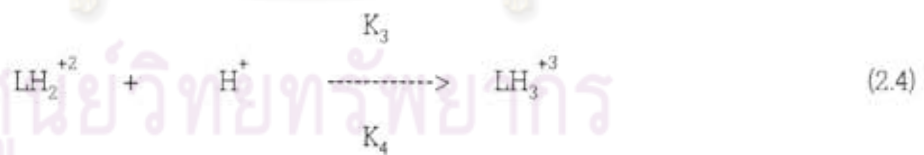
2.1 ค่าคงที่สมดุลเคมี

2.1.1 ค่าคงที่สมดุลเคมีแบบขั้น (Stepwise equilibrium constant)

สมดุลเคมีพื้นฐานที่เกี่ยวข้องกับสารประกอบลิแกนด์หมายถึงสมดุลเคมีของการเกิดสารประกอบรวมตัวกับโปรตอนในสารละลาย ดังนั้นค่าคงที่ของการเกิดสารประกอบระหว่างลิแกนด์, L กับโปรตอน, H จึงสามารถเขียนเป็นสูตรทั่วไปดังสมการ (2.1)

$$K_1 = \frac{[LH_1]}{[LH_{i-1}][H]} \quad (2.1)$$

เมื่อ K_1 เป็นค่าคงที่สมดุลเคมีของการเกิดสารประกอบโดยการรวมตัวกับโปรตอนเพิ่มขึ้น 1 โปรตอน ทำให้จำนวนลิแกนด์ที่เกิดขึ้นเท่ากับจำนวนสูงสุดของจำนวนโปรตอนที่รวมตัวกับลิแกนด์ ดังนั้นการรวมตัวระหว่างลิแกนด์กับโปรตอนสูงสุดเท่ากับ 4 สามารถเขียนเป็นสมดุลเคมีดังสมการที่ (2.2) ถึง (2.5)

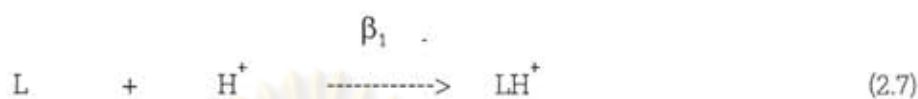


2.1.2 ค่าคงที่สมดุลแบบสะสม (Cumulative equilibrium constant)

ค่าคงที่สมดุลในการคำนวณโดยโปรแกรม Superquad เป็นค่าคงที่สมดุลแบบสะสมหรือค่าคงที่สมดุลแบบรวบยอด (Overall equilibrium constant) ซึ่งสามารถเขียนเป็นสูตรดังสมการ (2.6)

$$\beta_1 = \frac{[LH_1]}{[L][H]} \quad (2.6)$$

เมื่อ β_1 เป็นค่าคงที่สมดุลเคมีของสารประกอบที่เกิดจากการรวมตัวระหว่างลิแกนด์กับโปรตอนจำนวน i โปรตอน จำนวนสปีชีส์ที่เกิดจากการรวมตัวระหว่างลิแกนด์กับโปรตอนนั้นมีจำนวนเท่ากับจำนวนสูงสุดของโปรตอนที่รวมตัวกับลิแกนด์ ดังนั้นการรวมตัวระหว่างลิแกนด์กับโปรตอนสูงสุดเท่ากับ 4 สามารถเขียนเป็นสมดุลเคมีดังสมการที่ (2.7) ถึง (2.10)



2.2 เทอร์โมไดนามิกส์ของสมดุลเคมี

สมบัติทางกายภาพที่เกี่ยวข้องกับการเกิดสมดุลเคมีได้แก่ ค่าคงที่สมดุลเคมี ซึ่ง ณ ที่อุณหภูมิต่าง ๆ สามารถนำไปคำนวณเพื่อหาค่าทางเทอร์โมไดนามิกส์ของสมดุลเคมี ซึ่งได้แก่ ค่าพลังงานอิสระของกิบส์ (Gibb's free energy : ΔG) ค่าเอนทัลปี (enthalpy : ΔH) และ ค่าเอนโทรปี (entropy : ΔS) ค่าเทอร์โมไดนามิกส์เหล่านี้เป็นเครื่องมืออธิบายสมดุลเคมีภายใต้ความดันคงที่ (ความดัน 1 บรรยากาศ) ซึ่งสามารถคำนวณได้ดังนี้

2.2.1 ค่าพลังงานอิสระของกิบส์

$$\Delta G = -RT \ln K \quad (2.12)$$

เมื่อ R เป็นค่าคงที่ของก๊าซ (gas constant)

K เป็นค่าคงที่สมดุลเคมี ซึ่งหน่วยของค่า K ขึ้นกับการเกิดสมดุลเคมี ดังเช่น



K จึงเป็นค่าคงที่สมดุลเคมีที่ไม่มีหน่วย ส่วน K' เป็นค่าคงที่สมดุลเคมีที่มีหน่วยเป็น mol l^{-1}

2.2.2 ค่าเอนทัลปี

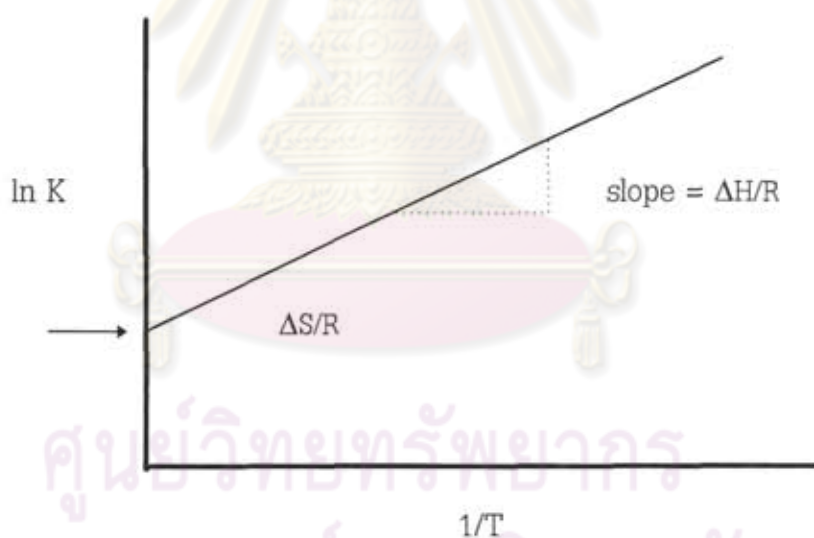
การเปลี่ยนแปลงพลังงานความร้อนสามารถคำนวณได้จากสมการ (2.15)

$$\Delta G = \Delta H - T\Delta S \quad (2.15)$$

หากรวมสมการ (2.12) และ (2.15) ทำให้ได้สมการใหม่ดังนี้

$$\ln K = \Delta S/R - \Delta H/RT \quad (2.16)$$

กรณีที่ว่า ΔS และ ΔH เป็นค่าคงที่ที่ไม่ขึ้นกับอุณหภูมิ ดังนั้นพลอตระหว่างค่า $\ln K$ กับ $1/T$ จึงเป็นกราฟเส้นตรงโดยมีค่าอินเตอร์เซ็ปต์ (intercept) เท่ากับ $\Delta S/R$ และค่าความชันของกราฟเส้นตรงเท่ากับ $-\Delta H/R$ ดังแสดงในรูปที่ 2.1



รูปที่ 2.1 แสดงพลอตระหว่าง $\ln K$ กับ $1/T$

2.2.3 ค่าเอนโทรปี

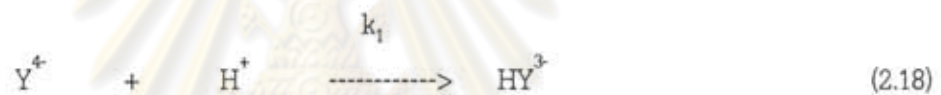
การเปลี่ยนแปลงค่าเอนโทรปี สามารถคำนวณได้จากสมการ (2.17)

$$\Delta S = \frac{\Delta H - \Delta G}{T} \quad (2.17)$$

ค่าเอนโทรปีสามารถหาได้จากค่าอินเตอร์เซ็ปต์ของกราฟเส้นตรงที่พล็อตระหว่าง $\ln K$ กับ $1/T$

2.3 การกระจายตัวของสปีชีส์และค่าคงที่สมดุลเคมี

สารประกอบลิแกนด์ที่มีความสามารถในการรับและจ่ายโปรตอนในสารละลายน้ำอย่างเด่นชัดได้แก่ สารประกอบ EDTA (H_4Y) ดังนั้นค่าคงที่สมดุลเคมีของการรวมตัวกับโปรตอนของสารประกอบ EDTA ในรูปที่แตกตัวเป็นไอออนประจุลบ (Y^{4-}) และสมการการเกิดสมดุลแบบขั้นสามารถเขียนอธิบายตามทฤษฎีได้ดังนี้



เมื่อ

$$k_1 = \frac{[HY^{3-}]}{[Y^{4-}][H^+]} \quad (2.22)$$

$$k_2 = \frac{[H_2Y^{2-}]}{[HY^{3-}][H^+]} \quad (2.23)$$

$$k_2 = \frac{[H_3Y^-]}{[H_2Y^{2-}][H^+]} \quad (2.24)$$

$$k_2 = \frac{[H_4Y]}{[H_3Y^-][H^+]} \quad (2.25)$$

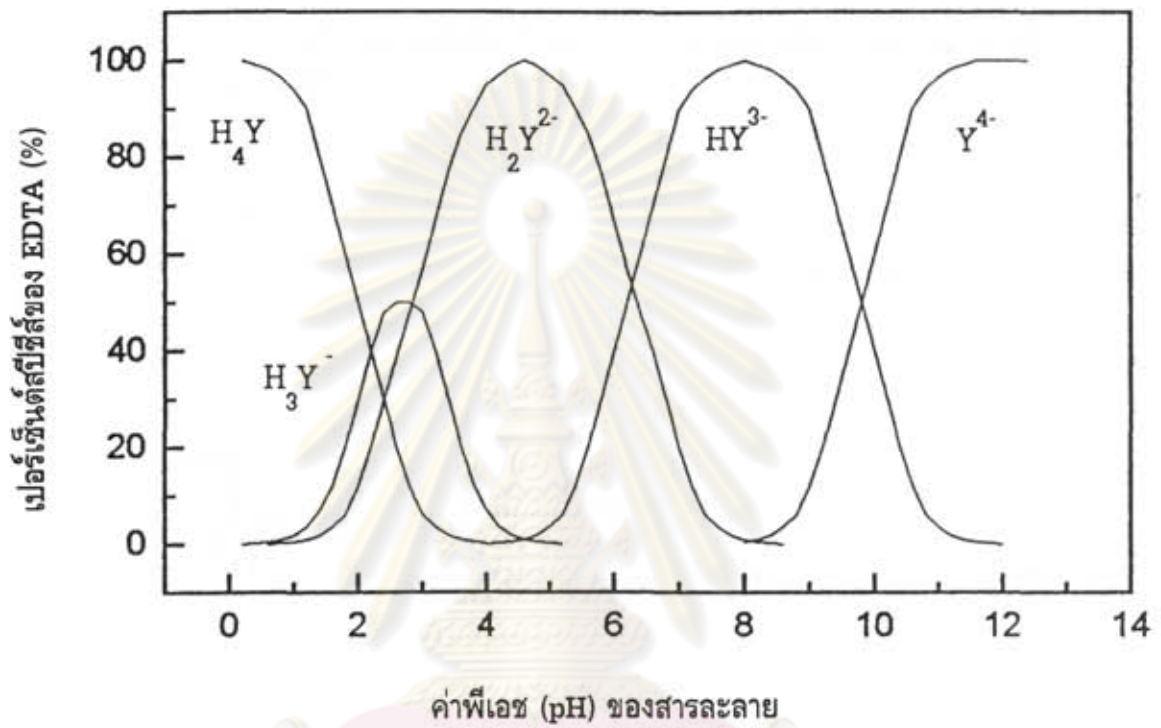
ค่าคงที่สมดุลดังกล่าวในสารละลาย 0.1 M KNO_3 ณ อุณหภูมิ 20 °C ได้แสดงไว้ในตารางที่ 2.1

ตารางที่ 2.1 แสดงค่าคงที่สมดุลเคมีการรวมตัวกับโปรตอนตอนของสารประกอบ EDTA ในรูปแบบที่แตกตัวเป็นไอออนประจุลบ (Y^{4-}) ในสารละลาย 0.1 M KNO_3 ณ อุณหภูมิ 20 °C

ค่าคงที่ของปฏิกิริยา	ค่า log K
$k_1 : Y^{4-} + H^+ \rightleftharpoons HY^{3-}$	10.34
$k_2 : HY^{3-} + H^+ \rightleftharpoons H_2Y^{2-}$	6.24
$k_3 : H_2Y^{2-} + H^+ \rightleftharpoons H_3Y^-$	2.75
$k_4 : H_3Y^- + H^+ \rightleftharpoons H_4Y$	2.07

การกระจายตัวของสปีชีส์ต่าง ๆ ของสารประกอบ EDTA (Y) ในสารละลาย 0.1 M KNO_3 ณ อุณหภูมิ 20 °C ได้แสดงไว้ในรูปที่ 2.2

ศูนย์วิทยทรัพยากร
จุฬาลงกรณ์มหาวิทยาลัย



รูปที่ 2.2 แสดงการกระจายตัวของสปีชีส์ต่าง ๆ ของสารประกอบ EDTA (H_4Y) ที่เกิดขึ้นในสารละลาย 0.1 M KNO_3 ณ อุณหภูมิ 20 °C

ศูนย์วิทยาศาสตร์การ
จุฬาลงกรณ์มหาวิทยาลัย

บทที่ 3

การทดลอง

3.1. เครื่องมือการทดลอง

เครื่องมือและอุปกรณ์ที่ใช้ในการทดลองเป็นดังนี้

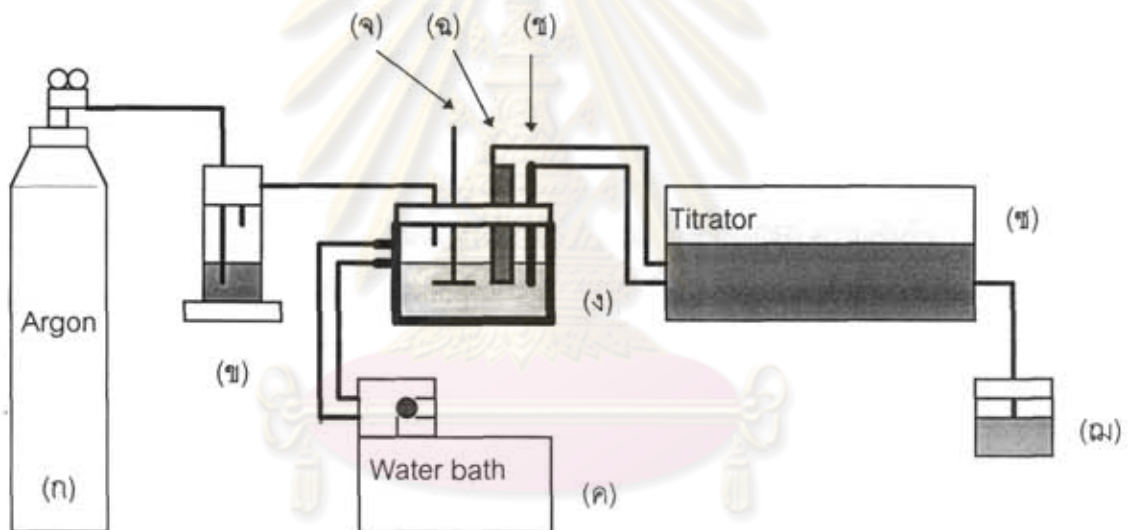
3.1.1. เครื่องไทเทรตอัตโนมัติ (Automatic titrator) ยี่ห้อ ORION model 906

3.1.2. ขั้วไฟฟ้าวัดค่าพีเอชยี่ห้อ Mettler

3.1.3. อ่างน้ำควบคุมอุณหภูมิ

3.1.4. อุปกรณ์ชุดดักก๊าซ (gas bottle)

การจัดวางเครื่องมือและอุปกรณ์ในการทดลองได้แสดงดังในรูปที่ 3.1



รูปที่ 3.1 แสดงการจัดวางและการเชื่อมต่อของเครื่องมือและอุปกรณ์ในการทดลอง

- (ก) ถังก๊าซอาร์กอน
- (ข) อุปกรณ์ชุดดักก๊าซ
- (ค) อ่างน้ำควบคุมอุณหภูมิ
- (ง) บีกเกอร์สำหรับการไทเทรตชนิดควบคุมอุณหภูมิ
- (จ) เครื่องกวน (stirrer)
- (ฉ) ขั้วไฟฟ้าวัดค่าพีเอช (pH electrode)
- (ช) หัวฉีดพ่น (dispenser)
- (ช) เครื่องไทเทรตอัตโนมัติ
- (ฉง) ขวดบรรจุไทเทรนต์

3.2. สารเคมี

สารเคมีที่ใช้ในการทดลองเป็นดังนี้

3.2.1. สารประกอบอะมิโนแอซิด

สารประกอบอะมิโนแอซิดที่ใช้ในการทดลองเป็นของบริษัท ซิกมา (Sigma)

3.2.1.1. สารประกอบ L-4-hydroxyproline

3.2.1.2. สารประกอบ L-pipecolic acid

3.2.1.3. สารประกอบ L-2-(t-butyl)glycine

3.2.1.4. สารประกอบ N-t-Boc-L-3-(2-naphthyl)alanine

3.2.1.5. สารประกอบ N-t-Boc-L-homophenylalanine

3.2.1.6. สารประกอบ pyrrole-2-carboxylic acid

3.2.2. สารประกอบเมทานอล (CH_3OH)

3.2.3. สารประกอบเอทานอล ($\text{C}_2\text{H}_5\text{OH}$)

3.2.4. สารประกอบ Tetramethylammoniumchloride (Me_4NCl)

3.2.5. สารประกอบ Tetramethylammoniumhydroxide (Me_4NOH)

3.2.6. กรดไฮโดรคลอริก (HCl) ชนิดเข้มข้น

3.2.7. สารละลายมาตรฐานโซเดียมไฮดรอกไซด์ (NaOH) ความเข้มข้น 1.0 M

3.2.8. สารละลายมาตรฐานกรดไฮโดรคลอริก (HCl) ความเข้มข้น 1.0 M

3.2.9. สารละลายโปแตสเซียมไนเตรต (KNO_3) ความเข้มข้น 0.1 M

3.2.10. ก๊าซอาร์กอน

3.2.11. ก๊าซไนโตรเจน

3.3. การเตรียมสารละลาย

การเตรียมสารละลายสำหรับใช้ในการทดลองโดยวิธีโพเทนชิโอเมตริกไทเทรตชันเป็นดังนี้

3.3.1. ระบบสารละลายน้ำ (Aqueous solution)

3.3.1.1. สารละลายอิเล็กโทรไลต์ (electrolyte) ความเข้มข้น 0.1 M KNO_3

3.3.1.2. สารละลาย 0.1 HCl ในสารละลาย 0.1 M KNO_3

3.3.1.3. สารละลาย 0.1 NaOH ในสารละลาย 0.1 M KNO_3

3.3.1.4. สารละลายมาตรฐาน 0.1 KHP ในสารละลาย 0.1 M KNO_3

3.3.1.5. สารละลายโนวอะมิโนแอซิดในสารละลาย 0.1 M KNO_3 ความเข้มข้นระหว่าง 0.05 ถึง 0.1 M (สารประกอบอะมิโนแอซิดที่ละลายน้ำ)

3.3.2. ระบบสารละลายเมทานอล (Non aqueous solution)

3.3.2.1. สารละลายอิเล็กโทรไลต์ (electrolyte) เข้มข้น 0.01 M Me_4NCl

- 3.3.2.2. สารละลาย 0.025 M HCl ในสารละลาย 0.01 M Me_4NCl
- 3.3.2.3. สารละลาย 0.025 M Me_4NOH ในสารละลาย 0.01 M Me_4NCl
- 3.3.2.4. สารละลายมาตรฐาน 0.1 KHP ในสารละลาย 0.1 M KNO_3
- 3.3.2.5. สารละลายโนเวลอะมิโนแอซิดในสารละลาย 0.01 M Me_4NCl ความเข้มข้นระหว่าง 0.05 ถึง 0.1 M (สารประกอบอะมิโนแอซิดที่ละลายเมทานอล)

3.4. การไทเทรชัน

3.4.1. ระบบสารละลายน้ำ

- 3.4.1.1. การไทเทรชันระหว่าง 0.1 M NaOH ในสารละลาย 0.1 M KNO_3 กับสารละลาย 0.1 M KHP ในสารละลาย 0.1 M KNO_3 เพื่อหาความเข้มข้นของสารละลาย NaOH ในสารละลาย 0.1 M KNO_3 ซึ่งเป็นขั้นตอนการทำสแตนดาร์ดไตเซชัน (standardization)
- 3.4.1.2. การไทเทรชันกรด-เบส ระหว่างไทแทรนต์ 0.1 M NaOH ในสารละลาย 0.1 M KNO_3 กับสารละลายกรด HCl ในสารละลาย 0.1 M KNO_3 เพื่อหาค่า E° ซึ่งเป็นขั้นตอนการคาลิเบรชัน (calibration) ขั้วไฟฟ้าสำหรับวัดค่าพีเอช (pH electrode หรือ combined electrode) และค่า $\log K_w$ เพื่อใช้เป็นค่าพื้นฐานในการคำนวณ
- 3.4.1.3. การไทเทรชันระหว่างไทแทรนต์ (NaOH ในสารละลาย 0.1 M KNO_3) กับสารละลายอะมิโนแอซิดและกรดไฮโดรคลอริก (HCl ในสารละลาย 0.1 M KNO_3) เพื่อนำข้อมูลจากการไทเทรชันไปใช้ในการประเมินผลด้วยคอมพิวเตอร์โดยโปรแกรม Superquad

3.4.2. ระบบสารละลายเมทานอล

- 3.4.2.1. การไทเทรชันระหว่าง 0.025 M Me_4NOH ในสารละลาย 0.01 M Me_4NCl กับสารละลาย 0.1 M KHP ในสารละลาย 0.01 M Me_4NCl เพื่อหาความเข้มข้นของสารละลาย Me_4NOH ในสารละลาย 0.01 M Me_4NCl ซึ่งเป็นขั้นตอนการทำสแตนดาร์ดไตเซชัน
- 3.4.2.2. การไทเทรชันกรด-เบสระหว่างไทแทรนต์ 0.025 M Me_4NOH ในสารละลาย 0.01 M Me_4NCl กับสารละลายกรด HCl ในสารละลาย 0.01 M Me_4NCl เพื่อหาค่า E° ซึ่งเป็นขั้นตอนการคาลิเบรชันของขั้วไฟฟ้าสำหรับวัดพีเอช และค่า $\log K_{\text{MeOH}}$ เพื่อใช้เป็นค่าพื้นฐานในการคำนวณ

3.4.2.3. การไทเทรชันระหว่างไทแทรนต์ (Me_4NOH ในสารละลาย 0.01 M Me_4NCl) กับสารละลายอะมิโนแอซิดและกรดไฮโดรคลอริก (HCl ในสารละลาย 0.01 M Me_4NCl) เพื่อนำข้อมูลจากการไทเทรชันไปใช้ในการประเมินผลด้วยคอมพิวเตอร์โดยโปรแกรม Superquad

3.5. ผลการทดสอบการละลาย

การทดสอบการละลายของสารประกอบอะมิโนแอซิดจำนวน 6 สารประกอบพบว่าตัวทำละลายที่เหมาะสมกับสารประกอบอะมิโนแอซิดดังกล่าวเป็นดังนี้

อะมิโนแอซิดที่ละลายได้ดีในน้ำ คือ

- สารประกอบ L-4-hydroxyproline
- สารประกอบ L-pipecolic acid
- สารประกอบ L-2-(t-butyl)glycine

อะมิโนแอซิดที่ละลายได้ดีในเมทานอล คือ

- สารประกอบ N-t-Boc-L-3-(2-naphthyl)alanine
- สารประกอบ N-t-Boc-L-homophenylalanine
- สารประกอบ pyrrole-2-carboxylic acid

ศูนย์วิทยทรัพยากร
จุฬาลงกรณ์มหาวิทยาลัย

บทที่ 4

ผลการทดลอง

4.1 การทดลองในระบบสารละลายน้ำ

การทดลองโดยวิธีโพเทนซีโอเมตริกไทเทรชันของสารประกอบ L-4-hydroxyproline ณ อุณหภูมิ 293, 298 และ 303 °K ได้แสดงไว้ในตารางที่ 4.1, 4.2 และ 4.3 ตามลำดับ

ตารางที่ 4.1 แสดงช่วงของการไทเทรชันของสารประกอบ L-4-hydroxyproline ณ อุณหภูมิ 293 °K

ไทเทรชัน	ความเข้มข้นตั้งต้น (mM)		ช่วง pH	จำนวนข้อมูล
	Ligand	HCl		
1	-	3.635	2.77 - 11.96	50
2	3.721	3.366	2.53 - 11.16	50
3	7.177	3.246	2.64 - 11.17	70

ตารางที่ 4.2 แสดงช่วงของการไทเทรชันของสารประกอบ L-4-hydroxyproline ณ อุณหภูมิ 298 °K

ไทเทรชัน	ความเข้มข้นตั้งต้น (mM)		ช่วง pH	จำนวนข้อมูล
	Ligand	HCl		
1	-	3.635	2.44 - 11.31	50
2	1.896	3.429	2.45 - 11.30	50
3	3.721	3.366	2.52 - 10.99	50

ตารางที่ 4.3 แสดงช่วงของการไทเทรชันของสารประกอบ L-4-hydroxyproline ณ อุณหภูมิ 303 °K

ไทเทรชัน	ความเข้มข้นตั้งต้น (mM)		ช่วง pH	จำนวนข้อมูล
	Ligand	HCl		
1	-	3.635	2.47 - 11.30	50
2	3.721	3.366	2.58 - 10.85	50
3	7.177	3.246	2.67 - 9.78	50

การทดลองโดยวิธีโพเทนชิโอเมตริกไทเทรชันของสารประกอบ L-pipecolic acid ณ. ที่อุณหภูมิ 298 °K ได้แสดงไว้ในตารางที่ 4.4

ตารางที่ 4.4 แสดงช่วงของการไทเทรชันของสารประกอบ L-pipecolic acid ณ. ที่อุณหภูมิ 298 °K

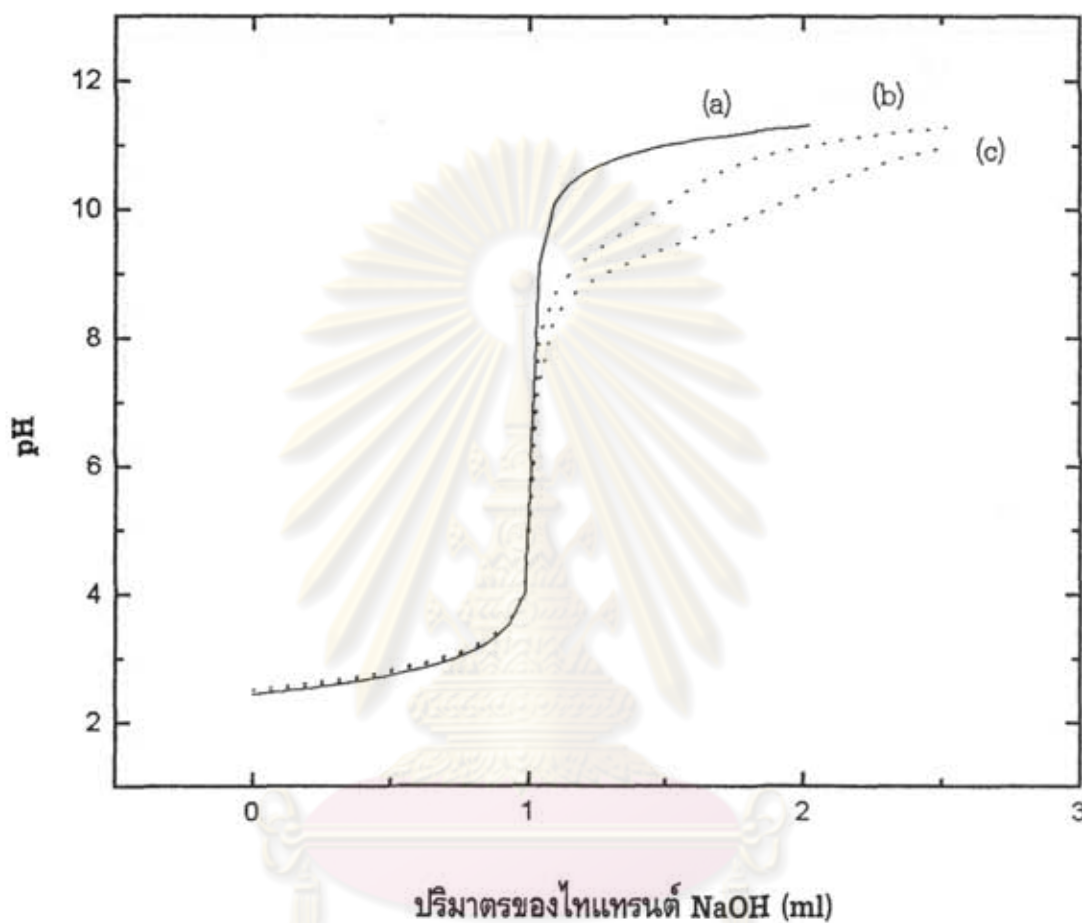
ไทเทรชัน	ความเข้มข้นตั้งต้น (mM)		ช่วง pH	จำนวนข้อมูล
	Ligand	HCl		
1	2.867	3.366	2.60 - 11.23	50
2	5.529	3.246	2.76 - 10.92	50

การทดลองโดยวิธีโพเทนชิโอเมตริกไทเทรชันของสารประกอบ L-2-(t-butyl)glycine ณ. ที่อุณหภูมิ 298 °K ได้แสดงไว้ในตารางที่ 4.5

ตารางที่ 4.5 แสดงช่วงของการไทเทรชันของสารประกอบ L-2-(t-butyl)glycine ณ. ที่อุณหภูมิ 298 °K

ไทเทรชัน	ความเข้มข้นตั้งต้น (mM)		ช่วง pH	จำนวนข้อมูล
	Ligand	HCl		
1	0.929	3.366	2.45 - 11.28	47
2	1.790	3.246	2.48 - 11.23	50

ไทเทรชันเคอร์브ของสารประกอบ L-4-droxyproline, L-pipecolic acid และ L-2-(t-butyl)glycine ในสารละลาย 0.1 M KNO₃ ที่ความเข้มข้นต่าง ๆ ณ. อุณหภูมิ 25 °C (298 °K) ได้แสดงไว้ในรูปที่ 4.1, 4.2 และ 4.3 ตามลำดับ

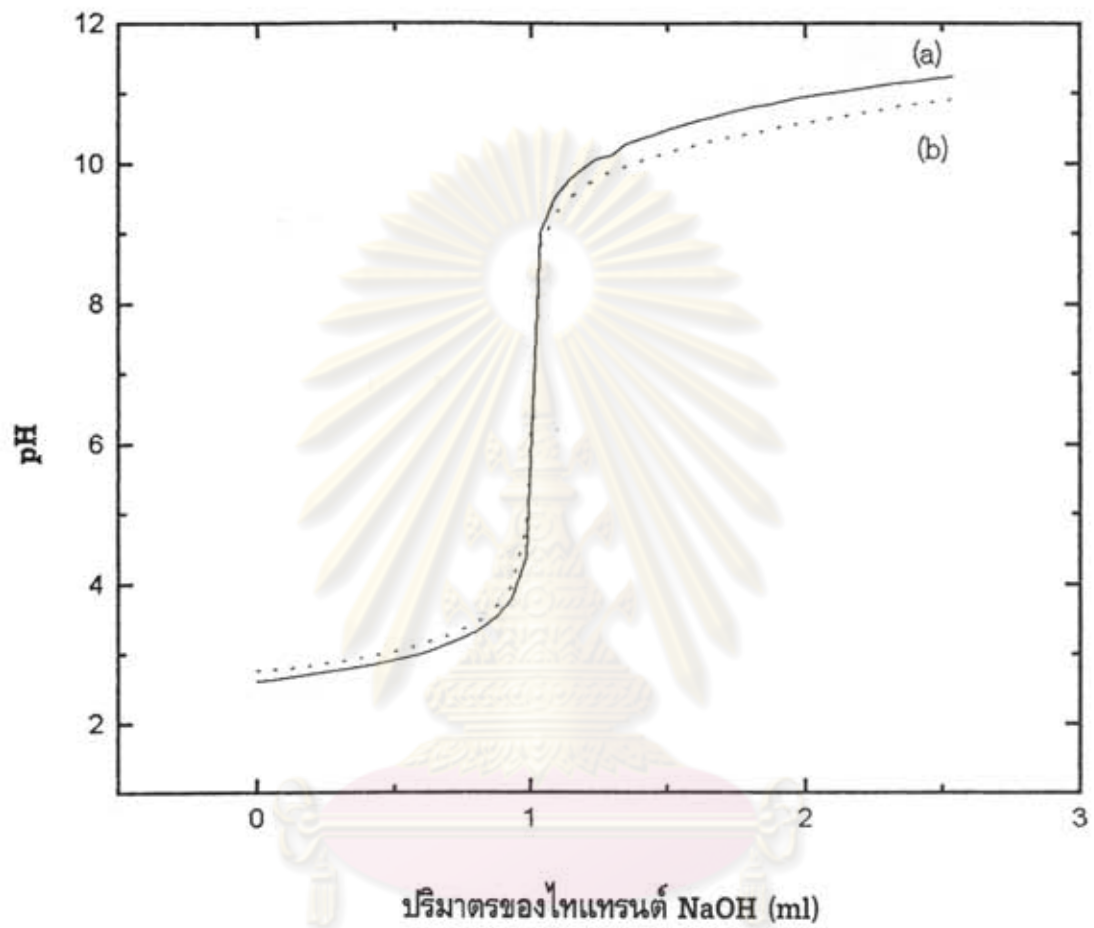


รูปที่ 4.1 แสดงไทเทรชันเคอร์ฟระหว่างสารละลาย L-4-hydroxyproline กับสารละลาย NaOH ในสารละลาย 0.1 M KNO_3 ในน้ำ ณ อุณหภูมิ 25 °C ภายใต้ความเข้มข้นเริ่มต้นของลิแกนด์และกรดไฮโดรคลอริก (L:H) ที่แตกต่างกัน

(a) 0.0 M : 3.64×10^{-3} M,

(b) 1.90×10^{-3} M : 3.43×10^{-3} M,

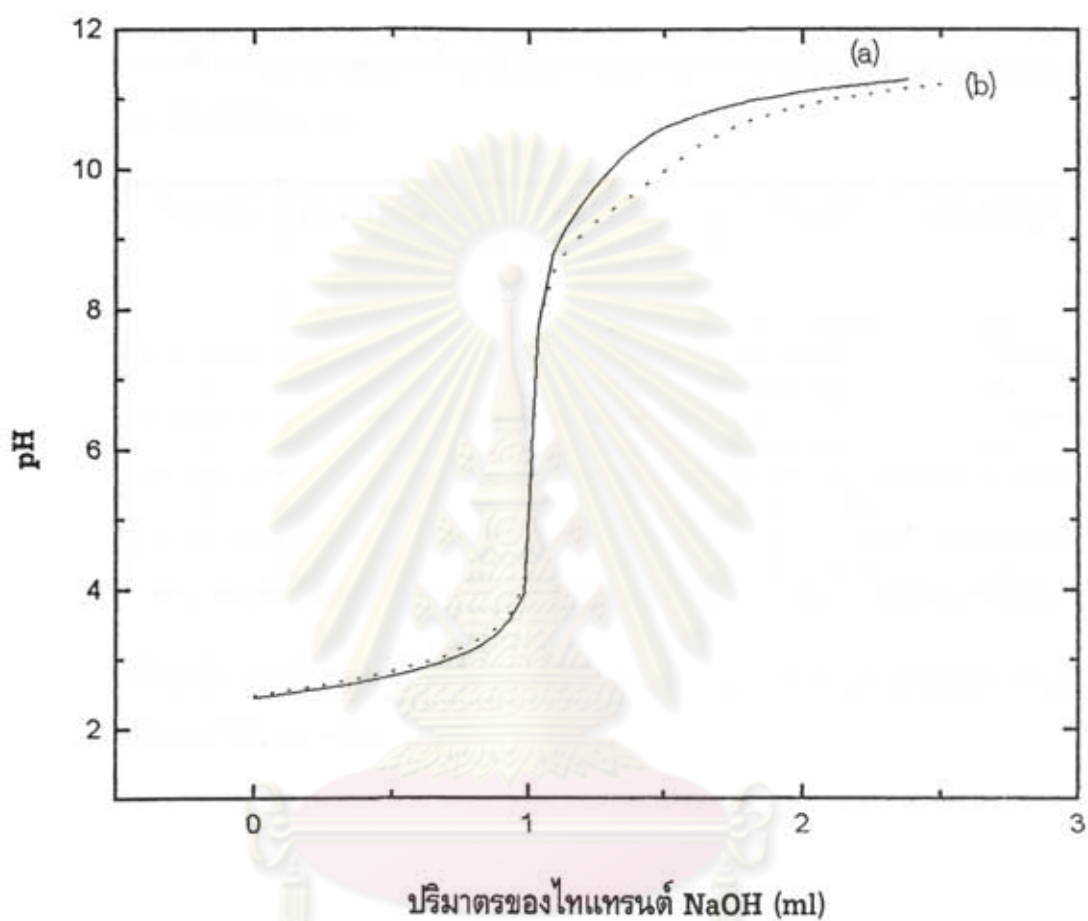
(c) 3.72×10^{-3} M : 3.37×10^{-3} M.



รูปที่ 4.2 แสดงไทเทรชันเคอร์ระหว่างสารละลาย L-pipecolic acid กับสารละลาย NaOH ในสารละลาย 0.1 M KNO_3 ในน้ำ ณ อุณหภูมิ 25 °C ภายใต้ความเข้มข้นเริ่มต้นของลิแกนด์และกรดไฮโดรคลอริก (L:H) ที่แตกต่างกัน

(a) $2.87 \times 10^{-3} \text{ M} : 3.37 \times 10^{-3} \text{ M}$

(b) $5.53 \times 10^{-3} \text{ M} : 3.25 \times 10^{-3} \text{ M}$



รูปที่ 4.3 แสดงไทเทรชันเคอร์ฟระหว่างสารละลาย L-2-(t-butyl)glycine กับสารละลาย NaOH ในสารละลาย 0.1 M KNO_3 ในน้ำ ณ อุณหภูมิ 25 °C ภายใต้ความเข้มข้นเริ่มต้นของลิแกนด์และกรดไฮโดรคลอริก (L:H) ที่แตกต่างกัน

(a) $9.29 \times 10^{-4} \text{ M} : 3.37 \times 10^{-3} \text{ M}$

(b) $1.79 \times 10^{-3} \text{ M} : 3.25 \times 10^{-3} \text{ M}$

4.2 การทดลองในระบบสารละลายเมทานอล

การทดลองโดยวิธีโพเทนซีโอเมตริกไทเทรชันของสารประกอบ N-t-Boc-L-3-(2-naphthyl)alanine
 ณ อุณหภูมิ 298 °K ได้แสดงไว้ในตารางที่ 4.6

ตารางที่ 4.6 แสดงช่วงของการไทเทรชันของสารประกอบ N-t-Boc-L-3-(2-naphthyl)alanine
 ณ อุณหภูมิ 298 °K

ไทเทรชัน	ความเข้มข้นตั้งต้น (mM)		ช่วง pH	จำนวนข้อมูล
	Ligand	HCl		
1	-	0.549	3.71 - 12.94	48
2	0.724	0.242	6.46 - 12.33	55
3	1.434	0.240	3.84 - 12.79	84
4	1.449	-	6.42 - 12.93	79
5	2.842	-	6.45 - 12.23	123

การทดลองโดยวิธีโพเทนซีโอเมตริกไทเทรชันของสารประกอบ N-t-Boc-L-homophenylalanine ณ อุณหภูมิ
 298 °K ได้แสดงไว้ในตารางที่ 4.7

ตารางที่ 4.7 แสดงช่วงของการไทเทรชันของสารประกอบ N-t-Boc-L-homophenylalanine
 ณ อุณหภูมิ 298 °K

ไทเทรชัน	ความเข้มข้นตั้งต้น (mM)		ช่วง pH	จำนวนข้อมูล
	Ligand	HCl		
1	0.586	-	7.21 - 13.51	50
2	0.586	0.277	4.33 - 13.50	60
3	1.160	-	7.05 - 12.92	55

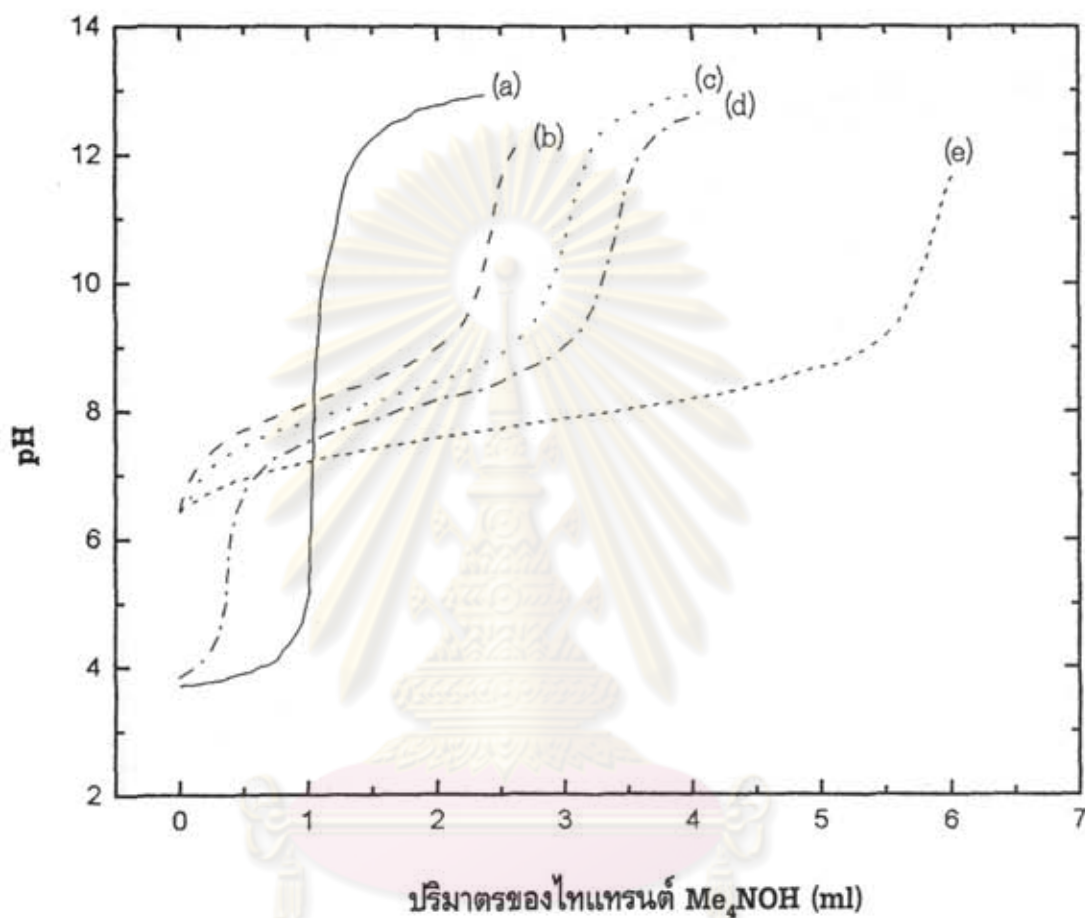
การทดลองโดยวิธีโพเทนซีโอเมตริกไทเทรชันของสารประกอบ pyrrole-2-carboxylic acid ณ อุณหภูมิ
 298 °K ได้แสดงไว้ในตารางที่ 4.8

ตารางที่ 4.8 แสดงช่วงของการไทเทรชันของสารประกอบ pyrrole-2-carboxylic acid ณ อุณหภูมิ 298 °K

ไทเทรชัน	ความเข้มข้นตั้งต้น (mM)		ช่วง pH	จำนวนข้อมูล
	Ligand	HCl		
1	0.975	0.117	3.71 - 12.51	78
2	1.923	0.192	3.44 - 12.49	114
3	2.868	0.115	3.85 - 12.53	160

ไทเทรชันเคอร์브ของสารประกอบ N-t-Boc-L-3-(2-naphthyl)alanine , N-t-Boc-L-homophenyl-amine และ pyrrole-2-carboxylic acid ในสารละลายเมทานอล 0.01 M Me₄NCl ที่ความเข้มข้นต่าง ๆ ณ อุณหภูมิ 25 °C (298 °K) ได้แสดงไว้ในรูปที่ 4.4, 4.5 และ 4.6 ตามลำดับ

ศูนย์วิทยทรัพยากร
จุฬาลงกรณ์มหาวิทยาลัย



รูปที่ 4.4 แสดงไทเทรชันเคอร์ฟระหว่างสารละลาย N-t-Boc-L-3(2-naphthyl)alanine กับสารละลาย $0.025 \text{ M Me}_4\text{NOH}$ ในสารละลาย $0.01 \text{ M Me}_4\text{NOH}$ ใน MeOH ณ อุณหภูมิ 25°C ภายใต้ความเข้มข้นเริ่มต้นของลิแกนด์และกรดไฮโดรคลอริก (L:H) ที่แตกต่างกัน

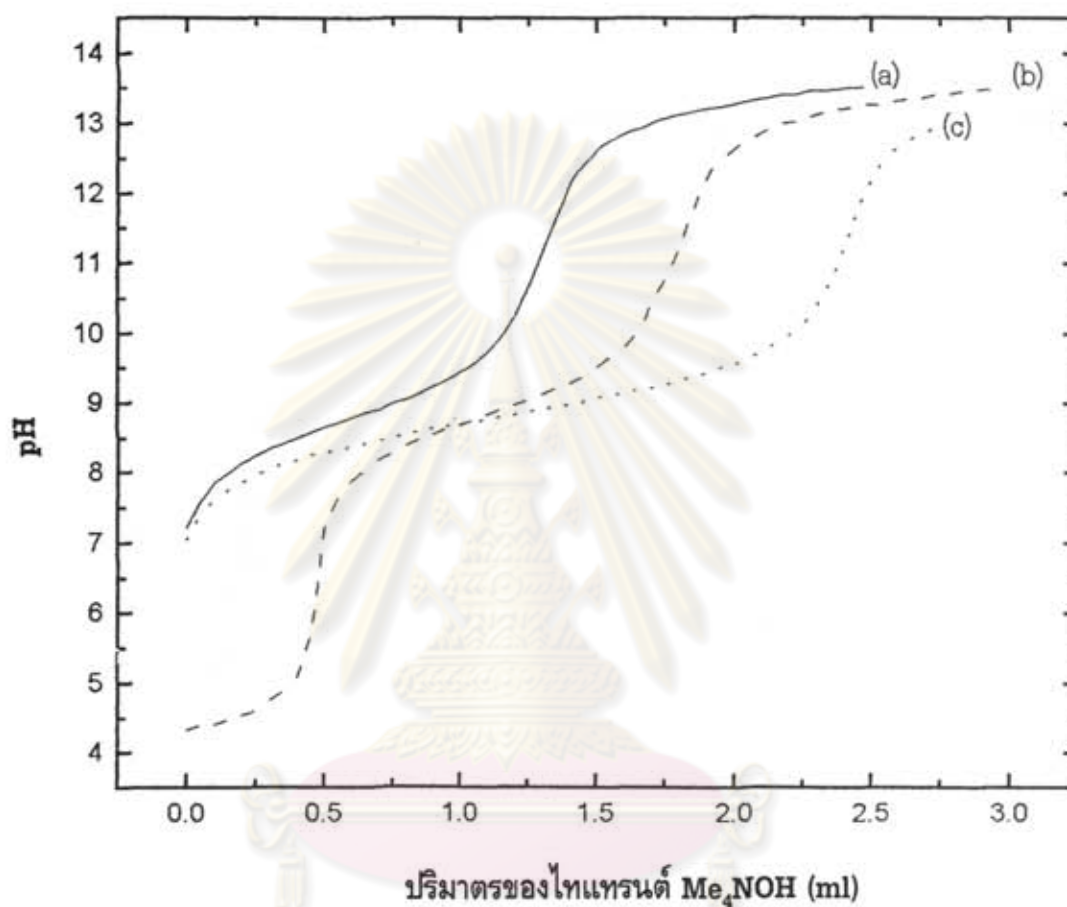
(a) 0.0 M : $5.49 \times 10^{-4} \text{ M}$,

(b) $7.24 \times 10^{-4} \text{ M}$: $2.42 \times 10^{-4} \text{ M}$,

(c) $1.43 \times 10^{-3} \text{ M}$: $2.40 \times 10^{-4} \text{ M}$,

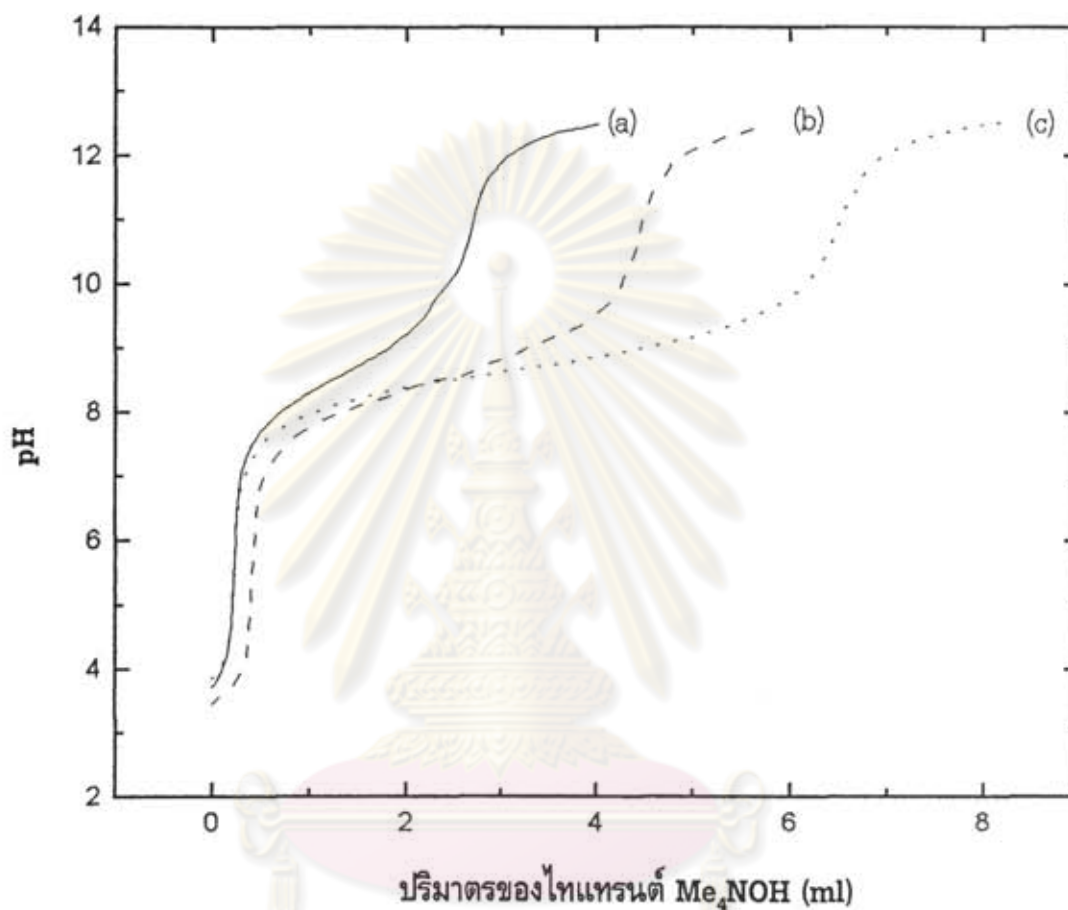
(d) $1.44 \times 10^{-3} \text{ M}$: 0.0 M ,

(e) $2.84 \times 10^{-3} \text{ M}$: 0.0 M .



รูปที่ 4.5 แสดงไทเทรชันเคอร์ฟระหว่างสารละลาย N-t-Boc-L-homophenylalanine กับสารละลาย 0.025 M Me_4NOH ในสารละลาย 0.01 M Me_4NOH ใน MeOH ณ อุณหภูมิ 25 °C ภายใต้ความเข้มข้นเริ่มต้นของลิแกนด์และกรดไฮโดรคลอริก (L:H) ที่แตกต่างกัน

- (a) 5.86×10^{-4} M : 0.0 M,
- (b) 5.86×10^{-4} M : 2.77×10^{-4} M,
- (c) 1.16×10^{-3} M : 0.0 M.



รูปที่ 4.6 แสดงไทเทรชันเคอร์ฟระหว่างสารละลาย pyrrole-2-carboxylic acid กับสารละลาย 0.025 M Me_4NOH ในสารละลาย 0.01 M Me_4NOH ใน MeOH ณ อุณหภูมิ 25 °C ภายใต้ความเข้มข้นเริ่มต้นของลิแกนด์และกรดไฮโดรคลอริก (L:H) ที่แตกต่างกัน

(a) 9.75×10^{-4} M : 1.17×10^{-4} M,

(b) 1.92×10^{-4} M : 1.92×10^{-4} M,

(c) 2.87×10^{-3} M : 1.15×10^{-4} M.

บทที่ 5

ผลการวิจัยและการอภิปรายผล

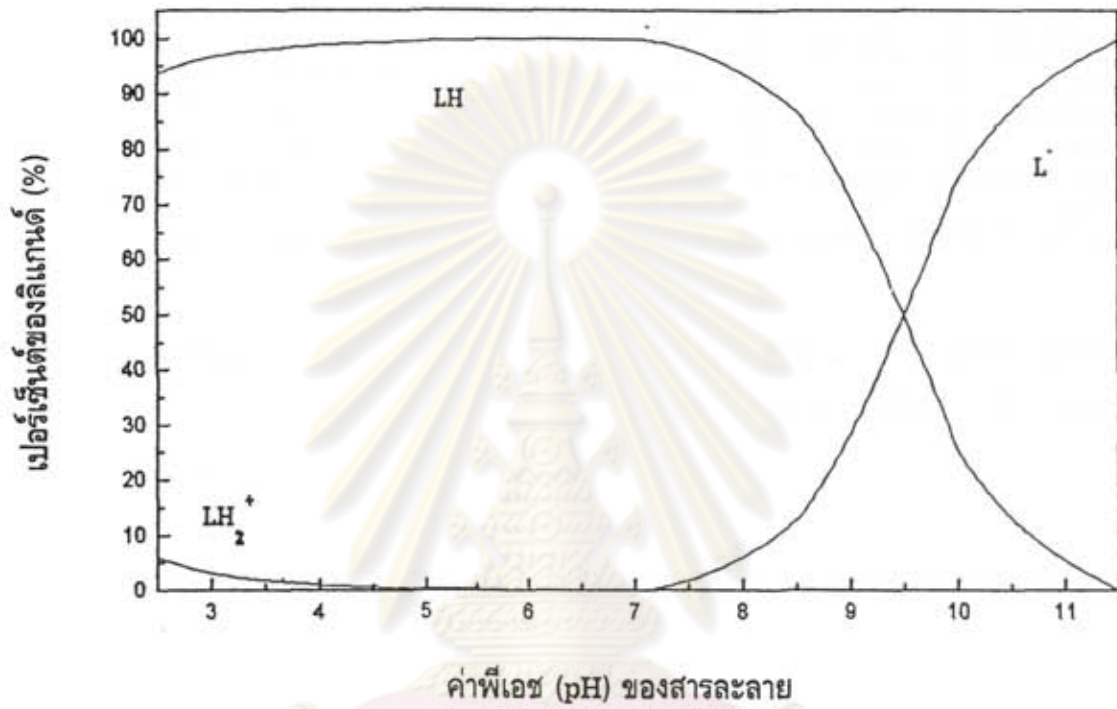
ผลการวิจัยเพื่อหาค่าคงที่ของการเกิดสมดุขของสารประกอบ L-4-Hydroxyproline ในสารละลาย 0.1 M KNO₃ ณ.ที่อุณหภูมิต่าง ๆ ที่ได้จากการประเมินผลโดยโปรแกรม Superquad ได้แสดงไว้ในตารางที่ 5.1

ตารางที่ 5.1 แสดงค่าคงที่ของการเกิดสมดุขของสารประกอบ L-4-Hydroxyproline ค่าคงที่ของการแตกตัวของน้ำและ ค่า E^o ในสารละลาย 0.1 M KNO₃ ณ.ที่อุณหภูมิต่าง ๆ

อุณหภูมิ (° K)	log K ^{LH}	log K ^{LH₂⁺}	log K _w	E ^o (mv)
293	9.72 ± 0.005	1.78 ± 0.03	-13.99 ± 0.02	391 ± 0.7
298	9.57 ± 0.01	1.36 ± 0.05	-13.82 ± 0.002	400 ± 0.1
303	9.47 ± 0.005	1.90 ± 0.02	-13.62 ± 0.01	408 ± 0.5

เนื่องจากค่าคงที่ของการเกิดสมดุขของสารประกอบ L-4-Hydroxyproline ในสารละลาย 0.1 M KNO₃ ณ.ที่อุณหภูมิ 298 ° K สอดคล้องกับการกระจายตัวโครงสร้างของสารประกอบ L-4-Hydroxyproline ภายใต้การเปลี่ยนแปลง pH สำหรับการกระจายตัวโครงสร้างของสารประกอบ L-4-Hydroxyproline ที่มีความเข้มข้น 1.9 X 10⁻³ M ได้แสดงไว้ในรูปที่ 5.1

ค่าคงที่ของการเกิดสมดุขของสารประกอบ L-4-Hydroxyproline ในสารละลาย 0.1 M KNO₃ ณ. ที่อุณหภูมิต่างกันสามอุณหภูมิ ภายใต้การประมาณค่าว่าค่าคงที่ของการเกิดสมดุขแบบความเข้มข้นเป็นค่าใกล้เคียงกับค่าคงที่ของการเกิดสมดุขแบบเทอร์โมไดนามิกส์ ดังนั้นทำให้สามารถประเมินเพื่อหาค่าทางเทอร์โมไดนามิกส์ได้ซึ่งค่าเหล่านี้คือ ค่าเอนทัลปี (enthalpy, ΔH), ค่าพลังงานอิสระ (free energy, ΔG) และ ค่าเอนโทรปี (entropy, ΔS) ที่อุณหภูมิ 298 ° K ดังแสดงในตารางที่ 5.2



รูปที่ 5.1 แสดงการกระจายตัวของสปีชีส์ต่าง ๆ ของสารประกอบ L-4-hydroxyproline ที่เกิดขึ้นในสารละลาย 0.1 M KNO_3 ณ อุณหภูมิ 25 °C โดยมีความเข้มข้นของสารประกอบลิแกนด์ 1.9×10^{-3} M

จุฬาลงกรณ์มหาวิทยาลัย

ตารางที่ 5.2 แสดงผลการคำนวณค่าทางเทอร์โมไดนามิกส์สำหรับปฏิกิริยาที่เกิดขึ้น ณ อุณหภูมิ 298 °K

ปฏิกิริยา	ΔH° (kJ mol ⁻¹)	ΔG° (kJ mol ⁻¹)	ΔS° (JK ⁻¹ mol ⁻¹)
$L^- + H^+ \rightleftharpoons LH$	- 47.6	- 54.6	23.5
$LH + H^+ \rightleftharpoons LH_2^+$	20.4	- 7.8	94.5
$H_2O \rightleftharpoons H^+ + OH^-$	62.9	78.8	- 53.3

สำหรับค่าคงที่ของการเกิดสมดุขของสารประกอบ L-pipecolic acid และ L-2-(t-butyl)glycine ในสารละลาย 0.1 M KNO₃ ณ. ที่อุณหภูมิ 298 °K ที่ได้จากการประเมินผลโดยโปรแกรม Superquad ได้แสดงไว้ในตารางที่ 5.3

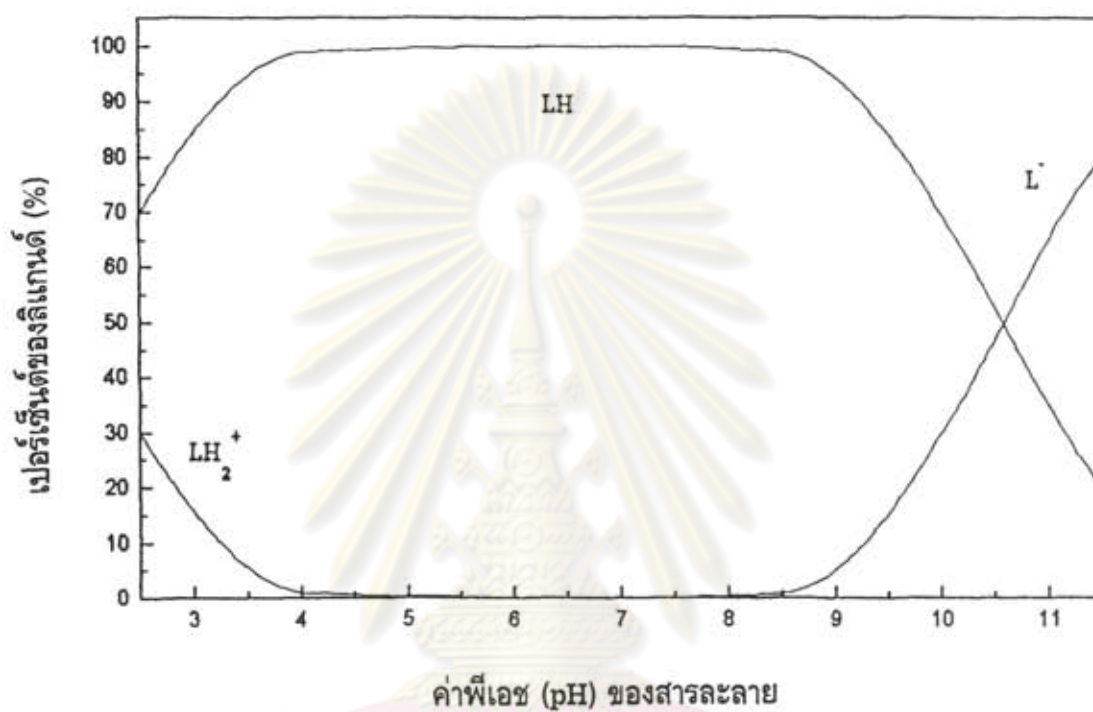
ตารางที่ 5.3 แสดงค่าคงที่ของการเกิดสมดุขของสารประกอบ L-pipecolic acid และ L-2-(t-butyl)glycine ในสารละลาย 0.1 M KNO₃ ณ. ที่อุณหภูมิ 298 °K

สารประกอบลิแกนด์	$\log K^{LH}$	$\log K^{LH_2^+}$
L-pipecolic acid	10.65 ± 0.003	2.23 ± 0.01
L-2-(t-butyl)glycine	9.46 ± 0.01	2.43 ± 0.05

สำหรับค่าคงที่การแตกตัวของน้ำในสารละลาย 0.1 M KNO₃ ณ. ที่อุณหภูมิ 298 °K ที่ได้จากการประเมินผลโดยโปรแกรม Superquad มีค่าเท่ากับ $\log K_w = -13.85$ เป็นค่าที่ใกล้เคียงกับค่าในงานวิจัย (16) และ (17)

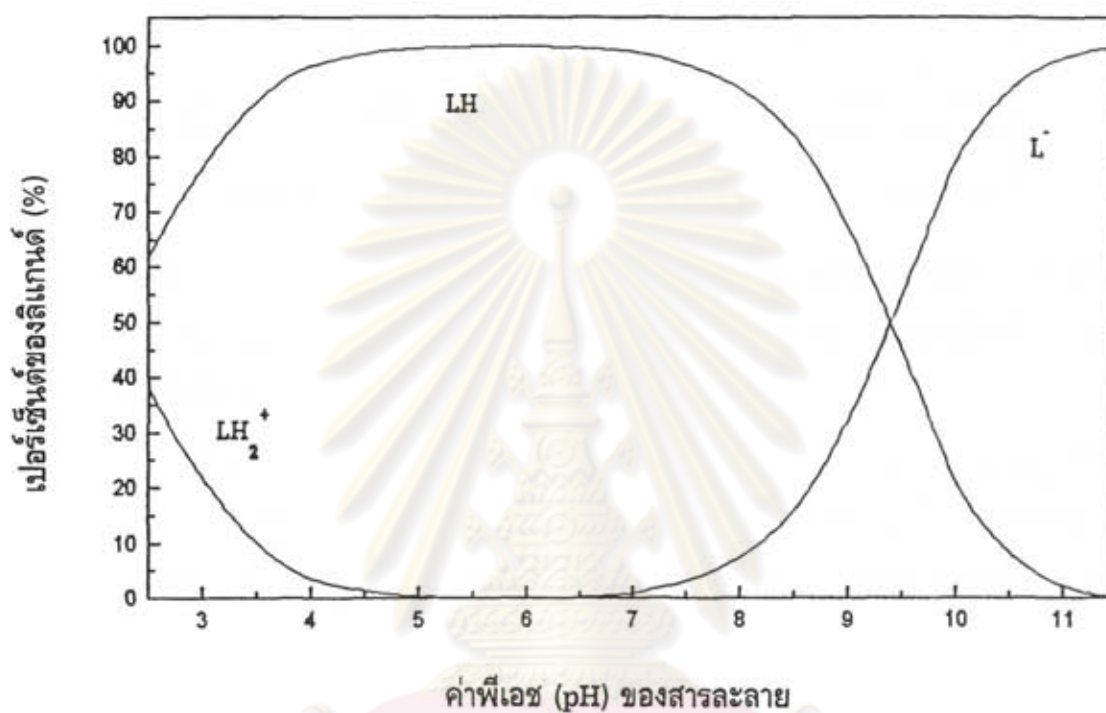
การกระจายตัวโครงสร้างของสารประกอบ L-pipecolic acid ที่มีความเข้มข้น 2.87×10^{-3} M ภายใต้การเปลี่ยนแปลง pH ได้แสดงไว้ในรูปที่ 5.2 และการกระจายตัวโครงสร้างของสารประกอบ L-2-(t-butyl)glycine ที่มีความเข้มข้น 1.80×10^{-3} M ภายใต้การเปลี่ยนแปลง pH ได้แสดงไว้ในรูปที่ 5.3

ค่าคงที่ของการเกิดสมดุขของสารประกอบ N-t-Boc-L-3-(2-naphthyl)alanine, N-t-Boc-L-homophenylalanine และ pyrrole-2-carboxylic acid ในสารละลายเมทานอล 0.01 M Me₄NCl ณ. ที่อุณหภูมิ 298 °K คำนวณโดยโปรแกรม Superquad ได้แสดงไว้ในตารางที่ 5.4



รูปที่ 5.2 แสดงการกระจายตัวของสปีชีส์ต่าง ๆ ของสารประกอบ L-pipecolic acid ที่เกิดขึ้นในสารละลาย 0.1 M KNO₃ ณ อุณหภูมิ 25 °C โดยมีความเข้มข้นของสารประกอบลิแกนด์ 2.87×10^{-3} M

จุฬาลงกรณ์มหาวิทยาลัย



รูปที่ 5.3 แสดงการกระจายตัวของสปีชีส์ต่าง ๆ ของสารประกอบ L-2-(t-butyl)glycine ที่เกิดขึ้นในสารละลาย 0.1 M KNO_3 ณ อุณหภูมิ 25 °C โดยมีความเข้มข้นของสารประกอบลิแกนด์ 1.80×10^{-3} M

จุฬาลงกรณ์มหาวิทยาลัย

ตารางที่ 5.4 แสดงค่าคงที่ของการเกิดสมดุลของสาร N-t-Boc-L-3-(2-naphthyl)alanine, N-t-Boc-L-homophenylalanine และ pyrrole-2-carboxylic acid ในสารละลายเมทานอล 0.01 M Me₄NCl ณ. ที่อุณหภูมิ 298 ° K

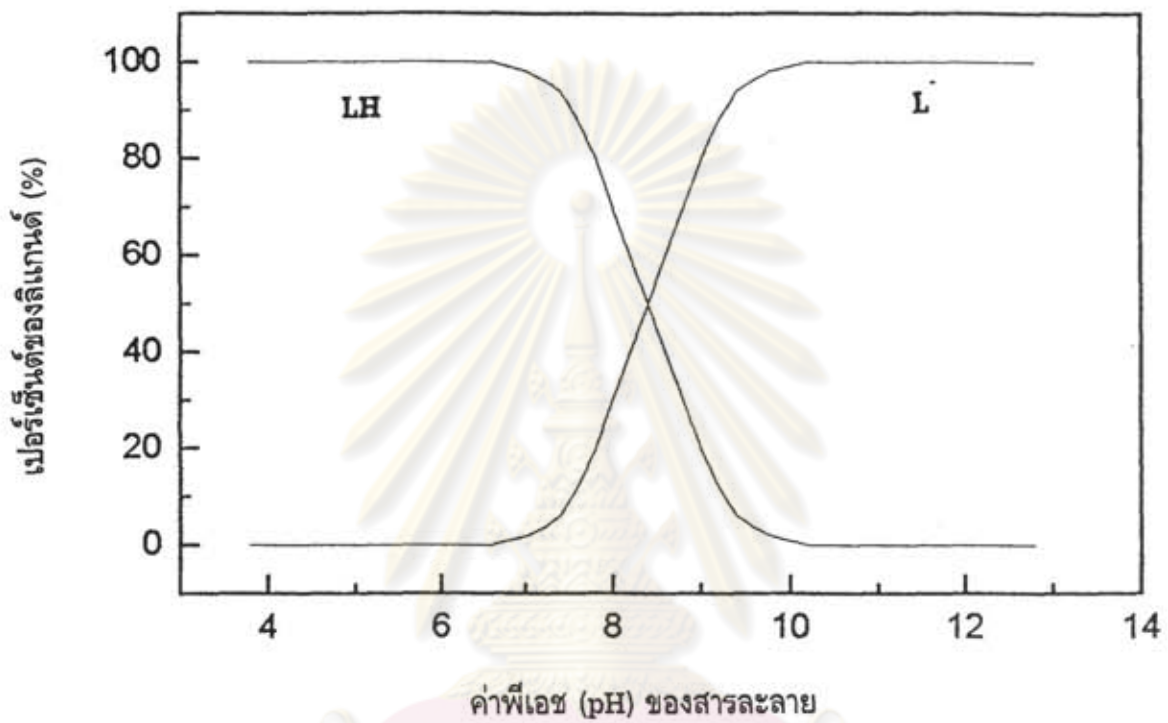
สารประกอบลิแกนด์	log K ^{LH}	log K ^{LH₂⁺}
N-t-Boc-L-3-(2-naphthyl)alanine	8.00 ± 0.02	-
N-t-Boc-L-homophenylalanine	8.83 ± 0.01	4.12 ± 0.05
pyrrole-2-carboxylic acid	8.78 ± 0.01	-

ค่าคงที่ของการแตกตัวของเมทานอลในสารละลาย 0.01 M Me₄NCl ณ. ที่อุณหภูมิ 298 ° K มีค่าลอการิทึมเท่ากับ $\log K_{\text{MeOH}} = -16.22$ เป็นค่าที่ใกล้เคียงกับค่าการแตกตัวของเมทานอลบริสุทธิ์ ณ. ที่อุณหภูมิ 298 ° K ซึ่งมีค่าเท่ากับ $\log K_{\text{MeOH}} = -16.70$ (18)

การกระจายตัวของสปีชีส์ต่าง ๆ ของสารประกอบ N-t-Boc-L-3-(2-naphthyl)alanine ที่เกิดขึ้นในสารละลาย 0.01 M Me₄NCl ในเมทานอล ณ. อุณหภูมิ 25 ° C ได้แสดงในรูปที่ 5.4 สปีชีส์ที่เกิดขึ้นคือรูปแบบที่ไม่แตกตัว (LH) ซึ่งปรากฏอยู่ในสารละลายที่ pH น้อยกว่า 9.5 และรูปแบบที่แตกตัว (L⁻) พบว่าอยู่ในสารละลายที่ pH มากกว่า 7.0 โดยที่ pH ประมาณ 8.8 สามารถพบสปีชีส์ทั้งสองในสัดส่วนที่เท่ากัน

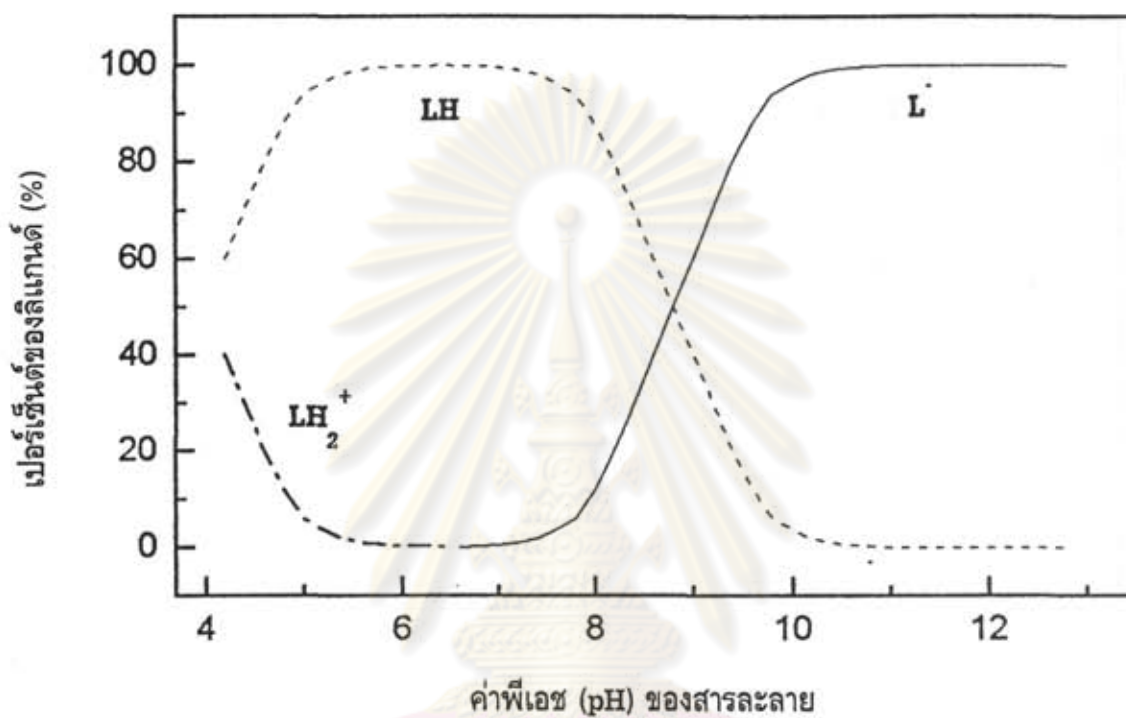
สปีชีส์ต่าง ๆ ของสารประกอบ N-t-Boc-L-homophenylalanine ในสารละลาย 0.01 M Me₄NCl ในเมทานอล ณ. อุณหภูมิ 25 ° C พบว่าเกิดสปีชีส์ L⁻, LH และ LH₂⁺ ดังแสดงในรูปที่ 5.5 โดยที่สปีชีส์ LH₂⁺ เกิดขึ้นในสารละลายที่มี pH ต่ำกว่า 5.5 ส่วนสปีชีส์ LH มีจำนวนสูงสุดระหว่าง pH 5.5 - 7.5 อย่างไรก็ตาม ณ. ที่ pH มากกว่า 10 พบว่าเกิดสปีชีส์ L⁻ เพียงอย่างเดียว

สำหรับการกระจายตัวของสปีชีส์ต่าง ๆ ของสารประกอบ pyrrole-2-carboxylic acid ที่เกิดขึ้นในสารละลาย 0.01 M Me₄NCl ในเมทานอล ณ. อุณหภูมิ 25 ° C ได้แสดงในรูปที่ 5.6 สรุปได้ว่าไม่มีโปรตอนเกาะติดโมเลกุลของสารประกอบ pyrrole-2-carboxylic acid โดยที่โปรตอนที่เป็นครดเท่านั้นที่สามารถแตกตัวออกจากโมเลกุลได้อย่างสมบูรณ์ที่ pH มากกว่า 10.0 ซึ่งนับว่าสารประกอบ pyrrole-2-carboxylic acid เป็นกรดที่อ่อนมาก



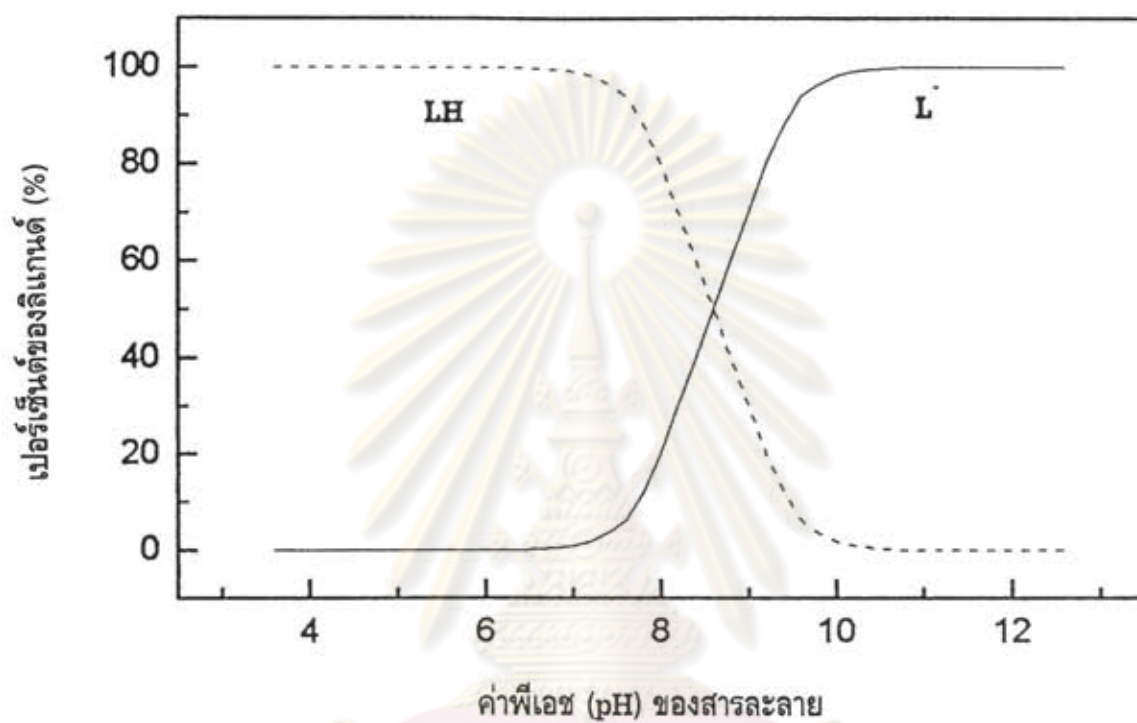
รูปที่ 5.4 แสดงการกระจายตัวของสปีชีส์ต่าง ๆ ของสารประกอบ N-t-Boc-L-3-(2-naphthyl)alanine ที่เกิดขึ้นในสารละลาย 0.01 M Me_4NCl ใน MeOH ณ อุณหภูมิ 25 °C โดยมีความเข้มข้นของสารประกอบลิแกนด์ 1.423×10^{-3} M

จุฬาลงกรณ์มหาวิทยาลัย



รูปที่ 5.5 แสดงการกระจายตัวของสปีชีส์ต่าง ๆ ของสารประกอบ N-t-Boc-L-homophenylalanine ที่เกิดขึ้นในสารละลาย 0.01 M Me₄NCl ใน MeOH ณ อุณหภูมิ 25 °C โดยมีความเข้มข้นของสารประกอบลิแกนด์ 5.86×10^{-4} M

จุฬาลงกรณ์มหาวิทยาลัย



รูปที่ 5.6 แสดงการกระจายตัวของสปีชีส์ต่าง ๆ ของสารประกอบ pyrrole-2-carboxylic ที่เกิดขึ้นในสารละลาย 0.01 M Me_4NCl ใน MeOH ณ อุณหภูมิ 25 °C โดยมีความเข้มข้นของสารประกอบลิแกนด์ 5.86×10^{-4} M

จุฬาลงกรณ์มหาวิทยาลัย

บทที่ 6 ข้อสรุป

การวิจัยเพื่อหาค่าคงที่ของการเกิดสมดุลของสารประกอบโนเวลอะมิโนแอซิดจากการทดสอบการละลายของสารประกอบโนเวลอะมิโนแอซิดจำนวน 6 สารประกอบ จึงนำไปสู่การทดลองระบบสารละลายน้ำและสารละลายเมทานอลดังนี้

การหาค่าคงที่ของการเกิดสมดุลของสารประกอบ L-4-hydroxyproline, L-pipecolic acid และ L-2-(t-butyl)glycine ทดลองในสารละลาย 0.1 M KNO_3 ณ. ที่อุณหภูมิ 298 ° K ส่วนการหาค่าคงที่ของการเกิดสมดุลของสารประกอบ N-t-Boc-L-3-(2-naphthyl)alanine, N-t-Boc-L-homophenylalanine และ pyrrole-2-carboxylic acid ทดลองในสารละลายเมทานอล 0.01 M Me_4NCl ณ. ที่อุณหภูมิ 298 ° K ซึ่งค่าคงที่ของการเกิดสมดุลของสารประกอบดังกล่าวสรุปไว้ในตารางที่ 6.1 และ 6.2

ตารางที่ 6.1 แสดงค่าคงที่ของการเกิดสมดุลของสารประกอบโนเวลอะมิโนแอซิดในสารละลาย 0.1 M KNO_3 ณ. ที่อุณหภูมิ 298 ° K

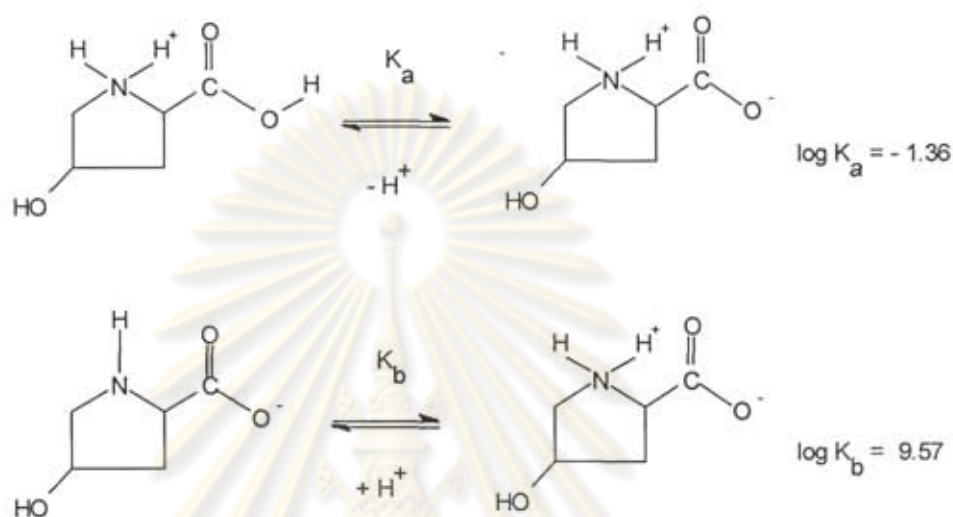
สารประกอบลิแกนด์	$\log K^{\text{LH}}$	$\log K^{\text{LH}_2^+}$
L-4-hydroxyproline	9.57 ± 0.01	1.36 ± 0.05
L-pipecolic acid	10.65 ± 0.003	2.23 ± 0.01
L-2-(t-butyl)glycine	9.46 ± 0.01	2.43 ± 0.05

ตารางที่ 6.2 แสดงค่าคงที่ของการเกิดสมดุลของสารประกอบโนเวลอะมิโนแอซิดในสารละลายเมทานอล 0.01 M Me_4NCl ณ. ที่อุณหภูมิ 298 ° K

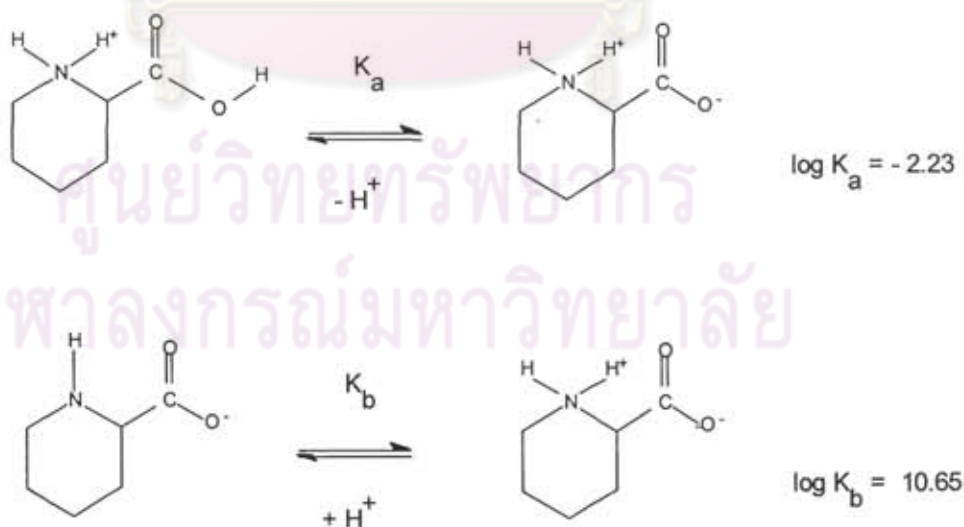
สารประกอบลิแกนด์	$\log K^{\text{LH}}$	$\log K^{\text{LH}_2^+}$
N-t-Boc-L-3-(2-naphthyl)alanine	8.00 ± 0.02	-
N-t-Boc-L-homophenylalanine	8.83 ± 0.01	4.12 ± 0.05
pyrrole-2-carboxylic acid	8.78 ± 0.01	-

ค่าคงที่ของการเกิดสมดุลการรับ-จ่ายโปรตอนของสารประกอบ L-4-hydroxyproline, L-pipecolic acid และ L-2-(t-butyl)glycine ดังแสดงในตารางที่ 6.1 ประกอบด้วยค่าคงที่สมดุลจำนวนสองค่าซึ่งสอดคล้อง

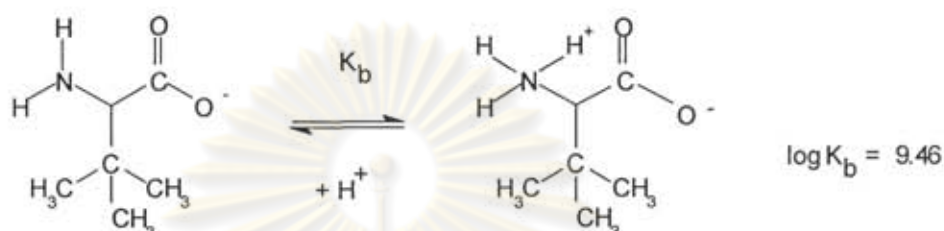
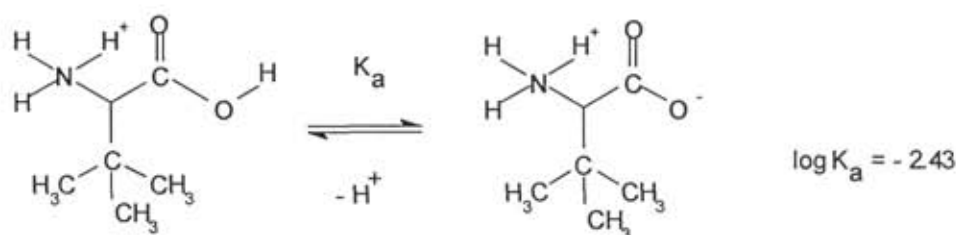
กับการเกิดโครงสร้างแบบสวิตเตอร์ไอออนในสารละลายที่มีน้ำเป็นตัวทำละลาย ซึ่งเป็นพฤติกรรมเช่นเดียวกับสารประกอบอะมิโนแอซิดที่พบในธรรมชาติหรือระบบสิ่งมีชีวิต โดยสามารถอธิบายการเกิดปฏิกิริยาการรับ-จ่ายโปรตอนของแต่ละสารประกอบดังแสดงในรูปที่ 6.1, 6.2 และ 6.3



รูปที่ 6.1 แสดงปฏิกิริยาการรับ-จ่ายโปรตอนของสารประกอบ L-4-hydroxyproline ซึ่งสอดคล้องกับค่าคงที่สมดุลดังแสดงในตารางที่ 6.1

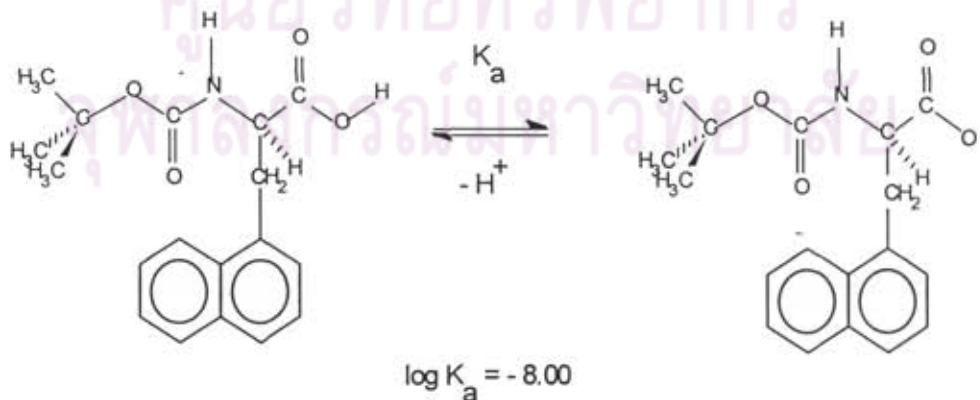


รูปที่ 6.2 แสดงปฏิกิริยาการรับ-จ่ายโปรตอนของสารประกอบ L-pipecolic acid ซึ่งสอดคล้องกับค่าคงที่สมดุลดังแสดงในตารางที่ 6.1

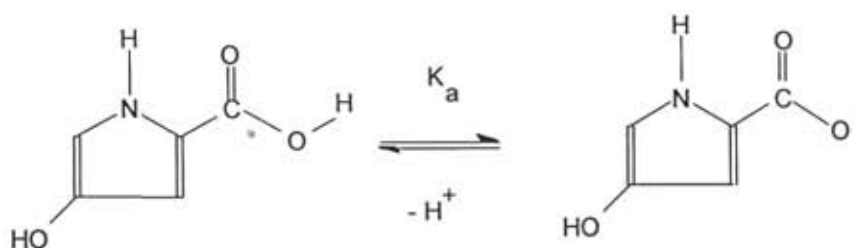


รูปที่ 6.3 แสดงปฏิกิริยาการรับ-จ่ายโปรตอนของสารประกอบ L-2-(t-butyl)glycine ซึ่งสอดคล้องกับค่าคงที่สมดุลดังแสดงในตารางที่ 6.1

ค่าคงที่ของการเกิดสมดุลในตารางที่ 6.2 แสดงการจ่ายโปรตอนของสารประกอบ N-t-Boc-L-3-(2-naphthyl)alanine และ pyrrole-2-carboxylic acid โดยสามารถอธิบายการเกิดปฏิกิริยาการจ่ายโปรตอนดังแสดงในรูปที่ 6.4 และ 6.5 ตามลำดับ ซึ่งเป็นค่าคงที่สมดุลเพียงค่าเดียวที่สอดคล้องกับการสูญเสียโปรตอนที่เหมาะสม คาร์บอกซิลิก โดยไม่สามารถเกิดเป็นโครงสร้างแบบสวิตเตอร์ไอออน ซึ่งแตกต่างไปจากสารละลายที่มีน้ำเป็นตัวทำละลาย ส่วนค่าคงที่ของการเกิดสมดุลในตารางที่ 6.2 แสดงการรับ-จ่ายโปรตอนของสารประกอบ N-t-Boc-L-homophenylalanine โดยสามารถอธิบายการเกิดปฏิกิริยาการรับ-จ่ายโปรตอนดังแสดงในรูปที่ 6.6

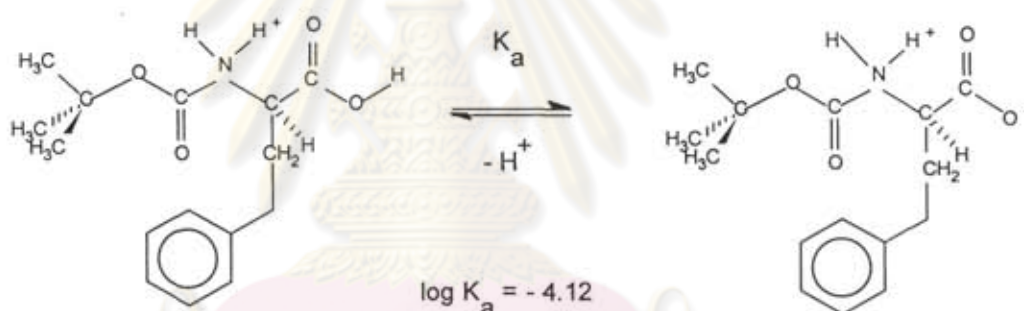


รูปที่ 6.4 แสดงปฏิกิริยาการจ่ายโปรตอนของสารประกอบ N-t-Boc-L-3-(2-naphthyl)alanine ซึ่งสอดคล้องกับค่าคงที่สมดุลดังแสดงในตารางที่ 6.2

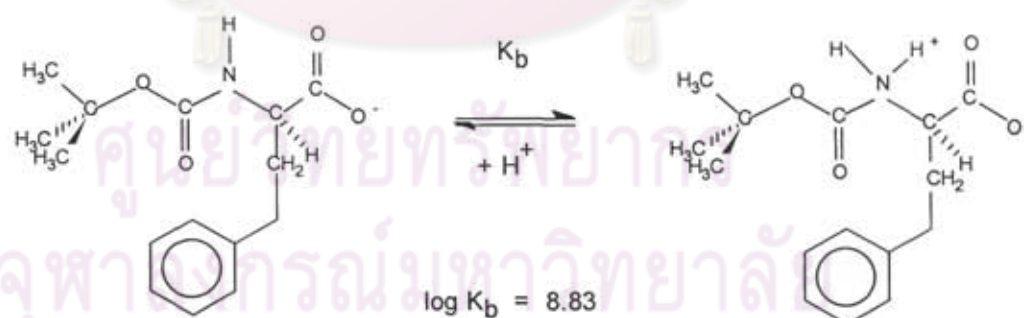


$$\log K_a = -8.78$$

รูปที่ 6.5 แสดงปฏิกิริยาการจ่ายโปรตอนของสารประกอบ pyrrole-2-carboxylic acid ซึ่งสอดคล้องกับค่าคงที่สมดุลดังแสดงในตารางที่ 6.2



$$\log K_a = -4.12$$



$$\log K_b = 8.83$$

รูปที่ 6.6 แสดงปฏิกิริยาการจ่ายโปรตอนของสารประกอบ N-t-Boc-L-homophenylalanine ซึ่งสอดคล้องกับค่าคงที่สมดุลดังแสดงในตารางที่ 6.2

สำหรับค่าคงที่การเกิดสมดุลของสารประกอบ L-4-hydroxyproline ในสารละลาย 0.1 M KNO_3 ได้ทำการทดลองภายใต้อุณหภูมิแตกต่างกันสามอุณหภูมิคือ 293, 298 และ 303 °K พบว่าค่า $\log K^{\text{LH}}$ มี

ค่าเท่ากับ 9.72, 9.57 และ 9.47 ตามลำดับ ส่วนค่า $\log K^{LH_2^+}$ มีค่าเท่ากับ 1.78, 1.36 และ 1.90 ตามลำดับ ซึ่งค่าคงที่ของการเกิดสมดุลที่อุณหภูมิแตกต่างกันหลายค่าเหล่านี้สามารถนำไปคำนวณเพื่อหาค่าทางเทอร์โมไดนามิกส์ของการรับ-จ่ายโปรตอนที่อุณหภูมิ 298 °K ดังแสดงในตารางที่ 6.3

ตารางที่ 6.3 แสดงค่าทางเทอร์โมไดนามิกส์สำหรับปฏิกิริยาที่เกิดขึ้น ณ. อุณหภูมิ 298 °K

ปฏิกิริยา	ΔH° (kJ mol ⁻¹)	ΔG° (kJ mol ⁻¹)	ΔS° (JK ⁻¹ mol ⁻¹)
$K^{LH} : L^- + H^+ \rightleftharpoons LH$	- 47.6	- 54.6	23.5
$K^{LH_2^+} : LH + H^+ \rightleftharpoons LH_2^+$	20.4	- 7.8	94.5

ค่าทางเทอร์โมไดนามิกส์ของปฏิกิริยาการเกิดสมดุลของสารประกอบ L-4-hydroxyproline ในสารละลาย 0.1 M KNO₃ ดังแสดงในตารางที่ 6.3 เป็นค่าที่หาได้จากการทดลองโดยวิธีโพเทนชิโอเมตริกไทเทรชัน ซึ่งแสดงค่าการเปลี่ยนแปลงพลังงานอิสระ (ΔG°) ณ. อุณหภูมิ 298 °K เป็นค่าติดลบซึ่งมีความหมายว่าปฏิกิริยาดังกล่าวสามารถเกิดขึ้นได้จริง สำหรับปฏิกิริยารวมตัวของสารประกอบลิแกนด์รูปแบบ L⁻ กับโปรตอนสามารถเกิดขึ้นได้ดีโดยสังเกตได้จากค่าเอนโทรปี (ΔS°) เป็นค่าบวกทั้งคู่ ซึ่งสอดคล้องกับค่าคงที่สมดุลของการรวมตัวระหว่างสารประกอบลิแกนด์รูปแบบ L⁻ กับโปรตอนตัวแรก ($K^{LH} = 3.72 \times 10^9$) และตัวที่สอง ($K^{LH_2^+} = 2.29 \times 10^1$) ซึ่งมีค่าสูงกว่าหนึ่งมาก ๆ ทั้งคู่

สำหรับสปีชีส์ต่าง ๆ ของสารประกอบโนเวลอะมิโนแอซิดที่เกิดขึ้นในสารละลาย 0.1 M KNO₃ และ ในสารละลาย 0.01 M Me₄NCl / MeOH ภายใต้ค่าพีเอชของสารละลายที่แตกต่างกันได้แสดงไว้ในตารางที่ 6.4 และ 6.5 ตามลำดับ

ตารางที่ 6.4 แสดงสปีชีส์ต่าง ๆ ของสารประกอบโนเวลอะมิโนแอซิดที่เกิดขึ้นในสารละลาย 0.1 M KNO₃ ภายใต้ค่าพีเอชของสารละลายที่แตกต่างกัน

สารประกอบลิแกนด์	สปีชีส์ (ช่วงค่าพีเอช : pH)
L-4-hydroxyproline	L ⁻ (pH>7.5), LH และ LH ₂ ⁺ (pH<4.5)
L-pipecolic acid	L ⁻ (pH>8.5), LH และ LH ₂ ⁺ (pH<4.0)
L-2-(t-butyl)glycine	L ⁻ (pH>7.0), LH และ LH ₂ ⁺ (pH<5.0)

ตารางที่ 6.5 แสดงสปีชีส์ต่าง ๆ ของสารประกอบโนเวลอะมิโนแอซิดที่เกิดขึ้นในสารละลาย 0.01 M Me_4NCl / MeOH ภายใต้ค่าพีเอชของสารละลายที่แตกต่างกัน

สารประกอบลิแกนด์	สปีชีส์ (ช่วงค่าพีเอช : pH)
N-t-Boc-L-3-(2-naphthyl)alanine	L^- (pH>7.5) และ LH (pH<9.5)
N-t-Boc-L-homophenylalanine	L^- (pH>8.0), LH (4.0<pH<10.0) และ LH_2^+ (pH<5.5)
pyrrole-2-carboxylic acid	L^- (pH>7.5) และ LH (pH<9.5)

ข้อเสนอแนะสำหรับงานภายหน้า

ข้อเสนอแนะสำหรับงานวิจัยที่ควรทำต่อคือ การหาค่าเทอร์โมไดนามิกส์ของการเกิดสมดุลเคมีของสารประกอบอะมิโนแอซิดที่เหลือทั้งหมด ซึ่งเป็นการหาค่าเทอร์โมไดนามิกส์โดยวิธีโพเทนชิโอเมตริก ไทเทรชัน เช่นเดียวกับการหาค่าของระบบสารประกอบ L-4-hydroxyproline และงานวิจัยภายหน้าที่น่าสนใจเป็นอย่างมากได้แก่ การศึกษาและหาค่าคงที่ของการเกิดสารประกอบเชิงซ้อนระหว่างสารประกอบอะมิโนแอซิดเหล่านี้กับแคทไอออนอื่น ๆ ซึ่งได้แก่ ไอออนของโลหะทรานซิชัน โลหะอัลคาไลน์ อัลคาไลน์เอิร์ธ และแรเอิร์ธ ข้อมูลของการเกิดสารประกอบเชิงซ้อนเหล่านี้สามารถนำไปใช้ประโยชน์ต่อการศึกษาการสกัดโลหะต่าง ๆ ที่เป็นมลพิษออกจากระบบสิ่งแวดล้อม โดยอาศัยคุณสมบัติการเลือกจับแบบเจาะจงของสารประกอบลิแกนด์ที่มีต่อโลหะ และเทคนิคการเคลื่อนที่ของสารผ่านเนื้อเยื่อหรือผ่านระหว่างสารละลายน้ำและสารละลายอื่น ๆ ที่ไม่ใช่ในน้ำ

ศูนย์วิทยทรัพยากร
จุฬาลงกรณ์มหาวิทยาลัย

เอกสารอ้างอิง

1. W.L. Koltun, M. Fried and F.R.N. Gurd, *J. Am. Chem. Soc.*, **82**, 233(1960).
2. P. Feige, D. Mocker, R. Dreyer and R. Nunze, *J. Inorg. Nucl. Chem.*, **35**, 3269(1973).
3. G. Broodes and L.D. Petti, *J. Chem. Soc. Dalton Trans.*, 2106(1975).
4. A. Kaneda and A.E. Martell, *J. Coord.*, **4**, 137(1975).
5. H. Sigel, *Inorg. Chem.*, **14**, 1535(1975).
6. I. Nagypal and A. Gergely, *J. Chem. Soc., Dalton Trans.*, **11**, 1104(1977).
7. W.S. Kittle and B.M. Rode, *Inor. Chim. Acta*, **55**, 21(1981).
8. W.S. Kittle and B.M. Rode, *J. Chem. Soc. Dalton Trans* , **66**, 105(1982).
9. P. Gockel, H. Vahrenkamp and A. D. Zuberbuhler, *Helv. Chi. Acta*, **76**, 511(1993).
10. H.-Z Cai and Th. A. Kaden, *Helv. Chi. Acta*, **76**, 557(1993).
11. T. Gajda, B. Henry and J-J. Delpuech, *J. Chem. Soc. Perkin Trans* , **2**, 157(1994).
12. C. Stumpf, *Outlines of Biochemistry*, 4th ed., Chpt. 4, Wiley and Son, N.Y., 1976.
13. A.H. Holliday, *Principles and applications of metal chelation*, Oxford University Press, Great Britain, 1977.
14. F.R. Hartley, C.Burgess and R. Alcock, *Solution Equilibria*, Ellis Harwood Limited, Great Britain, 1980.
15. P. Gans, A. Sabatini and A. Vacca, *J. Chem. Soc. Dalton Trans* , 1195(1985).
16. V. Ruangpornvisuti , *Bull. Sing. N. I. Chem.*, **18**, 131(1990).
17. V. Ruangpornvisuti, *J.Sci.Soc. Thailand*, **17**, 151(1991).
18. V. Ruangpornvisuti, R.S. Magee, and F. Arnaud-Neu, *J. Sci. Res. Chula. Univ.*, **18(2)**, 89 (1993).

ศูนย์วิทยาศาสตร์
จุฬาลงกรณ์มหาวิทยาลัย

ภาคผนวก

โปรแกรม SUPERQUAD

โปรแกรม SUPERQUAD เป็นโปรแกรมภาษา FORTRAN ดังแสดงรายการโปรแกรมห้างต่อไปนี้



ศูนย์วิทยทรัพยากร
จุฬาลงกรณ์มหาวิทยาลัย

```

PROGRAMME SUPERQUAD
DIMENSION LETTER (18), NAMTYP (3, 10), JTYP (60), KEMIC (4, 12)
1, JCUR (60), JREA (60), IFC (50, 2), JTP (50), NEMFV (50), NKCV (50)
2, JS (18), JPOT (18), KEY (18), NMBEV (50), JCOUL (50), JCOL (60)
3, JNMB (50, 4), JFP (50, 4), KCONS (20, 2), MKC (50, 18), JQR (4, 18)
4, MODEL (2, 75), JCX (2)
DOUBLE PRECISION EMF (800), RES (800), WS (1200), SIGMAE (50, 2)
1, TITRE (600), FREEC (600, 4), VINIT (50), SIG (50), EZERO (50, 2)
2, RTJ (50, 2), TOTMM (50, 4), ADDC (50, 4), PARF (60), PARI (60), SD (60)
3, DX (60), C (60), U (60), B (60, 60), PARAM (60), X (60), RTJC (2)
4, BETA (18), CS (18), CI (18), BETAC (18), POTC (18), BEST (18)
5, PQR (4, 18), SIGMAV (50), CX (4), HX (4), DC (4), DM (4, 4)
DOUBLE PRECISION TOL, ACCM, DLNAM, AL10, ZER, ONE, TWO, TEN
1, DQ, DS, HALF, Q, QC, QUARTR, SIGMA, SS, SSP, TENTH, THREEQ
2, TR, UMIN, VW, YZ, Z, P9, FRACT, EPSMCH, RELAC
COMMON TOL, ACCM, DLNAM, AL10, ZER, ONE, TWO, TEN, NK, NKV, NSP, KVSP, MODE
1, NCONS, NPAR, NE, NTC, NMBE0, MAXIT, IPRIN, JINP, JOUT, IFAIL, JACK
DATA LETTER (1), LETTER (2), LETTER (3), LETTER (4), LETTER (5), LETTER (6)
1, LETTER (7), LETTER (8), LETTER (9), LETTER (10), LETTER (11), LETTER (12)
2, LETTER (13), LETTER (14), LETTER (15), LETTER (16), LETTER (17), LETTER (18)
3 / 'A', 'B', 'C', 'D', 'E', 'F', 'G', 'H', 'I', 'J', 'K', 'L', 'M'
4, 'N', 'O', 'P', 'Q', 'R' /
DATA NAMTYP (1, 1), NAMTYP (1, 2), NAMTYP (1, 3), NAMTYP (1, 4), NAMTYP (1, 5)
1, NAMTYP (1, 6), NAMTYP (1, 7), NAMTYP (1, 8), NAMTYP (1, 9), NAMTYP (1, 10)
2, NAMTYP (2, 1), NAMTYP (2, 2), NAMTYP (2, 3), NAMTYP (2, 4), NAMTYP (2, 5)
3, NAMTYP (2, 6), NAMTYP (2, 7), NAMTYP (2, 8), NAMTYP (2, 9), NAMTYP (2, 10)
4, NAMTYP (3, 1), NAMTYP (3, 2), NAMTYP (3, 3), NAMTYP (3, 4), NAMTYP (3, 5)
5, NAMTYP (3, 6), NAMTYP (3, 7), NAMTYP (3, 8), NAMTYP (3, 9), NAMTYP (3, 10)
6 / 'T', 'O', 'T', ' ', 'M', 'M', 'O', 'L', 'E', 'S', 'A', 'D', 'D', 'E', 'D'
7, ' ', 'C', 'O', 'N', 'C', 'E', 'Z', 'E', 'R', 'S', ' ', ' ', ' ', ' ', ' ', ' ' /
DATA HALF, QUARTR, THREEQ, TENTH, P9
1 / 5.D-01, 2.5D-01, 7.5D-01, 1.D-01, 0.9D00 /
DATA MAXEMF, MAXTP, MAXPC, MAXV, MAXTC, MAXCON, MAXK, MAXCX
1 / 800, 600, 401, 60, 50, 20, 18, 4 /
DATA MAXWS, MAXEL, MAXMOD
1 / 1200, 2, 75 /
JINP=5
JOUT=6
ACCM=1.D-75
C ***** WARNING *****
C * USERS SHOULD SET THE THREE QUANTITIES ABOVE *
C * JINP INPUT CHANNEL NUMBER. JOUT OUTPUT CHANNEL NUMBER. *
C * ACCM THE SMALLEST NUMBER SUCH THAT 10/ACCM DOES NOT OVERFLOW.*
C *****
C
C NON-STANDARD SUBROUTINE TO KILL ERROR MESSAGES CAUSED BY UNDERFLOW
C -----
C CALL ERRSET (208, 0, -1, 1)
ZER=0.D00
ONE=1.D00
TWO=2.D00
TEN=1.D01
EPSMCH=ONE
DO 10 J=1, 50
Q=ONE+EPSMCH/TWO
IF (Q .EQ. ONE) GOTO 20
10 EPSMCH=EPSMCH/TWO
20 RELAC=DSQRT (EPSMCH)
DLNAM=DLOG (ACCM)
TOL=1.D-04
AL10=DLOG (TEN)
30 CALL DINS (KEMIC, TITRE, JTP, NEMFV, NMBEV, VINIT, BEST, JPOT
1, EMF, WS, KCONS, TOTMM, ADDC, EZERO, JNMB, JFP, JQR, SIGMAE
2, SIGMAV, KEY, NAME, JCOUL, IFC, RTJ, LETTER, NAMTYP
3, JCUR, JTYP, JREA, JCOL, RELAC, MAXEMF, MAXTP
4, MAXPC, MAXTC, MAXCON, MAXK, MAXCX, MAXV, MAXWS)
NMODEL=0
C ENTRY POINT FOR NEW MODEL GENERATED BY REJECTION OF -VE BETA
C CHECK IF MODEL GENERATED HAS BEEN PREVIOUSLY REFINED.
C TRYMOD WILL EXIT WITH IND=1 IF THE MODEL IS A NEW ONE OR IND=1
C IF THE MODEL HAS ALREADY BEEN REFINED
40 CALL TRYMOD (IND, NMODEL, MODEL, JCOL, KEY, NK, NKV, NSP
1, NPAR, KVSP, JOUT, MAXV, MAXK, MAXMOD)
GOTO (50, 580), IND
50 JACK=3
C RECOVER PREVIOUS BEST BETAS
DO 70 K=1, NK
IF (KEY (K)) 70, 60, 60
60 BETA (K)=BEST (K)
70 CONTINUE

```



```

CALL REFB (NK, NMBE0, NTC, JNMB, JQR, KEY, MKC, NKCX, MAXCX, MAXK, MAXTC)
GOTO 90
80 MODE=-1
C THE DERIVATIVES OF THE POTENTIAL WITH RESPECT TO VOLUME ARE
C CALCULATED FROM A THEORETICAL TITRATION CURVE OBTAINED USING THE
C REFINED BETS VALUES. THE WEIGHTS ARE RECALCULATED WITH THESE DERIVS.
CALL WCALC (WS, TITRE, FREEC, NMBEV, NEMFV, NKCX, JCOUL, VINIT,
1 JTP, SIGMAV, SIGMAE, IFC, RTJ, JNMB, ADDC, TOTMM, MKC,
2 CI, KEY, PQR, JQR, BETAC, POTC, CX, DC, HX, DM, RTJC, JCX,
3 BETA, JPOT, RELAC, MAXWS, MAXTP, MAXTC, MAXK, MAXCX, MAXEL)
IF (IFAIL .EQ. 8) GOTO 530
90 CALL SNTPS (PARAM, BETA, TOTMM, ADDC, EZERO, JTYP, JCUR, JREA
1, JCOL, KEY, LETTER, MAXV, MAXTC, MAXK, MAXCX, MAXEL)
DO 100 I=1, KVSP
PARF(I)=PARAM(I)
100 PARI(I)=PARAM(I)
C PARI STORES THE INTIAL PARAMETER ESTIMATES, PARF TEMPORARY VALUES
Q=ZER
QC=ONE
NCICL=0
IFAIL=1
IF (IPRIN .GE. 4) WRITE (*, 110)
IF (IPRIN .GE. 4) WRITE (JOUT, 110)
110 FORMAT (1H1)
GOTO 130
C BEGINNING OF MARQUART REFINEMENT, MAIN LOOP
C B AND C WILL FORM THE NORMAL EQUATIONS MATRIX AND GRADIENT VECTOR
120 CALL PTSNS (PARF, BETA, TOTMM, ADDC, EZERO, KEY, JTYP, JCUR, JCOL, JREA
1, LETTER, MAXV, MAXTC, MAXK, MAXCX, MAXEL)
130 DO 140 J=1, NPAR
C(J)=ZER
DO 140 K=J, NPAR
140 B(J, K)=ZER
CALL FUNV (SS, JTP, BETA, JPOT, BETAC, POTC, VINIT, TITRE, TOTMM
1, ADDC, EZERO, RTJ, EMF, WS, RES, PQR, NKCX, MKC, FREEC, CI, CX, HX, DC, DM
2, KEY, SIG, JCOUL, JTYP, JCUR, JCOL, JREA, B, C, JQR, IFC, JNMB, RTJC, JCX
3, NEMFV, NMBEV, RELAC, MAXEMF, MAXWS, MAXTP, MAXV, MAXTC, MAXK, MAXCX
4, MAXEL)
IF (IFAIL .NE. 1) GOTO 530
DO 150 J=1, NPAR
150 U(J)=B(J, J)
C ENTRY POINT FOR SUBSIDIARY LOOP. Q IS THE MARQUART PARAMETER (M.P.)
C AND U STORES THE DIAGONAL ELEMENTS OF THE NORMAL EQUATIONS MATRIX
160 DO 170 J=1, NPAR
DX(J)=C(J)
170 B(J, J)=U(J) * (Q+ONE)
CALL FACT(B, DX, SD, IFAIL, 4, MAXV, NPAR)
IF (IFAIL .EQ. 4) GOTO 530
C DX NOW HOLDS THE PARAMETER SHIFTS. VW WILL BE THE DOT PRODUCT
C BETWEEN SHIFT AND GRADIENT VECTORS. IT SHOULD BE POSITIVE
VW=ZER
DO 180 J=1, NPAR
180 VW=VW+C(J)*DX(J)
IF (VW .GT. ZER) GOTO 190
IFAIL=5
GOTO 530
190 IF (Q .EQ. ZER) GOTO 210
DO 200 J=1, NPAR
X(J)=C(J)
200 B(J, J)=U(J)
CALL FACT(B, X, SD, IFAIL, 4, MAXV, NPAR)
IF (IFAIL .EQ. 4) GOTO 530
210 CALL INVERT(B, SD, MAXV, NPAR)
SIGMA=DSQRT(SS/DBLE(FLOAT(NE-NPAR)))
DO 240 I=1, KVSP
IF (I .GT. NKV) GOTO 220
K=I
GOTO 230
220 J=I-NKV
K=JCOL(J)
230 PARAM(I)=PARF(I) * (DX(K)+ONE)
DX(I)=DX(K)
240 SD(I)=DSQRT(DABS(B(K, K))) * SIGMA
KRASH=1
DQ=ZER
DO 250 J=1, NPAR
250 DQ=DQ+DX(J)*DX(J)*U(J)
DQ=VW+Q*DQ
C DQ IS A PREDICTION OF THE REDUCTION IN THE SUM OF SQUARES
C BASED ON A LINEAR HYPOTHESIS. N.B. WHEN Q=0 DQ=VW

```

```

IF (-DQ .LE. TOL) GOTO 260
IFAIL=3
GOTO 530
260 CALL PTSNS (PARAM, BETA, TOTMM, ADDC, EZERO, KEY, JTYP, JCUR, JCOL, JREA
1, LETTER, MAXV, MAXTC, MAXK, MAXCX, MAXEL)
    JACK=2
    CALL FUNV (SSP, JTP, BETA, JPOT, BETAC, POTC, VINIT, TITRE, TOTMM
1, ADDC, EZERO, RTJ, EMF, WS, RES, PQR, NKCV, MKC, FREEC, CI, CX, HX, DC, DM
2, KEY, SIG, JCOUL, JTYP, JCUR, JCOL, JREA, B, C, JQR, IFC, JNMB, RTJC, JCX
3, NEMFV, NMBEV, RELAC, MAXEMF, MAXWS, MAXTP, MAXV, MAXTC, MAXK, MAXCX
4, MAXEL)
    JACK=1
    IF (IFAIL .EQ. 1) GOTO 310
C THE CALCULATION OF FREE CONCENTRATIONS HAS FAILED, PRESUMABLY
C BECAUSE OF THE PRESENCE OF NEGATIVE BETA(S). THE PARAMETER SHIFTS ARE
C ADJUSTED SO AS TO REDUCE THE OFFENDING PARAMETER BY A FACTOR OF 10
    KRASH=KRASH+1
    IFAIL=1
    FRACT=ONE
    DO 280 K=1, NPAR
    IF (FRACT*DX(K) .GT. (-ONE)) GOTO 280
    FRACT=-P9/DX(K)
    DO 270 J=1, NPAR
270 DX(J)=FRACT*DX(J)
280 CONTINUE
    DO 300 K=1, KVSP
    IF (K .GT. NKV) GOTO 290
    J=K
    GOTO 300
290 I=K-NKV
    J=JCOL(I)
300 PARAM(K)=PARF(K)*(DX(J)+ONE)
    IF (KRASH .LT. 10) GOTO 260
    IFAIL=9
    GOTO 530
310 DS=SS-SSP
C DS IS THE DIFFERENCE BETWEEN THE OLD AND NEW SUM OF SQUARES
C NOW TEST FOR CONVERGENCE WITH TWO CRITERIA. (1) SHIFTS SHOULD BE
C LESS THAN 10 PERCENT OF THE STANDARD DEVIATION ON THE PARAMETERS
    IEXIT=0
    DO 320 J=1, NPAR
    IF (DABS(DX(J)/SD(J)) .GT. TENTH) IEXIT=1
320 CONTINUE
C TO AVOID PREMATURE CONVERGENCE WHEN S.D. S ARE LARGE 2ND CRITERION
    IF (DABS(DS/SS) .GT. TOL) IEXIT=1
    IF (IEXIT .EQ. 0) GOTO 360
    IF (DS .GE. DQ*QUARTR) GOTO 350
C THE REDUCTION IN SUM OF SQUARES IS LESS THEN 1/4 OF THE PREDICTED
C VALUE SO THE M.P. IS INCREASED BY A FACTOR BETWEEN 2 AND 10
    YZ=HALF
    Z=VW+VW-DS
    IF (Z .GT. ZER) YZ=VW/Z
    IF (YZ .GT. HALF) YZ=HALF
    IF (YZ .LT. TENTH) YZ=TENTH
    IF (Q .NE. ZER) GOTO 340
    YZ=YZ+YZ
    TR=ZER
    DO 330 J=1, NPAR
330 TR=TR+B(J, J)*U(J)
    Q=ONE/TR
    QC=Q
C QC IS THE CUT-OFF VALUE OF THE M.P. BELOW WHICH IT WILL BE SET TO ZERO
340 Q=Q/YZ
    IF (DS) 160, 160, 360
350 IF (DS .LE. DQ*THREEQ) GOTO 360
C THE REDUCTION IN THE SUM OF SQUARES IS MORE THAN 3/4 OF THE
C PREDICTED VALUE SO THE M.P. IS HALVED OR SET TO ZERO
C THUS FOR 1/4 < REDUCTION < 3/4 THE M.P. IS LEFT UNCHANGED
    Q=Q/TWO
    IF (Q .LT. QC) Q=ZER
360 NCICL=NCICL+1
    IF (IPRIN .LT. 4) GOTO 410
C MONITOR THE ITERATION
    WRITE (*, 370) NCICL, SIGMA, SS
    WRITE (JOUT, 370) NCICL, SIGMA, SS
370 FORMAT (/10H ITERATION, I4, 8H SIGMA=, F10.5,
1 20H SUM OF SQUARES =, 1PE12.4)
    IF (Q .NE. ZER) WRITE (JOUT, 380) Q
380 FORMAT (38H MARQUART PARAMETER FOR NEXT ITERATION, 1PE12.4/)
    WRITE (*, 390)

```

```

WRITE (JOUT,390)
390 FORMAT (/9X,10H PARAMETER,16X,11H OLD VALUE ,2X,
1      32H REL SHIFT NEW VALUE REL ERROR)
400 FORMAT (11X,6H BETA ,A1,F23.4,1HE,I3,F11.4,F10.4,1HE,I3,F10.4)
410 K=1
DO 460 J=1,NK
JOLD=JPOT(J)
IF (KEY(J) .NE. 1) GOTO 460
420 Z=DLOG(DABS(PARAM(K)))
IF (Z .GE. ZER) GOTO 430
PARAM(K)=PARAM(K)*TEN
JPOT(J)=JPOT(J)-1
GOTO 420
430 IF (Z .LT. AL10) GOTO 440
PARAM(K)=PARAM(K)/TEN
JPOT(J)=JPOT(J)+1
GOTO 420
440 IF (IPRIN .LT. 4) GOTO 450
WRITE (*,400) LETTER(J),PARF(K),JOLD,DX(K),PARAM(K)
1, JPOT(J),SD(K)
WRITE (JOUT,400) LETTER(J),PARF(K),JOLD,DX(K),PARAM(K)
1, JPOT(J),SD(K)
450 K=K+1
460 CONTINUE
IF (K .GT. NPAR .OR. IPRIN .LT. 4) GOTO 510
DO 500 J=K,KVSP
JPAR=J-NKV
KIND=JTYT(JPAR)
JTC=JCUR(JPAR)
JR=JREA(JPAR)
IF (KIND .EQ. 3) GOTO 470
MBE=JNMB(JTC,JR)
GOTO 480
470 MBE=IFC(JTC,JR)
480 WRITE (JOUT,490) JTC,(NAMTYP(KIND,L),L=1,10),(KEMIC(MBE,L),L=1,12)
1, PARF(J),DX(J),PARAM(J),SD(J)
WRITE (*,490) JTC,(NAMTYP(KIND,L),L=1,10),(KEMIC(MBE,L),L=1,12)
1, PARF(J),DX(J),PARAM(J),SD(J)
490 FORMAT (7H CURVE ,I2,1X,10A1,1X,12A1,1PE12.4,F11.4,E14.4,F10.4)
500 CONTINUE
C END OF THE REFINEMENT MONITOR
510 DO 520 J=1,KVSP
520 PARF(J)=PARAM(J)
IF (IEXIT .EQ. 0) GOTO 530
IF (NCICL .LE. MAXIT) GOTO 120
IFAIL=2
C END OF THE REFINEMENT, AND BEGINNING OF RESULTS PRINT-OUT
530 CALL CHECK (IFAIL,NAME,MAXIT,JOUT,NCICL)
IF (IFAIL .GT. 3) GOTO 580
CALL CHISQ (SIGMA,RES,MAXEMF)
CALL DOUS (SIGMA,IND,KEY,BETA,JPOT,PARAM,SD,JQR,PARI
1, B,LETTER,NAMTYP,KEMIC,IFC,JNMB,JCUR,JREA,JTYT
2, MAXTC,MAXEL,MAXV,MAXK,MAXCX)
C ON IND=2 A BETA IS TO BE REJECTED.
GOTO (540,40),IND
C THE WEIGHTS ARE RECALCULATED IF MODE IS GREATER THAN ONE
540 IF (MODE .GT. 1) GOTO 580
CALL STANS (NAME,JTP,RES,EMF,SIGMA,NEMFV,NMBEV,JQR,PQR,TOTMM
1, ADDC,VINIT,TITRE,BETA,JPOT,BETAC,POTC,MKC,CI,JFP
2, FREEC,JCOUL,JS,CS,SIG,IFC,JNMB,LETTER,KEMIC,NKCV
3, MAXEMF,MAXTP,MAXTC,MAXK,MAXCX,MAXEL)
IF (MODE .LT. 0) GOTO 580
IF (NMODEL .EQ. 1) GOTO 550
IF (SSP .GE. UMIN) GOTO 580
C UPDATE THE BEST MODEL - THE ONE WITH THE LOWEST SUM OF SQUARES AND
C ALL BETAS WITH ERRORS LESS THAN 33 PERCENT
550 UMIN=SSP
DO 570 K=1,NK
IF (KEY(K)) 570,570,560
560 BEST(K)=BETA(K)
570 CONTINUE
C READ THE REFINEMENT KEYS FOR THE BETAS IN A NEW MODEL
C IF ALL ARE ZERO NSYS WILL BE READ TO SEE IF A NEW SYSTEM FOLLOWS
580 READ (JINP,590) (JS(I),I=1,NK)
590 FORMAT (18I2)
NEWSYS=1
DO 600 I=1,NK
IF (JS(I) .NE. 0) NEWSYS=2
600 CONTINUE
GOTO (630,610),NEWSYS

```

```

610 DO 620 I=1,NK
620 KEY(I)=JS(I)
    GOTO 40
630 READ (JINP,640) NSYS
640 FORMAT (I5)
    IF (NSYS) 30,650,30
650 IF (MODE .GT. 1) GOTO 80
    STOP
    END

    SUBROUTINE CCCS (BETA,POT,PQR,CX,HX,NKMAX,NXMAX,NK,NX,DLNAM,CI)
    DOUBLE PRECISION BETA(NKMAX),POT(NKMAX),CI(NKMAX)
    1, PQR(NXMAX,NKMAX),CX(NXMAX),HX(NXMAX),W,DLNAM,ZER
    DATA ZER /0.D00/
C CONVERTS THE FREE CONCENTRATIONS, CX, TO SPECIES CONCENTRATIONS, CI
C THE FORMATION CONSTANTS ARE STORED AS MANTISSA (BETA) AND EXPONENT
C (POT) THUS ALLOWING CONSTANTS AND CONCENTRATIONS TO BE NEGATIVE
    DO 10 IX=1,NX
    10 HX(IX)=DLOG(CX(IX))
        DO 40 IK=1,NK
        W=POT(IK)
        DO 20 IX=1,NX
    20 W=W+HX(IX)*PQR(IX,IK)
        IF (W .GT. DLNAM) GOTO 30
        CI(IX)=ZER
        GOTO 40
    30 W=DEXP(W)
        CI(IX)=W*BETA(IK)
    40 CONTINUE
    RETURN
    END

    SUBROUTINE CCFR (NX,NK,IFAIL,CX,TC,HX,EPS,DM,DX,BETA,POT,CI)
    1, PQR,RELAC,TOL,NKMAX,NXMAX,ACCM,DLNAM)
    DOUBLE PRECISION PQR(NXMAX,NKMAX),DIAG(4)
    1, CX(NXMAX),TC(NXMAX),HX(NXMAX),EPS(NXMAX),DX(NXMAX)
    2, DM(NXMAX,NXMAX),BETA(NKMAX),CI(NKMAX),POT(NKMAX)
    3, ACCM,DLNAM,HALF,ONE,SUM,SUMP,RELAC,W,ZER,FRACT,TOLSUM,TOL,P9
C CALCULATION OF THE FREE CONCENTRATIONS (CX) BY NEWTONS METHOD,
C USING RESIDUALS ON THE TOTAL CONCENTRATION OF ALL REACTANTS (TC).
C INITIAL ESTIMATED ARE SUPPLIED BY FUNV
    DATA ZER,ONE,HALF,P9/0.D00,1.D00,0.5D00,0.9D00/
    ITMAX=100
    NITER=0
    TOLSUM=ZER
    DO 10 IX=1,NX
    10 TOLSUM=TOLSUM+TC(IX)*TC(IX)
        IF (TOLSUM .EQ. ZER) TOLSUM=RELAC
        TOLSUM=TOLSUM*RELAC*RELAC
        DO 20 IX=1,NX
        IF (TC(IX)*TC(IX) .LT. TOLSUM) TC(IX)=DSQRT(TOLSUM)
        IF (CX(IX) .EQ. ZER) CX(IX)=DABS(TC(IX)*1.D-03)
    20 CONTINUE
C BEGINNING OF ITERATION CYCLE
    30 NITER=NITER+1
        JCK=0
    40 CALL CCCS (BETA,POT,PQR,CX,HX,NKMAX,NXMAX,NK,NX,DLNAM,CI)
C THE CONCENTRATION OF EACH SPECIES IS NOW IN CI
    SUM=ZER
    DO 60 IX=1,NX
        W=TC(IX)-CX(IX)
        DO 50 IK=1,NK
    50 W=W-CI(IK)*PQR(IX,IK)
        EPS(IX)=W
    60 SUM=SUM+W*W
C SUM IS NOW THE SUM OF SQUARED RESIDUALS EPS
    IF (NITER .EQ. 1) GOTO 100
    IF (SUM .LE. SUMP) GOTO 80
    IF (JCK .EQ. 1) GOTO 80
C DIVERGENCE HAS OCCURRED. THE SHIFTS ARE SUCCESSIVELY HALVED
    DO 70 IX=1,NX
        DX(IX)=HALF*DX(IX)
    70 CX(IX)=CX(IX)-DX(IX)
        JCK=JCK+1
        GOTO 40
C CONVERGENCE CRITERION
    80 CONTINUE
    DO 85 IX=1,NX

```

```

      IF (DABS(DX(IX)/CX(IX)) .GT. TOL) GOTO 100
85 CONTINUE
C REFINEMENT CONVERGED. DIAG IS NEEDED FOR INVERSION OF DM IN FUNV
  DO 90 IX=1,NX
90 DX(IX)=DIAG(IX)
  RETURN
100 SUMP=SUM*(RELAC+ONE)
C SET UP THE JACOBIAN IN DM
  DO 120 IX=1,NX
  DO 120 JX=IX,NX
  W=ZER
  IF (IX .EQ. JX) W=CX(IX)
  DO 110 IK=1,NK
110 W=W+CI(IX)*PQR(IX,IK)*PQR(JX,IK)
120 DM(IX,JX)=W
  CALL FACT (DM, EPS, DIAG, IFAIL, 6, NXMAX, NX)
C RELATIVE SHIFTS ON THE FREE CONCENTRATIONS ARE NOW IN EPS
  IF (IFAIL .NE. 1) RETURN
  FRACT=ONE
  DO 130 IX=1,NX
  DX(IX)=EPS(IX)
  IF (DABS (DX(IX)) .LT. ACCM) GOTO 130
  IF (FRACT*DX(IX) .GT. (-ONE)) GOTO 130
  FRACT=-P9/DX(IX)
130 CONTINUE
C IF A FREE CONCENTRATION IS GOING NEGATIVE, DIVIDE THE SHIFTS BY TEN
  DO 140 IX=1,NX
  DX(IX)=DX(IX)*CX(IX)*FRACT
  CX(IX)=CX(IX)+DX(IX)
  IF (CX(IX) .LE. ACCM) CX(IX)=ACCM
140 CONTINUE
  IF (NITER .LT. ITMAX) GOTO 30
  IFAIL=7
  RETURN
  END

SUBROUTINE CHECK (IFAIL, NAME, MAXIT, JOUT, NCICL)
  DIMENSION NAME(72)
C THE FIRST OUTPUT ROUTINE. PRINTS THE TITLE AND CHECKS FOR FAILURE
  WRITE (*,10) NAME
  WRITE (JOUT,10) NAME
10 FORMAT (1H1,1X,72A1)
  WRITE (*, 20) NCICL
  WRITE (JOUT, 20) NCICL
20 FORMAT (I4,11H ITERATIONS)
  GOTO (30,50,70,90,110,130,150,160,180),IFAIL
30 WRITE (JOUT,40)
  WRITE (JOUT,40)
40 FORMAT (35H REFINEMENT TERMINATED SUCCESSFULLY)
  RETURN
50 WRITE (JOUT,60) MAXIT
60 FORMAT (I4,31H ITERATIONS (MAXIMUM) COMPLETED)
  RETURN
70 WRITE (JOUT,80)
80 FORMAT (47H PREDICTED IMPROVEMENT NEGATIVE IN MAIN PROGRAM/
1 30H CONVERGENCE PROBABLY ATTAINED)
  RETURN
90 WRITE (JOUT,100)
100 FORMAT (42H NORMAL EQUATIONS SINGULAR IN MAIN PROGRAM/
1 29H PARAMETERS CANNOT BE REFINED)
  RETURN
110 WRITE (JOUT,120)
120 FORMAT (43H SHIFT VECTOR POINTS UPHILL IN MAIN PROGRAM/
1 29H PARAMETERS CANNOT BE REFINED)
  RETURN
130 WRITE (JOUT,140)
140 FORMAT (41H FREE CONCENTRATIONS CANNOT BE CALCULATED/
1 47H THERE MAY BE A GROSS INCONSISTENCY IN THE DATA)
  RETURN
150 WRITE (JOUT,140)
  RETURN
160 WRITE (JOUT,170)
170 FORMAT (50H WTS CANT BE CALCULATED FROM THE THEORETICAL CURVE)
  RETURN
180 WRITE (JOUT,190)
190 FORMAT (41H FREE CONCENTRATIONS CANNOT BE CALCULATED,
1 39H BUT REFINEMENT MAY HAVE CONVERGED ****//)
  IFAIL=2
  RETURN
  END

```

```

SUBROUTINE CHISQ (SD,RES,MAXEMF)
DIMENSION JPOP(8)
DOUBLE PRECISION RES(MAXEMF),CLIM(8),C(3),EXFR,EXPCH,EXPOP,HNTOT
1,  OBFR,OBSCH,RAPP,R1,SD,EPS,Z
2,  TOL,ACCM,DLNAM,AL10,ZER,ONE,TWO,TEN
COMMON TOL,ACCM,DLNAM,AL10,ZER,ONE,TWO,TEN,NK,NKV,NSP,KVSP,MODE
1,  NCONS,NPAR,NE,NTC,NMBE0,MAXIT,IPRIN,JINP,JOUT,IFAIL,JACK
DATA NR,NR1,EXPCH,EXFR/8,7,1.26D01,1.25D-01/
DATA C(1),C(2),C(3)/1.15D00,0.675D00,0.319D00/
C A STATISTICAL ANALYSIS OF THE RESIDUALS. IF THE DISTRIBUTION
C WERE NORMAL THERE WOULD BE EQUAL POPULATIONS WITHIN EACH OF THE
C CONFIDENCE LIMITS (CLIM). CHI-SQUARED TESTS THE DISTRIBUTION
C AGAINST A NORMAL ONE. FOR FURTHER DETAILS SEE: M.R. SPIEGEL,
C THEORY AND PROBLEMS OF STATISTICS, MC GRAW HILL.
10 FORMAT (15X,14H CLASS LIMITS,10X,27H PROBABILITY FREQUENCY,
110H PARTIAL/11X,6H LOWER,10X,25H HIGHER CALC OBS,
227H CALC OBS CHI-SQUARE/)
20 FORMAT (I5,2E15.5,F8.4,F10.4,F6.1,I8,F9.3)
HNTOT=DBLE(FLOAT(NE))
DO 30 J=1,3
CLIM(J)=-SD*C(J)
J8=8-J
30 CLIM(J8)=-CLIM(J)
CLIM(4)=ZER
CLIM(8)=ONE/ACCM
DO 40 I=1,NR
40 JPOP(I)=0
DO 70 IE=1,NE
EPS=RES(IE)
DO 60 K=1,NR1
IF (EPS-CLIM(K)) 50,50,60
50 JPOP(K)=JPOP(K)+1
GOTO 70
60 CONTINUE
JPOP(NR)=JPOP(NR)+1
70 CONTINUE
EXPOP=EXFR*HNTOT
OBSCH=ZER
IF (IPRIN .LT. 8) GOTO 80
WRITE (JOUT,10)
80 R1=-CLIM(NR)
DO 100 K=1,NR
Z=DBLE(FLOAT(JPOP(K)))
OBFR=Z/HNTOT
RAPP=((Z-EXPOP)**2)/EXPOP
IF (IPRIN .LT. 8) GOTO 90
WRITE (JOUT,20)K,R1,CLIM(K),EXFR,OBFR,EXPOP,JPOP(K),RAPP
90 R1=CLIM(K)
100 OBSCH=OBSCH+RAPP
WRITE(JOUT,110) OBSCH
110 FORMAT (16H CHI-SQUARED =,F6.2)
WRITE(JOUT,120) EXPCH
120 FORMAT (35H CHI SQUARED SHOULD BE LESS THAN ,F5.2,
1 36H AT THE 95 PERCENT CONFIDENCE LEVEL )
RETURN
END

SUBROUTINE CONSTR (NKV,NCONS,NSP,KCONS,JTYP,JCOL,JREA,JCUR,IFC
1,  JNMB,NAMTYP,KEMIC,JOUT,MAXV,MAXTC,MAXCON,MAXCX,MAXEL)
DIMENSION JTYP(MAXV),JCOL(MAXV),JREA(MAXV),JCUR(MAXV)
DIMENSION IFC(MAXTC,MAXEL),JNMB(MAXTC,MAXCX),KCONS(MAXCON,2)
DIMENSION KEMIC(MAXCX,12),NAMTYP(3,10)
C SETS UP THE CONSTRAINTS AND ALLOCATES TO EACH DANGEROUS PARAMETER
C THE APPROPRIATE COLUMN IN THE DESIGN MATRIX. CONSTRAINED PARAMETERS
C ARE ASSOCIATED WITH THE SAME COLUMN THERE.
K=NKV
NCONS=0
DO 60 I=1,NSP
JI=JCOL(I)
IF (JI .GT. 0) GOTO 60
K=K+1
JCOL(I)=K
IF (JI .EQ. (-100)) GOTO 60
IPI=I+1
DO 50 J=IPI,NSP
IF (JCOL(J) .NE. JI) GOTO 50
NCONS=NCONS+1
IF (NCONS .LE. MAXCON) GOTO 20

```

```

WRITE (JOUT,10) MAXCON
10 FORMAT (33H TOO MANY CONSTRAINTS - MORE THAN,I3)
STOP
20 IF (JTYP(I) .EQ. JTYP(J)) GOTO 40
WRITE (JOUT,30) J,I
30 FORMAT (/52H WRONG CONSTRAINT SETTING BETWEEN SPECIAL PARAMETERS,
1 I3,4H AND,I3)
STOP
40 KCONS(NCONS,1)=J
KCONS(NCONS,2)=I
JCOL(J)=JCOL(I)
50 CONTINUE
60 CONTINUE
IF (NCONS .EQ. 0) RETURN
C THE EQUALITY CONSTRAINTS ON THE DANGEROUS PARAMETERS ARE WRITTEN OUT
WRITE (JOUT,70) NCONS
70 FORMAT (/I3,12H CONSTRAINTS/3X,27H THE RELATIVE SHIFTS OF THE,
1 49H FOLLOWING PARAMETERS ARE CONSTRAINED TO BE EQUAL)
DO 90 K=1,NCONS
I=KCONS(K,1)
J=KCONS(K,2)
JTI=JTYP(I)
JRI=JREA(I)
JRJ=JREA(J)
JCI=JCUR(I)
JCJ=JCUR(J)
IF (JTI .EQ. 3) GOTO 80
IM=JNMB(JCI,JRI)
JM=JNMB(JCJ,JRJ)
GOTO 90
80 IM=IFC(JCI,JRI)
JM=IFC(JCJ,JRJ)
90 WRITE (JOUT,100) (NAMTYP(JTI,M),M=1,10), (KEMIC(IM,M),M=1,12), JCI
1, (NAMTYP(JTI,M),M=1,10), (KEMIC(JM,M),M=1,12), JCJ
WRITE (*,100) (NAMTYP(JTI,M),M=1,10), (KEMIC(IM,M),M=1,12), JCI
1, (NAMTYP(JTI,M),M=1,10), (KEMIC(JM,M),M=1,12), JCJ
100 FORMAT (4X,10A1,2X,12A1,6H CURVE,I3,5H = ,10A1,2X,12A1
1, 6H CURVE,I3)
RETURN
END

SUBROUTINE CUBIC(X,Y,Y2,NPC,MAXPC,JOUT)
DOUBLE PRECISION X(MAXPC),Y(MAXPC),Y2(MAXPC),A(4,4),B(4),C(4)
1, XP(6),S,XJ,YJ,ZER,ONE,D,E,F,G
DATA NSPAN,MID,ZER,ONE/5,3,0.D00,1.D00/
C CALCULATES THE DERIVATIVE DY/DX AT EACH POINT IN A TITRATION CURVE
C A CUBIC POLYNOMIAL IS FITTED BY LINEAR LEAST SQUARES TO 5 POINTS
C AT A TIME. THE DERIVATIVE OF THE FOUR OUTERMOST POINTS IS GOT BY
C FITTING A QUADRATIC TO THREE POINTS. THESE ARE DONE FIRST
N3=NPC-3
DO 10 L=3,NPC,N3
J=L-3
D=(Y(J+1)-Y(J+2))/(X(J+1)-X(J+2))
E=(Y(J+2)-Y(J+3))/(X(J+2)-X(J+3))
F=((X(J+2)+X(J+3))*D-(X(J+1)+X(J+2))*E)/(X(J+3)-X(J+1))
G=(E-D)/(X(J+3)-X(J+1))
DO 10 K=1,3
JK=J+K
10 Y2(JK)=F+(G+G)*X(JK)
C NOW THE MAIN BULK OF VALUES IS CALCULATED
N=NPC-2
DO 70 JPOINT=3,N
DO 20 J=1,4
B(J)=ZER
DO 20 K=1,J
20 A(K,J)=ZER
JZERO=JPOINT-MID
A(1,1)=DBLE(FLOAT(NSPAN))
C SET UP NORMAL EQUATIONS
DO 60 JSPAN=1,NSPAN
JJ=JZERO+JSPAN
XJ=X(JJ)
YJ=Y(JJ)
B(1)=B(1)+YJ
DO 40 JP=1,6
S=ONE
DO 30 K=1,JP
30 S=S*XJ
40 XP(JP)=S

```

```

C XP CONTAINS THE POWERS OF X
DO 50 J=2,4
  B(J)=B(J)+XP(J-1)*YJ
DO 50 K=1,J
  KJ2=K+J-2
50 A(K,J)=A(K,J)+XP(KJ2)
60 CONTINUE
C SOLVE THE NORMAL EQUATIONS
CALL FACT (A,B,C,IFAIL,2,4,4)
IF (IFAIL.NE.1) GOTO 80
S=X(JPOINT)
70 Y2(JPOINT)=((B(4)+B(4)+B(4))*S)+B(3)+B(3))*S+B(2)
C THE DERIVATIVE IS NOW IN THE ARRAY Y2
RETURN
80 WRITE (JOUT,90)
90 FORMAT (29H WEIGHTS CANNOT BE CALCULATED/
1      30H CHECK FOR GROSS ERROR IN DATA)
STOP
END

SUBROUTINE DINS (KEMIC,TITRE,JTP,NEMFV,NMBEV,VINIT,BETA,JPOT
1,  EMF,WS,KCONS,TOTMM,ADDC,EZERO,JNMB,JFP,JQR,SIGMAE
2,  SIGMAV,KEY,NAME,JCOUL,IFC,RTJ,LETTER,NAMTYP
3,  JCUR,JTYP,JREA,JCOL,RELAC,MAXEMF,MAXTP
4,  MAXPC,MAXTC,MAXCON,MAXK,MAXCX,MAXEL,MAXV,MAXWS)
  DIMENSION JTP(MAXTC),NEMFV(MAXTC),NMBEV(MAXTC),JCOUL(MAXTC)
1,  JCUR(MAXV),JTYP(MAXV),JREA(MAXV),JCOL(MAXV)
2,  JPOT(MAXK),KEY(MAXK),JQR(MAXCX,MAXK)
3,  JNMB(MAXTC,MAXCX),IFC(MAXTC,MAXEL),JFP(MAXTC,MAXCX)
4,  KCONS(MAXCON,2),JPH(2),JEL(2),LOCK(10)
5,  NAME(72),KEMIC(MAXCX,12),LETTER(18),NAMTYP(3,10)
  DOUBLE PRECISION TITRE(MAXTP),BETA(MAXK)
1,  TOTMM(MAXTC,MAXCX),ADDC(MAXTC,MAXCX),VINIT(MAXTC)
2,  EZERO(MAXTC,MAXEL),RTJ(MAXTC,MAXEL),EMF(MAXEMF)
3,  WS(MAXWS),EMFC(2),SIGMAE(MAXTC,MAXEL),SIGMAV(MAXTC),SLOPE(2)
4,  RTF,TEMP,VALUE,TITV,RELAC,TOL,ACCM,DLNAM,AL10,ZER,ONE,TWO,TEN
5,  W,W1,W2,W3
  COMMON TOL,ACCM,DLNAM,AL10,ZER,ONE,TWO,TEN,NK,NKV,NSP,KVSP,MODE
1,  NCONS,NPAR,NE,NTC,NMBE0,MAXIT,IPRIN,JINP,JOUT,IFAIL,JACK
C THIS SUBROUTINE COLLECTS THE TITRATION CURVE DATA FROM CHANNEL JINP
10 FORMAT (4X,A1,F11.4,1HE,13,F10.4,I7,6X,4I4)
20 FORMAT (16I5)
30 FORMAT (F10.6,7I5)
40 FORMAT (2F10.6,I5)
50 FORMAT (I5,F8.3,2(F8.3,2F8.2),F8.2)
60 FORMAT (5X,12A1,4(F12.5,4X))
70 FORMAT (5X,12A1,2(3X,F9.5,4X),14H NO ELECTRODE)
80 FORMAT (5X,12A1,2(3X,F9.5,4X),F8.4,8H ASSUMED,4X,F9.5)
90 FORMAT (72A1)
100 FORMAT (3F10.4,I5)
C *****
  OPEN (UNIT=JINP,FILE='SQIN')
  REWIND JINP
C *****
  READ (JINP,90) NAME
C *****
  OPEN (UNIT=JOUT,FILE='SQOUT')
C *****
  WRITE(JOUT,110) NAME
  WRITE(*,110) NAME
110 FORMAT (1H1,33X,15HSUPERQUAD 1984A//1H ,72A1/)
  READ (JINP,20) MAXIT,IPRIN,NMBE0,MODE
  WRITE (*,120) MAXIT,IPRIN,MODE,TOL,ACCM,RELAC
  WRITE (JOUT,120) MAXIT,IPRIN,MODE,TOL,ACCM,RELAC
120 FORMAT (/4X,25HMAXIT IPRIN MODE TOL,6X,4HACCM,
1      8X,5HRELAC/3I7,2E10.2,E14.6/)
  DO 130 I=1,NMBE0
  READ (JINP,90) (KEMIC(I,J),J=1,12)
130 WRITE (JOUT,140) I,(KEMIC(I,J),J=1,12)
  WRITE (*,140) I,(KEMIC(I,J),J=1,12)
140 FORMAT (14H REACTANT ,I1,2H- ,12A1)
  READ (JINP,40) TEMP
  WRITE (*,150) TEMP
  WRITE (JOUT,150) TEMP
150 FORMAT (/34H THE TEMPERATURE OF SOLUTION(S) IS,F6.2,
1      19H DEGREES CENTIGRADE)
  RTF=(TEMP+273.15)/11.6048
  WRITE (*,160)
  WRITE (JOUT,160)

```



```

160 FORMAT (/9X,50H FORMATION          LOG   REFINEMENT   STOICHIOMETRIC/
1      9X,49H CONSTANTS          BETAS   KEYS           COEFFICIENTS/)
      NK=0
      NKV=0
170 NK=NK+1
      IF (NK .LE. MAXK) GOTO 190
      READ (JINP,30) W
      IF (W .EQ. ZER) GOTO 200
      WRITE (*,180) MAXK
      WRITE (JOUT,180) MAXK
180 FORMAT (41H TOO MANY FORMATION CONSTANTS - MORE THAN,I3)
      GOTO 890
190 READ (JINP,30) W, (JQR(K,NK),K=1,NMBE0), KEY(NK)
      IF (W .EQ. ZER) GOTO 200
      J=INT(SNGL(W))
      JPOT(NK)=J
      W1=W-DBLE(FLOAT(J))
      BETA(NK)=DEXP(W1*AL10)
      WRITE (*,10) LETTER(NK), BETA(NK), JPOT(NK), W, KEY(NK)
1      , (JQR(K,NK),K=1,NMBE0)
      WRITE (JOUT,10) LETTER(NK), BETA(NK), JPOT(NK), W, KEY(NK)
1      , (JQR(K,NK),K=1,NMBE0)
      IF (KEY(NK) .EQ. 1) NKV=NKV+1
      GOTO 170
200 NK=NK-1
      WRITE (*,210) NKV
      WRITE (JOUT,210) NKV
210 FORMAT (/I3, 34H FORMATION CONSTANTS TO BE REFINED)
      NPAR=NKV
      NSP=0
      NCONS=0
      NE=0
      NTC=0
      NEP=0
      IP=0
      IPP=0
      NPW=0
      NWT=0
C BEGIN READING IN A NEW TITRATION CURVE
220 READ (JINP,230) I,J,K,W1,W2,K1,K2
230 FORMAT (I1,2I2,2F10.6,2I5)
      IF (K .EQ. 0) GOTO 800
      NTC=NTC+1
      IF (NTC .LE. MAXTC) GOTO 250
      WRITE (*,240) MAXTC
      WRITE (JOUT,240) MAXTC
240 FORMAT (47H THE NUMBER OF TITRATION CURVES IS GREATER THAN,I3)
      GOTO 890
250 NMBE=0
260 NMBE=NMBE+1
      IF (NMBE .LE. NMBE0) GOTO 280
      WRITE (*,270) NMBE0,NTC
      WRITE (JOUT,270) NMBE0,NTC
270 FORMAT (20H THERE ARE MORE THAN,I3,19H REACTANTS IN CURVE,I3
1      , 49H CHECK THAT THE LIST TERMINATES WITH A BLANK LINE)
      GOTO 890
280 JFP(NTC,NMBE)=J*K
      JNMB(NTC,NMBE)=K
      TOTMM(NTC,NMBE)=W1
      ADDC(NTC,NMBE)=W2
      LOCK(NMBE)=K1
      LOCK(NMBE+4)=K2
      READ (JINP,230) I,J,K,W1,W2,K1,K2
      IF (K .NE. 0) GOTO 260
      NMBEV(NTC)=NMBE
      DO 290 J=1,NMBE
      K=NMBE+J
290 LOCK(K)=LOCK(J+4)
C THE TOTAL MMOLES AND BURETTE CONCENTRATIONS HAVE NOW BEEN READ IN
C NEXT THE INITIAL VOLUME AND ITS ERROR AND THEN THE ELECTRODE DATA
      READ (JINP,230) I,J,JCOUL(NTC),VINIT(NTC),SIGMAV(NTC)
      NEMF=0
300 READ (JINP,310) I,J,K,W1,W2,K1,W3
310 FORMAT (I1,2I2,2F10.6,I5,F10.6)
      IF (K .EQ. 0) GOTO 370
      NEMF=NEMF+1
      IF (NEMF .LE. MAXEL) GOTO 330
      WRITE (*,320) MAXEL
      WRITE (JOUT,320) MAXEL
320 FORMAT (32H TOO MANY ELECTRODES - MORE THAN,I2)

```

```

GOTO 890
330 INCR=NEMF*(NEMF+1)/2
MATCH=0
DO 340 L=1,NMBE
IF (K .EQ. JNMB(NTC,L)) MATCH=L
340 CONTINUE
IF (MATCH .NE. 0) GOTO 360
WRITE (*,350) NTC
WRITE (JOUT,350) NTC
350 FORMAT (
160H AN ELECTRODE CORRESPONDS TO A REACTANT NOT PRESENT IN CURVE,
2I3)
GOTO 890
360 CONTINUE
C*****
C USERS WHO REGULARLY TAKE ELECTRODE READINGS IN PH CAN REVERSE THE *
C CONVENTION FOR ELECTRODE DATA TO INPUT PH BY DEFAULT. *
C TO DO THIS CHANGE THE ZERO TO ONE IN THE NEXT LINE. *
C*****
NOTPH=1
IF (NOTPH .EQ. 1) I=1-I
JPH(NEMF)=I
C THE NUMBER OF ELECTRONS TRANSFERRED AT THE ELECTRODE DEFAULTS TO ONE
IF (J .EQ. 0) J=1
JEL(NEMF)=J
IFC(NTC,NEMF)=MATCH
EZERO(NTC,NEMF)=W1
SIGMAE(NTC,NEMF)=W2
NSPC=2*NMBE+NEMF
LOCK(NSPC)=K1
IF (W3 .EQ. ZER) W3=ONE
SLOPE(NEMF)=W3
GOTO 300
370 NEMFV(NTC)=NEMF
C THE POINTERS JCUR, JTYP, JREA AND JCOL ARE SET UP FROM THE LOCK
C VALUES TO INDEX THE DANGEROUS PARAMETERS FOR REFINEMENT.
C JTYP IS 1 FOR TOTAL MMOLES. 2 FOR TITRANT CONC. 3 FOR STANDARD
C ELECTRODE POTENTIAL. JREA STORES THE NUMBERS CORRESPONDING TO THE
C REAGENTS AND JCUR ITS TITRATION CURVE. JCOL TEMPORARELY STORES
C LOCK-101 IF LOCK IS DIFFERENT FROM ZERO. THE VALUES OF JCOL
C WILL BE ADJUSTED IN SUBROUTINE CONSTR TO DEAL WITH ANY CONSTRAINTS
K=0
DO 400 I=1,NSPC
K=K+1
IF (K .GT. NMBE) K=K-NMBE
IF (LOCK(I) .EQ. 0) GOTO 400
NSP=NSP+1
IF ((NSP+NKV) .LE. MAXV) GOTO 390
WRITE (*,380) MAXV
WRITE (JOUT,380) MAXV
380 FORMAT (48H THE TOTAL NUMBER OF PARAMETERS TO BE REFINED IS,
1 13H GREATER THAN,I3)
GOTO 890
390 JCUR(NSP)=NTC
JTYP(NSP)=(I-1)/NMBE+1
JREA(NSP)=K
JCOL(NSP)=LOCK(I)-101
400 CONTINUE
NPCX=0
IPCX=0
DO 410 K=1,NEMF
RTJ(NTC,K)=SLOPE(K)*RTF/DBLE(FLOAT(JEL(K)))
IF (JPH(K) .EQ. 0) GOTO 410
NPCX=NPCX+1
IPCX=K
SIGMAE(NTC,K)=SIGMAE(NTC,K)*RTJ(NTC,K)*AL10
IF (DABS(EZERO(NTC,K)) .LT. TEN) EZERO(NTC,K)=TEN
410 CONTINUE
JEMF=NEMF+NPCX+IPCX
IF (IPRIN .LT. 5) GOTO 480
WRITE (*,420) NTC,VINIT(NTC),SIGMAV(NTC)
WRITE (JOUT,420) NTC,VINIT(NTC),SIGMAV(NTC)
420 FORMAT (/7H CURVE,I2,15H INITIAL VOLUME,F8.2/8X,
1 20H TITRE VOLUME ERROR,F9.5,12H MILLILITRES/)
WRITE (*,430)
WRITE (JOUT,430)
430 FORMAT (4X,41H REACTANT INITIAL NO TITRANT
1,33H STANDARD POTENTIAL ELECTRODE/17X,14H OF MILLIMOLES
2,45H MOLES/LITRE MILLIVOLTS ERROR/)
DO 470 K=1,NMBE

```

```

J=JNMB(NTC,K)
DO 440 I=1,NEMF
IF (K .EQ. IFC(NTC,I)) GOTO 450
440 CONTINUE
WRITE (*,70) (KEMIC(J,L),L=1,12),TOTMM(NTC,K),ADDC(NTC,K)
WRITE (JOUT,70) (KEMIC(J,L),L=1,12),TOTMM(NTC,K),ADDC(NTC,K)
GOTO 470
450 IF (JPH(I) .EQ.0) GOTO 460
WRITE (*,80) (KEMIC(J,L),L=1,12),TOTMM(NTC,K),ADDC(NTC,K),
1 EZERO(NTC,I),SIGMAE(NTC,I)
WRITE (JOUT,80) (KEMIC(J,L),L=1,12),TOTMM(NTC,K),ADDC(NTC,K),
1 EZERO(NTC,I),SIGMAE(NTC,I)
GOTO 470
460 WRITE (JOUT,60) (KEMIC(J,L),L=1,12),TOTMM(NTC,K),ADDC(NTC,K),
1 EZERO(NTC,I),SIGMAE(NTC,I)
WRITE (*,60) (KEMIC(J,L),L=1,12),TOTMM(NTC,K),ADDC(NTC,K),
1 EZERO(NTC,I),SIGMAE(NTC,I)
470 CONTINUE
C READ IN A NEW TITRATION POINT
480 READ (JINP,100) TITV,EMFC(1),EMFC(2),JUMP
IF (JUMP .NE. 0) GOTO 480
IF (TITV .EQ. ZER .AND. EMFC(1) .EQ. ZER) GOTO 670
IF (IPRIN .LT. 10) GOTO 490
WRITE (*,100) TITV,(EMFC(J),J=1,NEMF)
WRITE (JOUT,100) TITV,(EMFC(J),J=1,NEMF)
490 IP=IP+1
IF (IP .LE. MAXTP) GOTO 510
WRITE (*,500) MAXTP
WRITE (JOUT,500) MAXTP
500 FORMAT (42H THE NUMBER OF DATA POINTS IS GREATER THAN,I4)
GOTO 890
510 ME=NE+NEMF
IF (ME .LE. MAXEMF) GOTO 530
WRITE (*,520) MAXEMF
WRITE (JOUT,520) MAXEMF
520 FORMAT (40H THE NUMBER OF EXPERIMENTAL E.M.F.VALUES,
1 16H IS GREATER THAN,I3)
GOTO 890
530 NPC=IP-IPP
IF (NPC .LE. MAXPC) GOTO 550
WRITE (*,540) NPC,MAXPC
WRITE (JOUT,540) NPC,MAXPC
540 FORMAT (9H IN CURVE,I3,21H THERE ARE MORE THAN ,I4,7H POINTS)
GOTO 890
550 NWT=NWT+INCR
IF (NWT .LE. MAXWS) GOTO 570
WRITE (*,560) MAXWS
WRITE (JOUT,560) MAXWS
560 FORMAT (44H THE NUMBER OF WEIGHTS REQUIRED IS MORE THAN,I4)
GOTO 890
570 TITRE(IP)=TITV
NE=NE+1
C JEMF DETERMINES HOW MANY ELECTRODES THERE ARE AND OF WHAT TYPE
C IF THE ELECTRODE READS E.G. PH THIS IS CONVERTED INTO EMF
GOTO (580,590,600,630,640,610),JEMF
580 EMF(NE)=EMFC(1)
GOTO 660
590 EMF(NE)=EMFC(1)
EMF(NE+1)=EMFC(2)
GOTO 660
600 EMF(NE)=EZERO(NTC,1)-EMFC(1)*RTJ(NTC,1)*AL10
GOTO 660
610 DO 620 K=1,2
J=NE+K-1
620 EMF(J)=EZERO(NTC,K)-EMFC(K)*RTJ(NTC,K)*AL10
GOTO 660
630 EMF(NE+1)=EMFC(2)
GOTO 650
640 EMF(NE)=EMFC(1)
650 J=NE+IPCX-1
EMF(J)=EZERO(NTC,IPCX)-RTJ(NTC,IPCX)*EMFC(IPCX)*AL10
660 NE=NE+NEMF-1
GOTO 480
670 NPWF=NPW+INCR*NPC
C A COMPLETE CURVE HAS BEEN READ IN. THE WEIGHT MATRIX FOR THIS
C CURVE IS CALCULATED AND PLACED IN WS.
CALL WCURV (NPC,IPP,NEP,NPW,NPWF,INCR,NEMF,TITRE,EMF,WS,SIGMAV,
1 SIGMAE,NTC,MODE,RELAC,JOUT,MAXWS,MAXEMF,MAXTP,MAXPC,
2 MAXTC,MAXEL)
IF (IPRIN .LT. 5) GOTO 780

```

```

K=IPP+1
L=NEP+1
JW=NPW+1
IR=IFC(NTC,1)
GOTO (680,700),NEMF
680 WRITE (JOUT,690) JNMB(NTC,IR)
WRITE (*,690) JNMB(NTC,IR)
690 FORMAT (/20H POINT TITRE -LOG ,I1,16H E.M.F. WEIGHT/)
GOTO 720
700 IR2=IFC(NTC,2)
WRITE (*,710) JNMB(NTC,IR),JNMB(NTC,IR2)
WRITE (JOUT,710) JNMB(NTC,IR),JNMB(NTC,IR2)
710 FORMAT (/20H POINT TITRE -LOG ,I1,16H E.M.F. WEIGHT,
1 6H -LOG ,I1,28H E.M.F. WEIGHT CORRELATION/)
720 DO 770 I=K,IP
DO 730 J=1,NEMF
LJ=L+J-1
730 EMFC(J)=(EZERO(NTC,J)-EMF(LJ))/RTJ(NTC,J)/AL10
GOTO (740,750),NEMF
740 W1=WS(JW)*WS(JW)
WRITE(*,50) I,TITRE(I),EMFC(1),EMF(L),W1
WRITE(JOUT,50) I,TITRE(I),EMFC(1),EMF(L),W1
GOTO 760
750 W=WS(JW+2)
W1=WS(JW)
W3=WS(JW+1)
W2=W*(W1+W3)
W=W*W
W1=W+W1*W1
W3=W+W3*W3
WRITE (*,50) I,TITRE(I),EMFC(1),EMF(L),W1,
1 EMFC(2),EMF(L+1),W3,W2
WRITE (JOUT,50) I,TITRE(I),EMFC(1),EMF(L),W1,
1 EMFC(2),EMF(L+1),W3,W2
760 JW=JW+INCR
770 L=L+NEMF
780 IPP=IP
NEP=NE
NPW=NPWF
JTP(NTC)=IP
IF(IPRIN .GE. 5) WRITE (*,790) NPC,NTC
IF(IPRIN .GE. 5) WRITE (JOUT,790) NPC,NTC
790 FORMAT (I8,21H DATA POINTS IN CURVE,I3)
GOTO 220
800 IF (IPRIN .GE. 5) WRITE (JOUT,810) IP,NTC
IF (IPRIN .GE. 5) WRITE (*,810) IP,NTC
810 FORMAT (I5,47H DATA POINTS HAVE BEEN READ IN CORRESPONDING TO,
1 I3,17H TITRATION CURVES)
C A COMPLETE SET OF DATA HAS NOW BEEN READ IN.
IF (NSP .EQ. 0) GOTO 880
WRITE (*,820) NSP
WRITE (JOUT,820) NSP
820 FORMAT (/I3,33H SPECIAL PARAMETERS TO BE REFINED//
1 44H CURVE VALUE)
DO 860 I=1,NSP
JT=JTYP(I)
JC=JCUR(I)
JR=JREA(I)
JN=JNMB(JC,JR)
GOTO (830,840,850),JT
830 VALUE=TOTMM(JC,JR)
GOTO 860
840 VALUE=ADDC(JC,JR)
GOTO 860
850 JN=IFC(JC,JR)
VALUE=EZERO(JC,JR)
860 WRITE (JOUT,870) (NAMTYP(JT,J),J=1,10), (KEMIC(JN,J),J=1,12)
1 , JC,VALUE
WRITE (*,870) (NAMTYP(JT,J),J=1,10), (KEMIC(JN,J),J=1,12)
1 , JC,VALUE
870 FORMAT (5X,10A1,3X,12A1,I3,1PE14.4)
CALL CONSTR (NKV,NCONS,NSP,KCONS,JTYP,JCOL,JREA,JCUR,IFC,JNMB
1, NAMTYP,KEMIC,JOUT,MAXV,MAXTC,MAXCON,MAXCX,MAXEL)
880 KVSP=NKV+NSP
NPAR=KVSP-NCONS
RETURN
890 WRITE (JOUT,900)
WRITE (*,900)
900 FORMAT (42H THEREFORE RUN ABANDONED BEFORE REFINEMENT)
STOP

```

END

```

SUBROUTINE DOUS (SIGMA, IND, KEY, BETA, JPOT, PARAM, SD, JQR, PARI
1, B, LETTER, NAMTYP, KEMIC, IFC, JNMB, JCUR, JREA, JTYP
2, MAXTC, MAXEL, MAXV, MAXK, MAXCX)
DIMENSION LETTER (MAXK), JPOT (MAXK), KEY (MAXK), JQR (MAXCX, MAXK)
1, IFC (MAXTC, MAXEL), JNMB (MAXTC, MAXCX), JCUR (MAXV)
2, JREA (MAXV), JTYP (MAXV), KEMIC (MAXCX, 12), NAMTYP (3, 10)
DOUBLE PRECISION PARAM (MAXV), PARI (MAXV), BETA (MAXK)
1, SD (MAXV), B (MAXV, MAXV), SDC, SDL, XL, SDMAX, SDLIM, SIGMA
2, TOL, ACCM, DLNAM, AL10, ZER, ONE, TWO, TEN
COMMON TOL, ACCM, DLNAM, AL10, ZER, ONE, TWO, TEN, NK, NKV, NSP, KVSP, MODE
1, NCONS, NPAR, NE, NTC, NMBE0, MAXIT, IPRIN, JINP, JOUT, IFAIL, JACK
DATA SDLIM /3.30D-01/
C THE THIRD OUTPUT ROUTINE WHICH PERFORMS TWO FUNCTIONS
C IT PRINTS OUT THE PARAMETER VALUES AND ERRORS, AND CORRELATION MATRIX
C IT CHECKS FOR ANY BETA WHICH IS NEGATIVE OR HAS AN ERROR > 33 PERCENT
C IF ONE IS FOUND THE (WORST) BETA IS ELIMINATED AND IND IS SET = 2
10 FORMAT (6H BETA ,A1,9H NEGATIVE, F10.5,1HE,I3,F10.4,26X,4I3)
20 FORMAT (6H BETA ,A1,9H CONSTANT, F10.5,1HE,I3,14X,F10.5,12X,4I3)
30 FORMAT (6H BETA ,A1,9H REFINED ,F10.5,1HE,I3,F10.4,F14.5
1, 12H EXCESSIVE ,4I3)
40 FORMAT (6H BETA ,A1,9H REFINED ,F10.5,1HE,I3,F10.4,4X
1, 2F10.5,2X,4I3)
WRITE (*,50) SIGMA
WRITE (JOUT,50) SIGMA
50 FORMAT (10H SIGMA =,F10.4//18X
1, 50H VALUE REL STD DEV LOG BETA STD DEVIATION/)
K=0
IND=1
SDMAX=ZER
DO 120 I=1,NK
IF (KEY(I)) 120,60,70
60 XL=DLOG(BETA(I))/AL10+DBLE(FLOAT(JPOT(I)))
WRITE (*,20) LETTER(I),BETA(I),JPOT(I),XL,(JQR(J,I),J=1,NMBE0)
WRITE (JOUT,20) LETTER(I),BETA(I),JPOT(I),XL,(JQR(J,I),J=1,NMBE0)
GOTO 120
70 K=K+1
SDC=SD(K)
IF (BETA(I) .GT. ZER) GOTO 90
IF (SD(K) .LT. SDMAX) GOTO 80
SDMAX=SD(K)
MOST=I
80 WRITE (JOUT,10) LETTER(I),BETA(I),JPOT(I),SDC,(JQR(J,I),J=1,NMBE0)
WRITE (*,10) LETTER(I),BETA(I),JPOT(I),SDC,(JQR(J,I),J=1,NMBE0)
GOTO 120
90 XL=DLOG(BETA(I))/AL10+DBLE(FLOAT(JPOT(I)))
IF (SD(K) .LT. SDLIM) GOTO 110
IF (SD(K) .LT. SDMAX) GOTO 100
SDMAX=SD(K)
MOST=I
100 WRITE (JOUT,30) LETTER(I),BETA(I),JPOT(I),SDC,XL,
1 (JQR(J,I),J=1,NMBE0)
WRITE (*,30) LETTER(I),BETA(I),JPOT(I),SDC,XL,
1 (JQR(J,I),J=1,NMBE0)
GOTO 120
110 SDL= DABS(DLOG(1.-SD(K)))/AL10
WRITE (*,40) LETTER(I),BETA(I),JPOT(I),SDC,XL,SDL,
1 (JQR(J,I),J=1,NMBE0)
WRITE (JOUT,40) LETTER(I),BETA(I),JPOT(I),SDC,XL,SDL,
1 (JQR(J,I),J=1,NMBE0)
120 CONTINUE
IF (NSP .EQ. 0) GOTO 180
WRITE (*,130)
WRITE (JOUT,130)
130 FORMAT (/27X,46H CURVE INITIAL VALUE FINAL VALUE STD DEV/)
DO 170 I=1,NSP
L=K+I
SD(L)=SD(L)*PARAM(L)
KIND=JTYP(I)
JTC=JCUR(I)
JR=JREA(I)
IF (KIND .EQ. 3) GOTO 140
MBE=JNMB(JTC,JR)
GOTO 150
140 MBE=IFC(JTC,JR)
150 WRITE (JOUT,160) (NAMTYP(KIND,M),M=1,10), (KEMIC(MBE,M),M=1,12)
1, JTC,PARI(L),PARAM(L),SD(L)
WRITE (*,160) (NAMTYP(KIND,M),M=1,10), (KEMIC(MBE,M),M=1,12)

```


RETURN
END

```

SUBROUTINE FUNV (U, JTP, BETA, JPOT, BETAC, POTC, VINIT, TITRE, TOTMM
1,  ADDC, EZERO, RTJ, EMF, WS, RES, PQR, NKC, MKC, FREEC, CI, CX, HX, DX, DM
2,  KEY, SIG, JCOUL, JTY, JCUR, JCOL, JREA, B, C, JQR, IFC, JNMB, RTJC, JCX
3,  NEMFV, NMBEV, RELAC, MAXEMF, MAXWS, MAXTP, MAXV, MAXTC, MAXK, MAXCX
4,  MAXEL)
  DIMENSION JCUR (MAXV), JTY (MAXV), JCOL (MAXV), JREA (MAXV)
1,  JQR (MAXCX, MAXK), JPOT (MAXK), KEY (MAXK), JCOUL (MAXTC)
2,  IFC (MAXTC, MAXEL), JNMB (MAXTC, MAXCX), MKC (MAXTC, MAXK)
3,  JTP (MAXTC), NKC (MAXTC), NEMFV (MAXTC), NMBEV (MAXTC), JCX (MAXEL)
  DOUBLE PRECISION BETA (MAXK), CI (MAXK), BETAC (MAXK), POTC (MAXK)
1,  PQR (MAXCX, MAXK), B (MAXV, MAXV), C (MAXV), RES (MAXEMF)
2,  TOTMM (MAXTC, MAXCX), ADDC (MAXTC, MAXCX), EZERO (MAXTC, MAXEL)
3,  RTJ (MAXTC, MAXEL), TITRE (MAXTP), FREEC (MAXTP, MAXCX)
4,  EMF (MAXEMF), WS (MAXWS), SIG (MAXTC), VINIT (MAXTC), RTJC (MAXEL)
5,  DM (MAXCX, MAXCX), CX (MAXCX), HX (MAXCX), DX (MAXCX)
6,  DT (4), TOMM (4), TT (4), X (4), ADC (4), DY (4), TC
7,  WA (60, 2), A (60, 2), EZER (2), WM (2, 2), DER, DF, S, U, VOL, V0
8,  TOL, ACCM, DLNAM, AL10, ZER, ONE, TWO, TEN, RELAC
  COMMON TOL, ACCM, DLNAM, AL10, ZER, ONE, TWO, TEN, NK, NKV, NSP, KVSP, MODE
1,  NCONS, NPAR, NE, NTC, NMBE0, MAXIT, IPRIN, JINP, JOUT, IFAIL, JACK
C THE CORE ROUTINE OF THE MAIN MINIMISATION
  U=ZER
  IPF=0
  IEP=0
  NPW=0
C BEGINNING OF LOOP FOR EACH TITRATION CURVE. EXTRACT THE RELEVANT
C INFORMATION FROM THE GLOBAL STORAGE VARIABLES
  DO 350 JTC=1, NTC
    IPI=IPF+1
    IPF=JTP (JTC)
    NEMF=NEMFV (JTC)
    NMBE=NMBEV (JTC)
    NKC=NKC (JTC)
    SIG (JTC)=ZER
    JVOL=JCOUL (JTC)
    IF (JVOL .EQ. 0) V0=VINIT (JTC)
    IF (JVOL .EQ. 1) VOL=VINIT (JTC)
    IF (JVOL .EQ. 0) VOL=V0+TITRE (IPI)
    DO 10 J=1, NMBE
      TOMM (J)=TOTMM (JTC, J)
      ADC (J)=ADDC (JTC, J)
      TC=(TOMM (J)+TITRE (IPI)*ADC (J))/VOL
    10 CX (J)=ZER
C THE FREE CONCENTRATION AT THE FIRST POINT IN A CURVE ON CYCLE 1 ONLY
    DO 20 I=1, NEMF
      JCX (I)=IFC (JTC, I)
      RTJC (I)=RTJ (JTC, I)
      J=JCX (I)
      IEP=IEP+I
      EZER (I)=EZERO (JTC, I)
    20 CX (J)=DEXP ((EMF (IEP)-EZER (I))/RTJC (I))
C THE FREE CONCENTRATION AT THE FIRST POINT IN A CURVE ON CYCLE 1 ONLY
    DO 40 K=1, NKC
      I=MKC (JTC, K)
      DO 30 J=1, NMBE
        L=JNMB (JTC, J)
    30 PQR (J, K)=DBLE (FLOAT (JQR (L, I)))
        POTC (K)=AL10*DBLE (FLOAT (JPOT (I)))
    40 BETAC (K)=BETA (I)
C BEGINNING OF THE LOOP THROUGH ALL POINTS IN A CURVE
    DO 340 IP=IPI, IPF
      IF (JVOL .EQ. 0) VOL=V0+TITRE (IP)
      DO 50 J=1, NMBE
    50 TT (J)=(TOMM (J)+TITRE (IP)*ADC (J))/VOL
        IF (JACK .EQ. 3) GOTO 70
C THIS IS TRUE ONLY ON CYCLE 1. THEN ESTIMATES OF FREE CONCENTRATION
C ARE TAKEN AS THE VALUES AT THE PREVIOUS POINT. ON SUBSEQUENT
C CYCLES THE ESTIMATES ARE TAKEN AS THE VALUES AT THE PREVIOUS CYCLE
    DO 60 J=1, NMBE
    60 CX (J)=FREEC (IP, J)
    70 CALL CCFR (NMBE, NKC, IFAIL, CX, TT, HX, DT, DM, DX, BETAC, POTC
      1,  CI, PQR, RELAC, TOL, MAXK, MAXCX, ACCM, DLNAM)
      IF (IFAIL .EQ. 1) GOTO 100
C CALCULATION OF FREE CONCENTRATIONS HAS FAILED ALMOST CERTAINLY
C DUE TO THERE BEING PARAMETER(S) HAVING A WRONG SIGN, E.G.
C NEGATIVE FORMATION CONSTANTS

```

```

      IF (IFAIL .EQ. 6 .AND. IPRIN .GT. 3) WRITE (*,80) IP
      IF (IFAIL .EQ. 6 .AND. IPRIN .GT. 3) WRITE (JOUT,80) IP
80  FORMAT (48H FREE CONCENTRATIONS CALCULATION FAILED AT POINT,I4)
      IF (IFAIL .EQ. 7 .AND. IPRIN .GT. 3) WRITE (*,90) IP
      IF (IFAIL .EQ. 7 .AND. IPRIN .GT. 3) WRITE (JOUT,90) IP
90  FORMAT (32H 100 ITERATIONS IN CCFR AT POINT,I4)
      RETURN
100 DO 110 J=1,NMBE
110 FREEC(IP,J)=CX(J)
C THE FREE CONCENTRATIONS ARE NOW STORED IN FREEC. THE WEIGHTED
C RESIDUALS ON EMF WILL BE STORED IN RES
      DO 120 I=1,NEMF
      IE=IEP+I
      JC=JCX(I)
      DY(I)=EMF(IE)-EZER(I)-RTJC(I)*DLOG(CX(JC))
      NPW=NPW+1
120  WM(I,I)=WS(NPW)
      IF (NEMF .EQ. 1) GOTO 130
      NPW=NPW+1
      WM(1,2)=WS(NPW)
      WM(2,1)=WS(NPW)
130  DO 150 I=1,NEMF
      IE=IEP+I
      S=ZER
      DO 140 J=1,NEMF
140  S=S+WM(I,J)*DY(J)
      RES(IE)=S
      S=S*S
      SIG(JTC)=SIG(JTC)+S
150  U=U+S
C U NOW HOLDS THE SUM OF WEIGHTED SQUARED RESIDUALS
      IF (JACK .EQ. 2) GOTO 340
C WITH JACK=1 OR 3 THE JACOBIAN WILL BE CALCULATED AND STORED IN ARRAY A
C THE WEIGHTED JACOBIAN WILL BE IN ARRAY WA
      DO 160 I=1,NEMF
      DO 160 J=1,NPAR
160  A(J,I)=ZER
      CALL INVERT (DM,DX,MAXCX,NMBE)
      DO 170 J=1,NMBE
      DO 170 K=J,NMBE
170  DM(J,K)=DM(K,J)
      IF (NKV .EQ. 0) GOTO 240
      DO 230 K=1,NKC
      KK=MKC(JTC,K)
      IF (KEY(KK) .EQ. 0) GOTO 230
      IK=0
      DO 180 L=1,NK
      IF (KEY(L) .NE. 1) GOTO 180
      IK=IK+1
      IF (KK .EQ. L) GOTO 190
180  CONTINUE
190  DO 200 J=1,NMBE
200  X(J)=-PQR(J,K)*CI(K)
      DO 220 I=1,NEMF
      L=JCX(I)
      DER=ZER
      DO 210 J=1,NMBE
210  DER=DER+DM(L,J)*X(J)
C DE(I)/DBETA(IK)
220  A(IK,I)=DER*RTJC(I)
230  CONTINUE
240  IF (NSP .EQ. 0) GOTO 310
      DO 300 JP=1,NSP
      IF (JCUR(JP) .NE. JTC) GOTO 300
      IK=JCOL(JP)
      KIND=JTYP(JP)
      J=JREA(JP)
      GOTO (250,270,290),KIND
250  DO 260 I=1,NEMF
      L=JCX(I)
C DE(I)/DTOTAL(J)
260  A(IK,I)=A(IK,I)+RTJC(I)*DM(L,J)*TOMM(J)/VOL
      GOTO 300
270  DO 280 I=1,NEMF
      L=JCX(I)
C DE(I)/DADDED(J)
280  A(IK,I)=A(IK,I)+RTJC(I)*DM(L,J)*ADC(J)*TITRE(IP)/VOL
      GOTO 300
C DE(J)/DEZERO(J)
290  A(IK,J)=A(IK,J)+EZER(J)

```



```

300 CONTINUE
310 DO 320 I=1,NPAR
    DO 320 J=1,NEMF
        S=ZER
        DO 320 K=1,NEMF
            S=S+A(I,K)*WM(K,J)
        320 WA(I,J)=S
C ACCUMULATE THE NORMAL EQUATIONS MATRIX IN B AND THE GRADIENT VECTOR
C IN ARRAY C
    DO 330 I=1,NEMF
        IE=IEP+I
        DO 330 J=1,NPAR
            C(J)=C(J)+WA(J,I)*RES(IE)
        DO 330 K=J,NPAR
330 B(J,K)=B(J,K)+WA(J,I)*WA(K,I)
340 IEP=IEP+NEMF
        DF=DBLE(FLOAT((IPF-IEP+1)*NEMF))
350 SIG(JTC)=DSQRT(SIG(JTC)/DF)
    RETURN
    END

    SUBROUTINE INVERT(B,D,MAXV,N)
    DOUBLE PRECISION B(MAXV,MAXV),D(MAXV),Z,ONE
    DATA ONE/1.D00/
C COMPLETES THE INVERSION OF THE MATRIX B, WHICH HAS BEEN FACTORISED BY
C FACT. ON ENTRY THE STRICT LOWER TRIANGLE HOLDS THE CHOLSKI FACTOR,
C AND D HOLDS THE DIAGONAL CHOLSKI FACTORS. ON EXIT THE LOWER TRIANGLE
C OF B HOLDS THE INVERSE OF THE ORIGINAL B MATRIX. THE DIAGONAL ELEMENTS
C OF THE ORIGINAL ARE OVERWRITTEN.
C                                     -1
C FORWARD SUBSTITUTION LL =E
    IF (N .EQ. 1) GOTO 80
    DO 40 JCOL=1,N
        B(JCOL,JCOL)=ONE
        K1=JCOL+1
        IF (K1 .GT. N) GOTO 40
        DO 30 JROW = K1,N
            Z=-B(JROW,JCOL)
            K2=JROW-1
            IF (K1 .GT. K2) GOTO 20
            DO 10 K=K1,K2
                10 Z=Z-B(JROW,K)*B(K,JCOL)
            20 B(JROW,JCOL)=Z
        30 CONTINUE
        40 CONTINUE
C                                     T -1 -1 -1
C COMPLETE THE INVERSION BY MULTIPLYING OUT (L) D (L)
C
    DO 70 JCOL=1,N
    DO 60 JROW=JCOL,N
        Z=0.D00
        DO 50 K=JROW,N
50 Z=Z+B(K,JCOL)*B(K,JROW)/D(K)
60 B(JROW,JCOL)=Z
70 CONTINUE
    RETURN
80 B(1,1)=ONE/D(1)
    RETURN
    END

    SUBROUTINE PTSNS (PARAM,BETA,TOTMM,ADDC,EZERO,KEY,JTYP,JCUR,JCOL
1, JREA, LETTER,MAXV,MAXTC,MAXK,MAXCX,MAXEL)
    DIMENSION LETTER (MAXK),KEY (MAXK)
    DIMENSION JCOL (MAXV),JREA (MAXV),JTYP (MAXV),JCUR (MAXV)
    DOUBLE PRECISION BETA (MAXK),PARAM (MAXV),ADDC (MAXTC,MAXCX)
1, TOTMM (MAXTC,MAXCX),EZERO (MAXTC,MAXEL)
2, TOL,ACCM,DLNAM,AL10,ZER,ONE,TWO,TEN
    COMMON TOL,ACCM,DLNAM,AL10,ZER,ONE,TWO,TEN,NK,NKV,NSP,KVSP,MODE
1, NCONS,NPAR,NE,NTC,NMBEO,MAXIT,IPRIN,JINP,JOUT,IFAIL,JACK
C CONVERTS PARAMETERS TO SPECIAL NAMES AFTER CHECKING IF ANY ARE ZERO
C FIRST RECOVER THE REFINABLE FORMATION CONSTANTS
    K=0
    DO 30 IK=1,NK
        IF (KEY(IK) .NE. 1) GOTO 30
        K=K+1
        IF (DABS(PARAM(K)) .GT. ACCM) GOTO 20
        WRITE (*,10) LETTER(IK)
        WRITE (JOUT,10) LETTER(IK)

```

```

10 FORMAT (6H BETA ,A1,32H IS ZERO - REFINEMENT ABANDONED)
STOP
20 BETA (IK)=PARAM (K)
30 CONTINUE
IF (NSP .EQ. 0) RETURN
C NOW RECOVER THE DANGEROUS PARAMETERS
DO 70 K=1,NSP
KOL=NKV+K
IF (DABS (PARAM (KOL)) .LE. ACCM) GOTO 80
KIND=JTYP (K)
JR=JREA (K)
JC=JCUR (K)
GOTO (40,50,60),KIND
40 TOTMM (JC,JR)=PARAM (KOL)
GOTO 70
50 ADDC (JC,JR)=PARAM (KOL)
GOTO 70
60 EZERO (JC,JR)=PARAM (KOL)
70 CONTINUE
RETURN
80 WRITE (JOUT,90) K,JC,KIND,JR
WRITE (*,90) K,JC,KIND,JR
90 FORMAT (19H SPECIAL PARAMETER ,I2,8H (CURVE ,I2,6H, TYPE,I2
1, 10H, REACTANT,I2,9H) IS ZERO/21H REFINEMENT ABANDONED)
STOP
END

SUBROUTINE REFB (NK,NMBE,NTC,JNMB,JQR,KEY,MKC,NKCV,MAXCX,MAXK
1, MAXTC)
DIMENSION JNMB (MAXTC,MAXCX),JQR (MAXCX,MAXK),KEY (MAXK),NKCV (MAXTC)
1, MKC (MAXTC,MAXK)
C POINTER MKC SPECIFIES THE REFINABLE BETAS IN EACH TITRATION CURVE
C NKCV COUNTS THE NUMBER OF THEM
DO 40 IC=1,NTC
N=0
DO 30 K=1,NK
IF (KEY (K) .EQ. (-1)) GOTO 30
KK=1
DO 20 I=1,NMBE
J=JNMB (IC,KK)
IF (I .EQ. J) GOTO 10
IF (JQR (I,K) .EQ. 0) GOTO 20
GOTO 30
10 KK=KK+1
20 CONTINUE
N=N+1
MKC (IC,N)=K
30 CONTINUE
40 NKCV (IC)=N
RETURN
END

SUBROUTINE RESPLO (NEMFV,RES,JTP,IFC,JNMB,SIGMA,NTC,JOUT
1, MAXCX,MAXW,MAXTC,MAXEL,MAXEMF)
DIMENSION JK (3),JSD (8),LINBUF (117),NEMFV (MAXTC),JTP (MAXTC)
1, IFC (MAXTC,MAXEL),JNMB (MAXTC,MAXCX)
DOUBLE PRECISION RES (MAXEMF),SIGMA,FNX,R,P25
DATA JBLANK,JPLUS,JSD (1),JSD (2),JSD (3),JSD (4),JSD (5),JSD (6),JSD (7)
1,JSD (8),MINUS/1H,1H+,1H3,1H2,1H1,1H0,1H1,1H2,1H3,1H4,1H-/
DATA P25/2.5D00/
C PLOTS THE RESIDUALS STORED IN RES. THE PLOTS ARE AUTOMATICALLY
C SCALED TO +- 3 STANDARD DEVIATIONS
10 FORMAT (I4,117A1)
NX=(MAXW-5)/6
FNX=DBLE (FLOAT (NX))
LAST=NX*6+2
WRITE (*,20) SIGMA
WRITE (JOUT,20) SIGMA
20 FORMAT (31H1 RESIDUALS PLOTS - UNITS OF SD,F10.4/)
DO 30 K=1,LAST
30 LINBUF (K)=JBLANK
DO 40 J=1,7
K=2+(J-1)*NX
IF (J .LT. 4) LINBUF (K-1)=MINUS
40 LINBUF (K)=JSD (J)
WRITE (*,50) (LINBUF (K),K=1,LAST)
WRITE (JOUT,50) (LINBUF (K),K=1,LAST)
50 FORMAT (4H ,117A1)

```

```

WRITE (*, 50) (JPLUS, K=1, LAST)
WRITE (JOUT, 50) (JPLUS, K=1, LAST)
JK(1)=1
JK(2)=1
IE=0
JP=1
DO 110 JTC=1, NTC
NEMF=NEMFV(JTC)
NP=JTP(JTC)
DO 60 K=1, LAST
60 LINBUF(K)=JBLANK
DO 100 IP=JP, NP
DO 70 K=1, NEMF
JKK=JK(K)
70 LINBUF(JKK)=JBLANK
DO 80 K=2, LAST, NX
80 LINBUF(K)=JPLUS
DO 90 JE=1, NEMF
IE=IE+1
R=RES(IE)
R=R*FNX/SIGMA+P25
K=IDINT(R)+3*NX
IF(K.LT.2)K=2
IF(K.GT.LAST)K=LAST
JK(JE)=K
KE=IFC(JTC, JE)
KE=JNMB(JTC, KE)
90 LINBUF(K)=JSD(KE+4)
100 WRITE (JOUT, 10) IP, (LINBUF(K), K=1, LAST)
WRITE (JOUT, 50) (JPLUS, K=1, LAST)
WRITE (*, 10) IP, (LINBUF(K), K=1, LAST)
WRITE (*, 50) (JPLUS, K=1, LAST)
110 JP=NP+1
RETURN
END

SUBROUTINE RESTAB(JTP, RES, EMF, NEMFV, SIG, JOUT, NTC, MAXEMF, MAXTC)
DIMENSION JTP(MAXTC), NEMFV(MAXTC)
DOUBLE PRECISION SIG(MAXTC), RES(MAXEMF), EMF(MAXEMF)
C PRINTS A TABLE OF WEIGHTED RESIDUALS STORED IN RES
10 FORMAT (/6H CURVE, I3, 9H SIGMA =, F9.4)
20 FORMAT (7X, 19H OBSD WEIGHTED/
1 7X, 20H POTENTIAL RESIDUAL)
30 FORMAT (7X, 39H OBSD WEIGHTED OBSD WEIGHTED/
1 7X, 40H POTENTIAL RESIDUAL POTENTIAL RESIDUAL)
40 FORMAT (15, 4F10.2)
50 FORMAT (1H1)
WRITE (*, 50)
WRITE (JOUT, 50)
IPI=1
IE=0
DO 90 JTC=1, NTC
NEMF=NEMFV(JTC)
WRITE (*, 10) JTC, SIG(JTC)
WRITE (JOUT, 10) JTC, SIG(JTC)
IF (NEMF .EQ. 1) WRITE (*, 20)
IF (NEMF .EQ. 2) WRITE (*, 30)
IF (NEMF .EQ. 1) WRITE (JOUT, 20)
IF (NEMF .EQ. 2) WRITE (JOUT, 30)
IPF=JTP(JTC)
DO 80 I=IPI, IPF
GOTO (60, 70), NEMF
60 WRITE (JOUT, 40) I, EMF(IE+1), RES(IE+1)
WRITE (*, 40) I, EMF(IE+1), RES(IE+1)
GOTO 80
70 WRITE (JOUT, 40) I, EMF(IE+1), RES(IE+1), EMF(IE+2), RES(IE+2)
WRITE (*, 40) I, EMF(IE+1), RES(IE+1), EMF(IE+2), RES(IE+2)
80 IE=IE+NEMF
90 IPI=IPF+1
RETURN
END

SUBROUTINE SNTPS (PARAM, BETA, TOTMM, ADDC, EZERO, JTYP, JCUR, JREA
1, JCOL, KEY, LETTER, MAXV, MAXTC, MAXK, MAXCX, MAXEL)
DIMENSION KEY(MAXK), JTYP(MAXV), JCUR(MAXV), JREA(MAXV)
1, JCOL(MAXV), LETTER(MAXK)
DOUBLE PRECISION PARAM(MAXV), BETA(MAXK), TOTMM(MAXTC, MAXCX)
1, ADDC(MAXTC, MAXCX), EZERO(MAXTC, MAXEL)

```

```

2,      TOL, ACCM, DLNAM, AL10, ZER, ONE, TWO, TEN
COMMON TOL, ACCM, DLNAM, AL10, ZER, ONE, TWO, TEN, NK, NKV, NSP, KVSP, MODE
1,      NCONS, NPAR, NE, NTC, NMBE0, MAXIT, IPRIN, JINP, JOUT, IFAIL, JACK
C CONVERTS SPECIAL NAMES TO PARAMETERS FOR USE IN MAIN REFINEMENT
K=0
DO 30 IK=1, NK
IF (KEY(IK) .LT. 1) GOTO 30
IF (DABS(BETA(IK)) .GT. ACCM) GOTO 20
WRITE (*, 10) LETTER(IK)
WRITE (JOUT, 10) LETTER(IK)
10 FORMAT (6H BETA ,A1,32H IS ZERO - REFINEMENT ABANDONED)
STOP
20 K=K+1
PARAM(K)=BETA(IK)
30 CONTINUE
IF (NSP .EQ. 0) GOTO 100
DO 90 K=1, NSP
L=NKV+K
JR=JREA(K)
JC=JCUR(K)
JT=JTYP(K)
GOTO (40, 50, 60), JT
40 PARAM(L)=TOTMM(JC, JR)
GOTO 70
50 PARAM(L)=ADDC(JC, JR)
GOTO 70
60 PARAM(L)=EZERO(JC, JR)
70 IF (DABS(PARAM(L)) .GT. ACCM) GOTO 90
WRITE (*, 80) K, JC, JT, JR
WRITE (JOUT, 80) K, JC, JT, JR
80 FORMAT (19H SPECIAL PARAMETER , I2, 8H (CURVE , I2, 6H, TYPE, I2
1,      10H, REACTANT, I2, 9H) IS ZERO/21H REFINEMENT ABANDONED)
STOP
90 CONTINUE
100 RETURN
END

SUBROUTINE STANS (NAME, JTP, RES, EMF, SIGMA, NEMFV, NMBEV, JQR, PQR
1,      TOTMM, ADDC, VINIT, TITRE, BETA, JPOT, BETAC, POTC, MKC, CI
2,      JFP, FREEC, JCOUL, JS, CS, SIG, IFC, JNMB, LETTER, KEMIC, NKCV
3,      MAXEMF, MAXTP, MAXTC, MAXK, MAXCX, MAXEL)
DIMENSION NAME(72), LETTER(MAXK), KEMIC(MAXCX, 12), LINBUF(198)
1,      NKCV(MAXTC), MKC(MAXTC, MAXK), IFC(MAXTC, MAXEL), JTP(MAXTC)
2,      NEMFV(MAXTC), NMBEV(MAXTC), JCOUL(MAXTC), JS(MAXK)
3,      JPOT(MAXK), JFP(MAXTC, MAXCX), JNMB(MAXTC, MAXCX), JQR(MAXCX, MAXK)
DOUBLE PRECISION SIG(MAXTC), VINIT(MAXTC), RES(MAXEMF), EMF(MAXEMF)
1,      BETA(MAXK), CI(MAXK), BETAC(MAXK), POTC(MAXK), PQR(MAXCX, MAXK)
2,      TOTMM(MAXTC, MAXCX), ADDC(MAXTC, MAXCX), FREEC(MAXTP, MAXCX)
3,      TITRE(MAXTP), CS(MAXK)
4,      CX(4), HX(4), TOMM(4), ADC(4), FNX, TS, VOL, V0, X, P25, SIGMA
5,      TOL, ACCM, DLNAM, AL10, ZER, ONE, TWO, TEN
COMMON TOL, ACCM, DLNAM, AL10, ZER, ONE, TWO, TEN, NK, NKV, NSP, KVSP, MODE
1,      NCONS, NPAR, NE, NTC, NMBE0, MAXIT, IPRIN, JINP, JOUT, IFAIL, JACK
DATA JPLUS, JBLANK, JSTAR, JOP, JCP, K0, K1, K5, P25
1      / 1H+, 1H, 1H+, 1H(, 1H), 1H0, 1H1, 1H5, 2.5D00/
C THE 4TH OUTPUT ROUTINE WHICH MAY GIVE CONCENTRATION PLOTS, RESIDUAL
C PLOTS, TABLES OF SPECIES, TOTAL, FREE CONCENTRATIONS, RESIDUALS.
10 FORMAT (I5, 1PE11.3, 5E11.3/7X, 6E11.3/9X, 6E11.3)
20 FORMAT (I4, 116A1)
30 FORMAT (10H POINT , 66A1/12X, 66A1/14X, 66A1)
40 FORMAT(4H , 117A1)
MAXW=80
C MAXW SETS THE MAXIMUM WIDTH OF THE PLOTS TO 80 CHARACTERS
IF (IPRIN .LT. 6) GOTO 50
CALL RESTAB(JTP, RES, EMF, NEMFV, SIG, JOUT, NTC, MAXEMF, MAXTC)
50 IF (IPRIN .LT. 2) GOTO 60
CALL RESPLO (NEMFV, RES, JTP, IFC, JNMB, SIGMA, NTC, JOUT
1,      MAXCX, MAXW, MAXTC, MAXEL, MAXEMF)
60 IF (IPRIN .LT. 7) GOTO 160
C THE CONCENTRATIONS OF THE SPECIES ARE RECALCULATED FROM THE
C FREE CONCENTRATIONS. A TABLE IS PRINTED OF THE CONCENTRATIONS
C IN MMOLES PER LITRE.
WRITE (*, 70) NAME
WRITE (JOUT, 70) NAME
70 FORMAT (33H1 TABLE OF SPECIES CONCENTRATIONS/1H , 72A1/)
DO 80 K=1, 198
80 LINBUF(K)=JBLANK
IPI=1
DO 150 JTC=1, NTC

```

```

IPF=JTP(JTC)
NMBE=NMBEV(JTC)
NKC=NKCV(JTC)
NS=0
DO 110 K=1,NKC
M=MKC(JTC,K)
JK=1
DO 90 J=1,NMBE
L=JNMB(JTC,J)
IF (JQR(L,M) .NE. 0) JK=2
90 PQR(J,K)=DBLE(FLOAT(JQR(L,M)))
IF ( JK .EQ. 1) GOTO 100
MS=11*NS
LINBUF(MS+1)=JOP
LINBUF(MS+2)=LETTER(M)
LINBUF(MS+3)=JCP
NS=NS+1
JS(NS)=K
100 BETAC(K)=BETA(M)
110 POTC(K)=AL10*DBLE(FLOAT(JPOT(M)))
MS3=MS+3
WRITE (*,30) (LINBUF(J),J=1,MS3)
WRITE (JOUT,30) (LINBUF(J),J=1,MS3)
DO 140 IP=IPI,IPF
DO 120 K=1,NMBE
120 CX(K)=FREEC(IP,K)
CALL CCCS (BETAC,POTC,PQR,CX,HX,MAXK,MAXCX,NKC,NMBE,DLNAM,CI)
C THE CONCENTRATIONS OF THE COMPLEX SPECIES ARE NOW IN CI
DO 130 J=1,NS
JJ=JS(J)
130 CS(J)=CI(JJ)
140 WRITE (JOUT,10) IP,(CS(J),J=1,NS)
WRITE (*,10) IP,(CS(J),J=1,NS)
150 IPI=IPF+1
160 IF ( IPRIN .LT. 9) GOTO 170
CALL TOTTAB(NAME,KEMIC,JTP,NMBEV,VINIT,JCOUL,TITRE
1, JOUT,NTC,JNMB,TOTMM,ADDC,FREEC,TOMM,MAXTC,MAXTP,MAXCX)
170 IF (IPRIN .LT. 3) GOTO 310
C PLOT OF THE RELATIVE CONCENTRATIONS OF THE SPECIES. THEY ARE
C RECALCULATED FROM THE FREE CONCENTRATIONS
C LINBUF IS A LINE BUFFER INTO WHICH LETTERS
C CORRESPONDING TO EACH BETA ARE INSERTED AT A POSITION PROPORTIONAL
C TO THE SPECIES CONCENTRATION DIVIDED BY ONE TOTAL CONCENTRATION
DO 300 I=1,NMBE0
IPI=1
DO 290 JTC=1,NTC
IPF=JTP(JTC)
JT=0
DO 180 J=1,NMBE0
IF (I .NE. JFP(JTC,J)) GOTO 180
JT=I
GOTO 185
180 CONTINUE
185 IF (JT .EQ. 0) GOTO 290
NMBE=NMBEV(JTC)
IF (I .GT. NMBE) GOTO 290
JVOL=JCOUL(JTC)
NKC=NKCV(JTC)
IF (JVOL .EQ. 0) V0=VINIT(JTC)
IF (JVOL .EQ. 1) VOL=VINIT(JTC)
DO 190 J=1,NMBE
IF (JNMB(JTC,J) .EQ. JT) JR=J
TOMM(J)=TOTMM(JTC,J)
190 ADC(J)=ADDC(JTC,J)
DO 210 K=1,NKC
M=MKC(JTC,K)
DO 200 J=1,NMBE
L=JNMB(JTC,J)
200 PQR(J,K)=DBLE(FLOAT(JQR(L,M)))
POTC(K)=AL10*DBLE(FLOAT(JPOT(M)))
210 BETAC(K)=BETA(M)
WRITE (*,220) (NAME(L),L=1,72),JTC,(KEMIC(JT,L),L=1,12)
WRITE (JOUT,220) (NAME(L),L=1,72),JTC,(KEMIC(JT,L),L=1,12)
220 FORMAT (1H1,72A1/6H CURVE,13/31H PERCENT FORMATION RELATIVE TO ,
1 23HTOTAL CONCENTRATION OF ,12A1/)
NX=(MAXW-5)/10
FNX=DBLE(FLOAT(10*NX))
LAST=2+10*NX
DO 230 K=1, LAST
230 LINBUF(K)=JBLANK

```

```

K=5*NX+2
LINBUF(2)=K0
LINBUF(K-1)=K5
LINBUF(K)=K0
LINBUF(LAST-2)=K1
LINBUF(LAST-1)=K0
LINBUF(LAST)=K0
WRITE(*,40) (LINBUF(K),K=1, LAST)
WRITE(JOUT,40) (LINBUF(K),K=1, LAST)
LINBUF(5*NX+1)=JBLANK
LINBUF(LAST-2)=JBLANK
LINBUF(LAST-1)=JBLANK
DO 240 K=2, LAST, NX
240 LINBUF(K)=JPLUS
WRITE(*,40) (LINBUF(K),K=1, LAST)
WRITE(*,40) (JPLUS,K=1, LAST)
WRITE(JOUT,40) (LINBUF(K),K=1, LAST)
WRITE(JOUT,40) (JPLUS,K=1, LAST)
DO 280 IP=IPI, IPF
IF (JVOL .EQ. 0) VOL=V0+TITRE(IP)
TS=(TOMM(JR)+TITRE(IP)*ADC(JR))/VOL
DO 250 K=1, NMBE
250 CX(K)=FREEC(IP,K)
CALL CCCS (BETAC,POTC,PQR,CX,HX,MAXK,MAXCX,NKC,NMBE,DLNAM,CI)
C THE CONCENTRATIONS OF THE COMPLEX SPECIES ARE NOW IN CI
DO 260 K=1, LAST
260 LINBUF(K)=JBLANK
LINBUF(2)=JPLUS
LINBUF(LAST)=JPLUS
DO 270 J=1, NKC
L=MKC(JTC,J)
X=CI(J)*PQR(JR,J)*FNX/TS+P25
K=IDINT(X)
IF(K.LE.2) GOTO 270
IF(K.GT.LAST)K=LAST
LINBUF(K)=LETTER(L)
270 CONTINUE
X=CX(JR)*FNX/TS+P25
K=IDINT(X)
IF (K .LE. 2) GOTO 280
IF (K .GT. LAST) K=LAST
LINBUF(K)=JSTAR
280 WRITE (JOUT,20) IP, (LINBUF(K),K=1, LAST)
WRITE (*,20) IP, (LINBUF(K),K=1, LAST)
290 IPI=IPF+1
300 CONTINUE
310 RETURN
END

SUBROUTINE TOTTAB(NAME,KEMIC,JTP,NMBEV,VINIT,JCOUL,TITRE
1, JOUT,NTC,JNMB,TOTMM,ADDC,FREEC,TOMM,MAXTC,MAXTP,MAXCX)
DIMENSION NAME(72),KEMIC(MAXCX,12),JTP(MAXTC),NMBEV(MAXTC)
DIMENSION JCOUL(MAXTC),JNMB(MAXTC,MAXCX)
DOUBLE PRECISION TITRE(MAXTP),TOTMM(MAXTC,MAXCX),ADDC(MAXTC,MAXCX)
1, FREEC(MAXTP,MAXCX),TOMM(MAXCX),VINIT(MAXTC),VOL,V0
C PRINTS A TABLE OF TOTAL AND FREE CONCENTRATIONS OF REAGENTS
10 FORMAT (I4,1PE9.2,7E9.2)
WRITE (*,20) NAME
WRITE (JOUT,20) NAME
20 FORMAT (28H1REAGENT CONCENTRATION TABLE/1H ,72A1/)
IPI=1
DO 80 JTC=1,NTC
IPF=JTP(JTC)
NMBE=NMBEV(JTC)
JVOL=JCOUL(JTC)
IF (JVOL .EQ. 0) V0=VINIT(JTC)
IF (JVOL .EQ. 1) VOL=VINIT(JTC)
N1=1
N3=NMBE+1
N4=NMBE+NMBE
WRITE (*,30) JTC,N1,NMBE,N3,N4
WRITE (JOUT,30) JTC,N1,NMBE,N3,N4
30 FORMAT (6H CURVE,I3/5H COLS,I3,3H TO,I3,12H TOTAL. COLS,I3,3H TO,
1 I3,29H FREE CONCENTRATIONS MOL DM-3)
DO 40 J=1,NMBE
K=JNMB(JTC,J)
40 WRITE (JOUT,50) J,K,(KEMIC(K,L),L=1,12)
WRITE (*,50) J,K,(KEMIC(K,L),L=1,12)
50 FORMAT (7H COLUMN,I2,8H REAGENT,I2,12A1)

```

```

DO 70 IP=IPI,IPF
IF (JVOL .EQ. 0) VOL=V0+TITRE(IP)
DO 60 J=1,NMBE
60 TOMM(J)=(TOTMM(JTC,J)+TITRE(IP)*ADDC(JTC,J))/VOL
70 WRITE (JOUT,10) IP,(TOMM(J),J=1,NMBE),(FREEC(IP,J),J=1,NMBE)
WRITE (*,10) IP,(TOMM(J),J=1,NMBE),(FREEC(IP,J),J=1,NMBE)
80 IPI=IPF+1
RETURN
END

SUBROUTINE TRYMOD (IND,NMODEL,MODEL,JCOL,KEY,NK,NKV,NSP
1, NPAR,KVSP,JOUT,MAXV,MAXK,MAXMOD)
DIMENSION JCOL(MAXV),MODEL(2,MAXMOD),KEY(MAXK),IAN(2)
C GENERATES AN INTEGER WHOSE DIGITS REPRESENT IN BASE 3 ARITHMETIC
C 0 FOR A BETA WHOSE KEY IS -1, 1 FOR A BETA WHOSE KEY IS 0 AND 2 FOR
C A BETA WHOSE KEY IS 1. INFORMATION ON THE FIRST 9 BETAS IS STORED IN
C MODEL(1,NMODEL) AND FOR THE OTHERS IN MODEL(2,NMODEL). THIS ALLOWS
C DATA ON 18 BETAS TO BE KEPT IN MACHINES WITH 16 BIT INTEGER PRECISION
C ON EXIT IND IS 1 OR TWO IF THIS MODEL WAS REFINED BEFORE OR NOT.
IND=1
KV=0
IAN(1)=0
IAN(2)=0
J=1
DO 30 K=1,NK
IF(K .GT. 9) J=2
IAN(J)=IAN(J)*3
IF (KEY(K)) 30,10,20
10 IAN(J)=IAN(J)+1
GOTO 30
20 IAN(J)=IAN(J)+2
KV=KV+1
30 CONTINUE
IF (NMODEL .EQ. 0) GOTO 50
DO 40 K=1,NMODEL
IF (IAN(1) .EQ. MODEL(1,K) .AND. IAN(2) .EQ. MODEL(2,K)) GOTO 110
40 CONTINUE
50 NMODEL=NMODEL+1
IF (NMODEL .LE. MAXMOD) GOTO 70
WRITE (*,60) MAXMOD
WRITE (JOUT,60) MAXMOD
60 FORMAT (28H TOO MANY MODELS - MORE THAN,I3)
STOP
70 MODEL(1,NMODEL)=IAN(1)
MODEL(2,NMODEL)=IAN(2)
IF (NKV .EQ. KV) RETURN
NV=KV-NKV
KVSP=KVSP+NV
IF (KVSP .LE. MAXV) GOTO 90
WRITE (*,80) MAXV,(KEY(K),K=1,NK)
WRITE (JOUT,80) MAXV,(KEY(K),K=1,NK)
80 FORMAT (41H THIS MODEL CANNOT BE REFINED - MORE THAN,I3,
1 10H PARAMTERS/18I3)
IND=2
RETURN
90 NPAR=NPAR+NV
NKV=KV
IF (NSP .EQ. 0) RETURN
DO 100 I=1,NSP
100 JCOL(I)=JCOL(I)+NV
RETURN
110 IND=2
RETURN
END

SUBROUTINE WCALC (WS,TITRE,FREEC,NMBEV,NEMFV,NKCV,JCOUL
1, VINIT,JTP,SIGMAV,SIGMAE,IFC,RTJ,JNMB
2, ADDC,TOTMM,MKC,CI,KEY,PQR,JQR,BETAC,POTC
3, CX,DX,HX,DM,RTJC,JCX,BETA,JPOT,RELAC
4, MAXWS,MAXTP,MAXTC,MAXK,MAXCX,MAXEL)
DIMENSION NMBEV(MAXTC),NEMFV(MAXTC),NKCV(MAXTC)
1, JCOUL(MAXTC),JTP(MAXTC),IFC(MAXTC,MAXEL)
2, MKC(MAXTC,MAXK),JNMB(MAXTC,MAXCX),JCX(MAXEL)
3, JPOT(MAXK),KEY(MAXK),JQR(MAXCX,MAXK)
DOUBLE PRECISION WS(MAXWS),TITRE(MAXTP),FREEC(MAXTP,MAXCX)
1, VINIT(MAXTC),SIGMAV(MAXTC),SIGMAE(MAXTC,MAXEL)
2, RTJ(MAXTC,MAXEL),ADDC(MAXTC,MAXCX),TOTMM(MAXTC,MAXCX)
3, CI(MAXK),BETAC(MAXK),POTC(MAXK),BETA(MAXK)

```

```

4,      PQR (MAXCX,MAXK) ,CX (MAXCX) ,HX (MAXCX) ,DX (MAXCX)
5,      DM (MAXCX,MAXCX) ,RTJC (MAXEL) ,HNUM (4) ,VOL, V0, RECV0, W
6,      RELAC, TOL, ACCM, DLNAM, AL10, ZER, ONE, TWO, TEN
COMMON TOL, ACCM, DLNAM, AL10, ZER, ONE, TWO, TEN, NK, NKV, NSP, KVSP, MODE
1,      NCONS, NPAR, NE, NTC, NMBE0, MAXIT, IPRIN, JINP, JOUT, IFAIL, JACK
10 FORMAT (///48H REFINEMENT CONTINUES WITH WEIGHTS OBTAINED FROM,
1       32H THE CALCULATED TITRATION CURVES/)
WRITE (*,10)
WRITE (JOUT,10)
C THE DERIVATIVES (DE/DV) ARE OBTAINED FROM (DE/DC)*(DC/DV)
C WHERE V IS THE VOLUME OF TITRANT AND E AND C ARE THE POTENTIAL AND
C CONCENTRATION THAT APPEAR IN THE RELEVANT NERNST EQUATION
IPF=0
NPW=0
IW=0
IND=0
IF (IPRIN .EQ. 10) IND=1
DO 170 IC=1,NTC
NMBE=NMBEV (IC)
NEMF=NEMFV (IC)
INCR=NEMF*(NEMF+1)/2
NKC=NKCV (IC)
JVOL=JCOUL (IC)
V0=VINIT (IC)
IF (JVOL .EQ. 1) RECV0=ONE/V0
DO 20 I=1,NEMF
JCX (I)=IFC (IC, I)
20 RTJC (I)=RTJ (IC, I)
DO 40 K=1,NKC
I=MKC (IC, K)
DO 30 J=1,NMBE
L=JNMB (IC, J)
30 PQR (J, K)=DBLE (FLOAT (JQR (L, I)))
POTC (K)=AL10*DBLE (FLOAT (JPOT (I)))
40 BETAC (K)=BETA (I)
IF (JVOL .EQ. 1) GOTO 60
DO 50 J=1,NMBE
50 HNUM (J)=ADDC (IC, J)*V0-TOTMM (IC, J)
60 IPI=IPF+1
IPF=JTP (IC)
DO 160 IP=IPI, IPF
DO 70 J=1,NMBE
70 CX (J)=FREEC (IP, J)
CALL CCCS (BETAC, POTC, PQR, CX, HX, MAXK, MAXCX, NKC, NMBE, DLNAM, CI)
DO 90 IX=1,NMBE
DO 90 JX=IX, NMBE
W=ZER
IF (IX .EQ. JX) W=CX (IX)
DO 80 IK=1,NKC
80 W=W+PQR (IX, IK)*PQR (JX, IK)*CI (IK)
90 DM (IX, JX)=W
IF (JVOL .EQ. 1) GOTO 110
VOL=V0+TITRE (IP)
DO 100 J=1,NMBE
100 DX (J)=HNUM (J)/VOL/VOL
GOTO 130
110 DO 120 J=1,NMBE
120 DX (J)=-RECV0
130 CALL FACT (DM, DX, HX, IFAIL, 8, MAXCX, NMBE)
IF (IFAIL .EQ. 8) RETURN
DO 140 J=1,NEMF
IW=IW+1
JCXJ=JCX (J)
WS (IW)=RTJC (J)*DX (JCXJ)
140 CONTINUE
IF (NEMF .EQ. 1) GOTO 150
IWM1=IW
IWM2=IW-1
IW=IW+1
WS (IW)=WS (IWM1)*WS (IWM2)
WS (IWM1)=WS (IWM1)*WS (IWM1)
WS (IWM2)=WS (IWM2)*WS (IWM2)
GOTO 160
150 WS (IW)=WS (IW)*WS (IW)
160 CONTINUE
NPWF=IW
CALL WEIGHT (NPW, NPWF, IC, NEMF, INCR, WS, SIGMAV, SIGMAE, MODE, RELAC,
1       MAXWS, MAXTC, MAXEL, IPI, IND, JOUT)
NPW=NPWF
170 CONTINUE

```



```

RETURN
END

SUBROUTINE WCURV (NPC, IPP, NEP, NPW, NPWF, INCR, NEMF, TITRE, EMF, WS,
1      SIGMAV, SIGMAE, IC, MODE, RELAC, JOUT, MAXWS, MAXEMF,
2      MAXTP, MAXPC, MAXTC, MAXEL)
DOUBLE PRECISION X(401), Y(401), Y2(401), TITRE(MAXTP)
1,      EMF(MAXEMF), WS(MAXWS), SIGMAV(MAXTC), SIGMAE(MAXTC, MAXEL)
2,      ONE, RELAC
DATA ONE/1.D+00/
C THE DERIVATIVES OF THE TITRATION CURVE ARE OBTAINED BY PASSING THE
C EXPERIMENTAL DATA THROUGH A FIRST DERIVATIVE FILTER (SEE SUBROUTINE
C CUBIC FOR MORE DETAILS)
IND=0
IPI=IPP+1
IF (MODE .EQ. 1 .OR. MODE .EQ. 3) GOTO 60
IF (NEMF .EQ. 1) GOTO 20
DO 10 I=1, NPC
JW=NPW+I*INCR
WS(JW)=ONE
10 CONTINUE
20 DO 50 JE=1, NEMF
JP=0
NEPJ=NEP-NEMF+JE
NPWJ=NPW-INCR+JE
DO 30 I=1, NPC
JP=IPP+I
IE=NEPJ+I*NEMF
X(I)=TITRE(JP)
30 Y(I)=EMF(IE)
CALL CUBIC(X, Y, Y2, NPC, MAXPC, JOUT)
DO 40 I=1, NPC
JW=NPWJ+INCR*I
WS(JW)=Y2(I)*Y2(I)
IF (NEMF .EQ. 1) GOTO 40
IW=NPW+I*INCR
WS(IW)=WS(IW)*Y2(I)
40 CONTINUE
50 CONTINUE
60 CALL WEIGHT (NPW, NPWF, IC, NEMF, INCR, WS, SIGMAV, SIGMAE, MODE, RELAC,
1      MAXWS, MAXTC, MAXEL, IPI, IND, JOUT)
RETURN
END

SUBROUTINE WEIGHT (NPW, NPWF, IC, NEMF, INCR, WS, SIGMAV, SIGMAE, MODE,
1      RELAC, MAXWS, MAXTC, MAXEL, IPI, IND, JOUT)
DOUBLE PRECISION WS(MAXWS), SIGMAE(MAXTC, MAXEL), SIGMAV(MAXTC)
1,      SIGE(2), RELAC, ZER, ONE, TWO, SIGV, DET, TG2A, SR, S2, C2, SC
2,      D1, D2, W, W1, W2, W3
DATA ZER, ONE, TWO/0.D+00, 1.D+00, 2.D+00/
10 FORMAT (I5, 3F8.2)
C THE MATRIX OF WEIGHTS IS THE INVERSE OF THE VARIANCE-COVARIANCE
C MATRIX WHOSE DIAGONAL ELEMENTS ARE GIVEN BY
C (SIGMAE**2 + ((DE/DV)*SIGMAV)**2)
C IN THE THE TWO ELECTRODE CASE THERE IS AN OFF-DIAGONAL ELEMENT
C GIVEN BY ((DE1/DV)*(DE2/DV)*SIGMAV*SIGMAV)
IP=IPI
NPWI=NPW+I
IF (MODE .EQ. 1 ) GOTO 110
SIGV=SIGMAV(IC)*SIGMAV(IC)
DO 20 I=1, NEMF
20 SIGE(I)=SIGMAE(IC, I)*SIGMAE(IC, I)
IF (NEMF .EQ. 2) GOTO 50
DO 40 I=NPWI, NPWF
WS(I)=ONE/(WS(I)*SIGV+SIGE(1))
IF (IND .EQ. 0) GOTO 30
WRITE (*, 10) IP, WS(I)
WRITE (JOUT, 10) IP, WS(I)
IP=IP+1
30 WS(I)=DSQRT(WS(I))
40 CONTINUE
GOTO 140
50 IK=0
DO 70 I=NPWI, NPWF
IK=IK+1
WS(I)=WS(I)*SIGV
IF (IK .EQ. 3) GOTO 60
WS(I)=WS(I)+SIGE(IK)

```

```

      GOTO 70
60  IK=0
70  CONTINUE
      DO 100 I=NPWI,NPWF,INCR
      IP1=I+1
      IP2=I+2
      DET=WS(I)*WS(IP1)-WS(IP2)*WS(IP2)
      W=WS(I)
      WS(I)=WS(IP1)/DET
      WS(IP1)=W/DET
      WS(IP2)=-WS(IP2)/DET
      W=WS(I)-WS(IP1)
      IF (DABS(W/WS(I)) .LT. RELAC) GOTO 80
      TG2A=TWO*WS(IP2)/W
      SR=ONE/DSQRT(ONE+TG2A*TG2A)
      S2=(ONE+SR)/TWO
      C2=(ONE-SR)/TWO
      SC=-TG2A*SR/TWO
      GOTO 90
80  S2=ONE/TWO
      C2=S2
      SC=-S2
90  D1=WS(I)*C2+WS(IP1)*S2+TWO*WS(IP2)*SC
      D2=WS(I)*S2+WS(IP1)*C2-TWO*WS(IP2)*SC
      D1=DSQRT(D1)
      D2=DSQRT(D2)
      WS(I)=-D1*C2+D2*S2
      WS(IP1)=D1*S2+D2*C2
      WS(IP2)=(D1-D2)*SC
      IF (IND .EQ. 0) GOTO 100
      W=WS(IP2)
      W1=WS(I)
      W3=WS(IP1)
      W2=W*(W1+W3)
      W=W*W
      W1=W+W1*W1
      W3=W+W3*W3
      WRITE (*,10) IP,W1,W2,W3
      WRITE (JOUT,10) IP,W1,W2,W3
      IP=IP+1
100 CONTINUE
      GOTO 140
110 DO 120 I=NPWI,NPWF
120 WS(I)=ONE
      IF (NEMF .EQ. 1) GOTO 140
      NPW3=NPW+3
      DO 130 I=NPW3,NPWF,INCR
130 WS(I)=ZER
140 RETURN
      END

```

ศูนย์วิทยทรัพยากร
จุฬาลงกรณ์มหาวิทยาลัย

ประวัติและผลงานของผู้ทำวิจัย

ชื่อ	วิทยา เรืองพรวิสุทธิ์
Name	Vithaya Ruangpornvisuti
Sex	Male
Date of Birth	October 23, 1957
Marital Status	Marry
Home	58/55 Soi Khemanont, Piboonsongkram Road, Nonthaburee, 11000 Thailand. Tel. (662)-525-2227, (662)-526-5892
Office	Department of Chemistry, Faculty of Science, Chulalongkorn University, Bangkok 10330 Thailand : Tel. (662)-218-5227
Education	
1976-1980	B.Sc. in Chemistry Department of Chemistry, Faculty of Science, Chiangmai University, Chiangmai, Thailand.
1981-1983 Acetic Acid in Water)	M.Sc. in Physical Chemistry (A Study of Hydrogen- Bonded Species of Department of Chemistry, Faculty of Science, Chulalongkorn University, Bangkok, 10330, Thailand.
1985-1987	Dr.rer.nat. (Computational Chemistry) Institute of Inorganic and Analytical Chemistry, Faculty of Science, Universitat Innsbruck, Innsbruck, Austria.
1994	Post-Doctorat Training (Complexation of Supramolecular) Laboratoire de Chimie-Physique, Universite Louis Pasteur, Strasbourg, France.
Work Experience	
1982-1983	Lecturer, Department of Chemistry, Faculty of Education and Industry, KMIT (Thonburee), Thonburee, Thailand.
1983	Production Supervisor, Crown Paint Factory Co.,Ltd., Thiwanont Road, Nonthaburee, Thailand.
1984	Permanent Lecturer, Department of chemistry, Faculty of Science, Chulalongkorn University, 10330, Bangkok, Thailand.
1984	Committee of Educational Science, Faculty of Science, Chulalongkorn University, Bangkok, 10330, Thailand.
1984	Committee of Computer Centre, Faculty of Science, Chulalongkorn University, Bangkok, 10330, Thailand.
1989	Coordinator of Division of Physical Chemistry, Department of Chemistry, Faculty of Science, Chulalongkorn University, Bangkok, 10330, Thailand.
1989	Assistant Professor, Department of Chemistry, Faculty of Science, Chulalongkorn University, Bangkok, 10330, Thailand.
1991-1992	Analytical Laboratory Supervisor, TEMAC Ltd., Kawasaki Building, fourth Floor, Rama IX Road, Bangkok, 10300, Thailand.
1992	Associate Professor, Department of Chemistry, Faculty of Science, Chulalongkorn University, Bangkok, 10330, Thailand.
1994-1995	Vice Chairman, Department of Chemistry, Faculty of Science, Chulalongkorn University, Bangkok, 10330, Thailand.

Publications :

1. Ruangpomvisuti,V.W.; Probst,M.M.; Rode,B.M. "On the Additivity of Intermolecular Potential Function in Ion/Neutral Molecule Interactions", *Inter. J. Mass Spect. and Ion Proc.*, 1986, 71, 283.
2. Rode,M.B. ; Ruangpomvisuti,V.W.; Hannongbua,S. "The Role of Solvation for the Macrocyclic Effect", *J.Sci.Soc. Thailand*, 1987, 13, 47.
3. Ruangpomvisuti,V.W.; Probst,M.M; Rode,B.M. "MoteCarlo Study on the Hydration of a Macrocyclic Magnesium Complex", *Inorg.Chim.Acta*, 1987,134, 297.
4. Ruangpomvisuti,V.W.; Probst,M.M.; Rode,B.M. "The Interaction of Magnesium Cyclen Complex with Water", *Z.Naturforsch.*, 1987, 42a, 871.
5. Ruangpomvisuti,V.W.; Probst,M.M.; Rode,B.M. "Magnesium and Lithium Complexation by 1,4,7,10-Tetraazacyclododecane, *Inorg. Chim. Acta*, 1988, 21, 144.
6. Dhabanandana,S; Ruangpomvisuti,V.W. "A Study of Hydrogen-Bonded Species of Acetic Acid in Water", *J.Sci.Soc.Thailand*, 1988, 14, 141.
7. Ruangpomvisuti,V.W. "Quantum Chemical Investigation of Hydrogen-Bonded Species of Acetic Acid", *J. Sci. Soc. Thailand*, 1988, 14, 147.
8. Ruangpomvisuti,V.W.; Probst,M.M.; Rode,B.M. "A Monte Carlo study on a Magnesium Cyclen Complex, *Z.Naturforsch.*, 1988, 43a, 797.
9. Ruangpomvisuti,V.W. "Non-Iteration Least-Squares Treatment of an Analytical Pair Potential Function for Computer Simulation", *J.Sci.Res.Chula.Univ.*,1988,13(2),111.
10. Ruangpomvisuti,V.W.; Sangsoontorn,T. "Interaction Potential between Beryllium(II) Ion and Ammonia Derived from Ab-Initio Calculations, *J.Sci.Soc.Thailand*, 1990,16,43.
11. Ruangpomvisuti,V. "Basicity of N-Acetyl-l-Histidine and Stability of Its Complexes with Divalent Metal Ions, *Bull.Sing.N.I.Chem.*, 1990, 18, 131.
12. Ruangpomvisuti,V.; Watcharachanchai,B.; Aengmaitrepirom,W. "A Study of Deprotonation and Protonation Equilibria of N-Acetyl-l-Glycine, N-Acetyl-l-Proline and N-Acetyl-l-Lysine", *J. Sci.Res.Chula.Univ.*, 1991, 16, 121.
13. Ruangpomvisuti,V. " Determination of Acidity and Basicity Constants of Various N-Acetyl-Peptide Compounds", *J.Sci.Soc.Thailand*, 1991, 17, 141.
14. Ruangpomvisuti,V. " Investigation on Protonation of N-Acetyl-l-Alanine by Quantum Chemical Calculations", *J.Sci.Soc.Thailand*, 1991, 17, 151.
15. Ruangpomvisuti, V.; Magee R.S.; Amaud-Nue, F. "A Potentiometric Study of Complexation between Zinc(II) Ion and Diza Crown-p-tert-Butyl Calix[4]arene in Methanol", *J.Sci.Res.Chula.Univ.*, 1993 , 18, 89.
16. Ruangpomvisuti, V; Phinittanont,M.; Suppakam,N. "Determination of Equilibrium Constants of Hydrogen-Bonded Species of Formic Acid in Water by Proton Magnetic Resonance Spectroscopic Method", Submitted for publication.
17. Ruangpomvisuti, V; Thipyapong, K. "Investigation of the Complex Formation of Copper(II) ion with S-Benzoyl-MercaptoAcetylGlycylGlycylGlycine in Aqueous Solution", Submitted for publication.

Thai Articles :

1. ผศ.ดร.วิทยา เรืองพรวิสุทธิ์ และ รศ.สุชาดา จาติกวณิช "โปรแกรมระบบข้อมูลเพื่อสิ่งแวดล้อมทางน้ำและน้ำเสีย" *คอมพิวเตอร์วิวิ*, 2535, **92**, 236.
2. รศ.ดร.วิทยา เรืองพรวิสุทธิ์, รศ.ดร.พิรพรรณ พันธมนาวิน และ ชिरยุทธ วิไลวัลย์ "โปรแกรมวิเคราะห์สารประกอบอินทรีย์" *ซอฟต์แวร์คอมพิวเตอร์วิวิ*, 2536, **34**, 169.
3. รศ.ดร.วิทยา เรืองพรวิสุทธิ์, "ทิศทางการใช้คอมพิวเตอร์กับวิชาเคมี" *คอมพิวเตอร์วิวิ*, 2536, **112**, 225.

Books :

1. วิทยา เรืองพรวิสุทธิ์ " คะตะไลซิสแบบเฮเทอโรจีเนียส-หลักทฤษฎีและการประยุกต์ " โรงพิมพ์จุฬาลงกรณ์มหาวิทยาลัย (2534).
2. ดร.วิทยา เรืองพรวิสุทธิ์ " เรียน DOS อย่างง่ายสำหรับผู้เริ่มต้น " บริษัท ซีเอ็ดยูเคชั่น จำกัด (2535,2536,2537,2538).
3. ดร.วิทยา เรืองพรวิสุทธิ์ " คู่มือโปรแกรมภาษา C สำหรับผู้เริ่มต้น " บริษัท ซีเอ็ดยูเคชั่น จำกัด (2536,2537,2538).
4. ดร.วิทยา เรืองพรวิสุทธิ์ " การแก้ไขปัญหาคอมพิวเตอร์ในระบบ DOS " บริษัท ซีเอ็ดยูเคชั่น จำกัด (2538).
5. ดร.วิทยา เรืองพรวิสุทธิ์ " คู่มือการเข้าสู่อินเทอร์เน็ตสำหรับผู้เริ่มต้น " บริษัท ซีเอ็ดยูเคชั่น จำกัด (2538,2539).
6. ดร.วิทยา เรืองพรวิสุทธิ์ " คอมพิวเตอร์ระบบ UNIX / DOS " บริษัท ซีเอ็ดยูเคชั่น จำกัด (2539).
7. ดร.วิทยา เรืองพรวิสุทธิ์ " อินเทอร์เน็ตเล็กชิคอน " บริษัท ซีเอ็ดยูเคชั่น จำกัด (2539).

Other research works :

1. Thipyapong, K. and Ruangpomvisuti,V. "The Influence of Copper(II) Ion on the Complex of Technetium-99m-MAG₃" 1992, Master's Thesis, Faculty of Science, Chulalongkorn University, 10330.
2. Ruangpomvisuti,V.; Botman, M. and Rau-arun, M., "The Catalytic Oxidation of CO and NO using First Order Cr₂O₃, Fe₂O₃, Co₃O₄ and Mn₂O₃ as Catalysts" 1994, Master's Thesis, Faculty of Science, Chulalongkorn University, 10330.
3. Sirichai, S., Wongyai, S. and Ruangpomvisuti,V. "Influence of Solvent Strength on the Chromatographic Behavior of Certain Phenolic Compounds on Reversed Phase High Performance Liquid Chromatography" 1995, Master's Thesis, Faculty of Science, Chulalongkorn University, 10330.
4. Silpadej, S., Wongyai, S. and Ruangpomvisuti,V. "Effect of Solvent Strength on the Chromatographic Behavior of Certain Organic Acids on a Multimodal Stationary" 1995, Master's Thesis, Faculty of Science, Chulalongkorn University, 10330.

จุฬาลงกรณ์มหาวิทยาลัย